

6. თარიღი. ქ. თარიღი

ფინანსურის ელექტრომატიკური

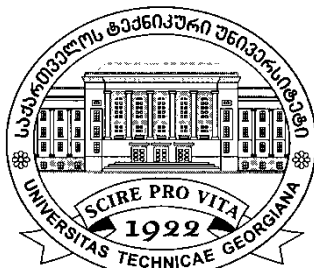


“ტექნიკური უნივერსიტეტი”

საქართველოს ტექნიკური უნივერსიტეტი

ნ. წერეთელი, ქ. წერეთელი

ვეროშენადნობების
ელექტრომატალურგია



რეგისტრირებულია სტუ-ს
სარედაქციო-საგამომცემლო
საბჭოს მიერ

თბილისი
2009

განხილულია ფეროშენადნობების მიღების ფიზიკო-ქიმიური საფუძვლები. ნაჩვენებია ელემენტის ჟანგბადთან სწრაფვის თერმოდინამიკა და რეაქციის წონასწორობასთან დაკავშირებული საკითხები. მოცემულია ფეროშენადნობთა წარმოებაში გამოყენებული აღმდგენლების (C, Si, Al) დახასიათება და გამოსადნობი ელექტრომეტრულურების დუმელების კლასიფიკაცია. ამასთან, განხილულია საკაზმე მასალების მომზადების მეთოდები და მანგანუმიანი, სილიციუმიანი და ქრომიანი ფეროშენადნობების გამოდნობის ტექნოლოგია.

დამხმარე სახელმძღვანელო დიდ სამსახურს გაუწევს უმაღლესი სასწავლებლის სტუდენტებს შავი ლითონების მეტალურგიის სპეციალობით და ფეროშენადნობების წარმოებაში დასაქმებულ ინჟინერ-ტექნიკურ პერსონალს.

რეცენზენტი სრული პროფესორი ზ. სიმონგულაშვილი

ეძღვნება ჩვენი პედაგოგისა და გამოჩენილი მეცნიერის,
პროფესორ სერგო (სეირან) მაზმიშვილის ნათელ წსოვას

© საგამომცემლო სახლი „ტექნიკური უნივერსიტეტი”, 2009

ISBN 978-9941-14-346-5

<http://www.gtu.ge/publishinghouse/>



კვლები უფლება დაცულია. ამ წიგნის არც ერთი ნაწილი (იქნება ეს ტექსტი, ფოტო, ილუსტრაცია თუ სხვ.) არანაირი ფორმით და საშუალებით (იქნება ეს ელექტრონული თუ მექანიკური), არ შეიძლება გამოყენებულ იქნას გამომცემლის წერილობითი ნებართვის გარეშე. სააგენტოთ უფლებების დარღვევა ისჯება კანონით.

შინაარსი

შესავალი	6
1. საკაზმე მასალების მომზადება დნობისათვის	11
2. კონცენტრატების დანაჭროვნების ტექნოლოგია	16
3. ნახშირბადალმდგენელის თავისებურებანი	21
4. ოქსიდების აღდგენა სილიციუმით	26
4.1 სილიციუმით აღდგენის თავისებურებანი	27
5. ოქსიდების ალუმინით აღდგენა	29
5.1 ალუმინით აღდგენის თავისებურებანი	29
6. ფლუსი	31
7. ფეროშენადნობების გამოსადნობი ელექტროლუმელების დახასიათება	32
7.1 ელექტრომეტალურგიული ლუმელების პლასიფიკაცია	32
7.2 ფეროშენადნობების ლუმელების კონსტრუქცია	34
7.3 ფეროშენადნობების ლუმელების ამონაგი	35
7.4 ელექტროდი	36
7.5 ფეროშენადნობების ლუმელის ელექტრომოწყობილობა და სამუშაო სივრცის ზომები	41
7.6 ძალოვანი ტრანსფორმატორი	44
7.7 მოკლე ქსელი	48
7.8 ელექტროდების, ელექტროდების გაშლისა და ლუმელის აბაზანის დიამეტრი	51
8. ფეროშენადნობების მიღების ფიზიკო-ქიმიური საფუძვლები	55
8.1 ელემენტის აღდგენის შესაძლებლობის განსაზღვრა მისი ოქსიდიდან	58

8.2 რეაქციის წონასწორობა, შექცევადი და შეუქცევადი რეაქციები -----	62
8.3 რეაქციის წონასწორობის მუდმივას განსაზღვრა ---	63
8.4 ლე-შატელიეს პრინციპის გამოყენება მეტალურგიული პროცესის ანალიზისას -----	69
8.5 რეაქციის გამოსავალი და მისი ზრდის მეთოდები -	75
9. მანგანუმიანი შენადნობების წარმოება -----	79
9.1 მანგანუმის წარმოება მსოფლიოში -----	79
9.2 მანგანუმის წარმოება საქართველოში -----	84
9.3 ნახშირბადიანი ფერომანგანუმის გამოდნობის ტექნოლოგია -----	90
9.4 ფეროსილიკომანგანუმის (სილიკომანგანუმის) გამოდნობის ტექნოლოგია -----	103
9.5 ლითონური მანგანუმის მიღების ტექნოლოგია ელექტრომეტალურგიული მეთოდით -----	119
9.5.1 გადასამუშავებელი სილიკომანგანუმის გამოდნობა	123
9.5.2 ლითონური მანგანუმის გამოდნობა -----	125
9.6 საშუალო და მცირე ნახშირბადიანი ფერომანგანუმის გამოდნობა -----	127
10. სილიციუმისა და ფეროსილიციუმის მიღების ტექნოლოგია -----	132
10.1 ნახშირბადით სილიციუმის აღდგენის პროცესის თეორიული საფუძვლები -----	138
10.2 ფერომანგანუმის გამოსადნობი ელექტროდუმელის ელექტრული მახასიათებლები -----	140
10.3 ფეროსილიციუმის გამოდნობისა და ჩამოსხმის ტექნოლოგია -----	142

10.4 კრისტალური სილიციუმის გამოდნობის	
ტექნილოგია	147
10.5 სილიციუმიანი კარბიდის წარმოების ტექნილოგია	150
11. ქრომიანი შენადნობების ელექტრომეტრურგია	154
11.1 ქრომის მაღნები და მინერალები	155
11.2 მაღალნახშირბადიანი ფეროქრომის მიღების	
ტექნილოგია	156
11.3 ფეროსილიკოქრომი	162
11.4 მცირენახშირბადიანი ფეროქრომის მიღების	
ტექნილოგია	165
11.5 საშუალონახშირბადიანი ფეროქრომის მიღება	
ჟანგბად-კონვერტორული და სილიკოთერმული	
მეთოდით	172
11.6 ლითონური ქრომისა და ფეროქრომის მიღება	
ალუმინოთემული მეთოდით	176
11.6.1 ფეროქრომის მიღების ალუმინოთემული	
ტექნილოგია	178
11.7 აზოტირებული ფეროქრომის მიღების	
ტექნილოგია	179
11.7.1 აზოტირებული ფეროქრომის მიღება მყარ	
მდგომარეობაში	181
11.7.2 ფეროქრომის აზოტირება ოხიერ	
მდგომარეობაში	182
11.8 გადასამუშავებელი ფეროქრომის მიღების	
ტექნილოგია	183
ძირითადი ლიტერატურა	188

შესავალი

ფეროშენადნობები არის რკინის შენადნობი სხვადა-სხვა ელემენტებთან. მას ფოლადის წარმოების მარილსა და წიწაკას უწოდებენ. არც ერთი ტონა ფოლადი არ დნება ფეროშენადნობების დანამატის გარეშე, რადგან განუანგვისა და ლეგირების მიზნით, თხიერ ფოლად-სადნობ აბაზანაში მისი დამატება აუმჯობესებს ფოლა-დის ფიზიკო-მექანიკურ თვისებებს. გარდა ფოლადის წარმოებისა ზოგიერთი სახის ფეროშენადნობები გამოიყენება აგრეთვე ფერად მეტალურგიასა და ქიმიურ წარმოებაში. ფეროშენადნობების ხარჯი ერთ ტონა ფოლადზე 7-9 კგ შეადგენს.

ფეროშენადნობებს მიეკუთვნება ორმაგი (ფეროსილი-ციუმი, ფერომანგანუმი, ფეროვოლფრამი და სხვა) და სამმაგი (ფეროსილიკომანგანუმი, ფეროსილიკოქრომი და სხვა) შენადნობებიც, აგრეთვე ისეთი მცირებულებები შენადნობები, როგორიცაა კრისტალური სილიციუმი ($Fe<1,5\%$), ლითონური მანგანუმი ($Fe<3\%$), ლითონური ქრომი, სილიკოპალციუმი, სილიკოალუმინი და სხვა.

სილიციუმი, ქრომი და მანგანუმი ფეროშენადნობების ძირითადი კომპონენტებია, რადგანაც მათი რაოდენობა რკინისთან ერთად განსაზღვრავს ფეროშენადნობების მიღების სირთულეს, საკაზმე მასალებისა და ელ-ენერგიის ხარჯს ტონა პროდუქტზე და მიღებული შენადნობების ხარისხს და დანიშნულებას.

ამა თუ იმ შენადნობების (რომელიც სხვადასხვა რაოდენობით შეიცავს წამყვან ელემენტს) მიღების

ტექნიკურ-ეკონომიკური მაჩვენებლების სრულყოფილი შეფასების მიზნით, შემოღებულია ბაზური წონის მცნება.

მაგალითად, სტანდარტის მიხედვით $\Phi C45$ -ში სილიციუმის შემცველობა 41-47% ინტერვალში მერყეობს. ბაზურ ტონად მიჩნეულია ის ტონა, რომელშიც სილიციუმის შემცველობა 45% იქნება. სილიციუმის ბაზურ ტონაში სილიციუმისა და მანგანუმის პროცენტული შემცველობათა ჯამი 82-ს შეადგენს. ნახშირბადიანი ფერომანგანუმის ბაზური წონა 75% Mn -ის რაოდენობას ითვალისწინებს, ხოლო მანგანუმის კონცენტრატების ბაზური წონა კი 48% მანგანუმს.

ნატურალური წონიდან ბაზურ წონაზე გადაანგარიშება შემდეგი გამოსახულებიდან ხდება:

$$Q_{\text{აზ.}} = \frac{Q_{\text{ნატ.}} * A\%}{45\%} \quad (\text{ფეროსილიციუმისთვის})$$

$$Q_{\text{აზ.}} = \frac{Q_{\text{ნატ.}} * A\%}{82\%} \quad (\text{სილიკომანგანუმისთვის})$$

$$Q_{\text{აზ.}} = \frac{Q_{\text{ნატ.}} * A\%}{48\%} \quad (\text{მანგანუმის კონცენტრატისთვის})$$

$$Q_{\text{აზ.}} = \frac{Q_{\text{ნატ.}} * A\%}{75\%} \quad (\text{ნახშ. ფერომანგანუმისთვის})$$

სადაც, A -შენადნში სილიციუმის ფაქტიური შემცველობაა %-ში (ფეროსილიციუმში), სილიკომანგანუმისთვის A მანგანუმისა და სილიციუმის პროცენტული შემცველობის ჯამია, ხოლო მანგანუმის კონცენტრატისა და ფერომანგანუმისთბის კი A მასალებში მანგანუმის შემცველობაა.

Q₆₄₈₅- ნატურალური წონაა.

ანალოგიურად გადაითვლება ნედლეული მასალებისა და ელ. ენერგიის ხარჯი და სხვა.

ფეროშენადნობების მიღების რამდენიმე გზა არსებობს:

➤ ელექტროთერმული (ნახშირბადაღდგენითი და სილიკოთერმული) მეთოდი. გამოდნობა ხდება რკალურ მადანთერმულ ღუმელში ელექტროენერგიის საშუალებით გამოყოფილი სითბოს ხარჯზე.

➤ ლითონთერმული მეთოდი. გამოდნობა ხდება კერიაში გარედან სითბოს მიწოდების ხარჯზე. პროცესი-სათვის საჭირო სითბო ეგზოთერმული რეაქციებით გამოიყოფა.

➤ ელექტროლიტური მეთოდი. ელემენტების აღდგენა ხდება გოგირდმჟავას ხსნარში გადასული შესაბამისი ოქსიდებიდან (Mn,Gr).

➤ გამოდნობა ბრძმედის ღუმელში. აღნიშნული მეთოდით შესაძლებელია ნახშირბადიანი ფერომანგანუ-მისა და დარიბი ფეროსილიკომანგანუმის გამოდნობა (9-14% Si).

➤ ჟანგბადკონვერტორული მეთოდი, რომელიც თხევადი ლითონის რაფინაციის პროცესს ემყარება (ვაკუმში ან მის გარეშე).

➤ გამოდნობა პლაზმურ ღუმელებში.

ფეროშენადნობების ძირითად რაოდენობას ელ. ღუმელებში ელექტროთერმული მეთოდით დებულობენ.

აღმდგენელის ნაირსახეობის მიხედვით ელექტრო-
თერმული და ლითონთერმული მეთოდები შეიძლება
იყოს:

➤ ნახშირბადალდგენითი, როდესაც აღმდგენელად
გამოყენებულია ნახშირბადი (კოქსწვრილა, ანტრაციტი
და ა.შ.). ეს ყველაზე იაფი აღმდგენელია.

➤ სილიკონერმული, სადაც აღმდგენელად
გამოყენებულია სილიციუმი (სილიკომანგანუმი,
სილიკორმი, ფეროსილიციუმი). ეს აღმდგენელი
გაცილებით ძვირია კოქსწვრილასთან შედარებით, თუმცა
უნახშირბადო ფეროშენადნობების მიღების საშუალებას
იძლევა.

➤ ალუმინოთერმული, აღმდგენელად გამოყენებულია
ალუმინი, რომელიც მართალია ყველაზე ძვირია, მაგრამ
ძნელად აღსადგენი ოქსიდების აღდგენასა და
უნახშირბადო შენადნობების მიღებას უზრუნველყოფს.

იმის და მიხედვით გამოდნობისას გამოყენებულია თუ
არა ფლუსი (კირი, კირქვა, დოლომიტი, კვარციტი და
ა.შ.), ფეროშენადნობების მიღების პროცესი იყოფა
ფლუსიანად და უფლუსოდ.

ფეროშენადნობების გამოდნობისას ყოველთვის
წარმოიქმნება წიდა, თუ წიდის რაოდენობა იმდენად
მცირეა, რომ ლითონის გამოშვებისას საჭირო არ ხდება
სპეციალური ჭურჭლის (ციცხვი, წიდამზიდი) გამოყენება,
პროცესს პირობითად უწიდოს უწოდებენ
(ფეროსილიციუმის გამოდნობა), წინააღმდეგ შემთხვევაში
პროცესი წიდიანია.

და ბოლოს, ფეროშენადნობების გამოდნობის პროცესი შეიძლება იქთს უწყვეტი და პერიოდული (წყვეტილი). უწყვეტი პროცესის შემთხვევაში ჩართულ ღუმელს განუწყვეტლივ აწვდიან კაზმს, ხოლო შენადნობს პერიოდულად უშვებენ (გრაფიკის შესაბამისად).

წყვეტილი პროცესისას ღუმელში ერთ ან რანდენიმე ულუფად ყრიან კაზმს, გადნობისა და აღდგენითი პროცესების დამთავრების შემდეგ ღუმელს გამორთავენ და ახდენენ ლითონისა და წილის გამოშვებას. დაცარიელებულ ღუმელში თავიდან ჩატვირთავენ კაზმს და გამოდნობის ციკლს კვლავ იმეორებენ.

1. საკაზმე მასალების მომზადება დოკუმენტის

ლუმელის წარმადობასა და მისი ტექნიკურ-ეკონომიკური მაჩვენებლების ზრდის ეფექტიანობას კაზმის მომზადების ხარისხი განსაზღვრვს.

ბევრი სამუშაოებია ჩატარებული იმის დასადგენად, ლუმელის ნორმალური მუშაობისათვის თუ რა ზომის საკაზმე მასალები უნდა იქნეს გამოყენებული. კერძოდ დადგენილია, რომ **ФС45**-ის გამოდნობისას კვარციტის ზომა 25-60 მმ-ის ფარგლებში უნდა იცვლებოდეს, ხოლო **ФС** 75-ის გამოდნობის შემთხვევაში კი 40-100 მმ დიაპაზონში მერყეობდეს. კოქსტვრილას ფრაქცია 5-20 მმ-ს (<25 მმ) უნდა შეადგენდეს.

აღმდგენელის ზომის შერჩევისას გასათვალისწინებელია ის გარემოებაც, რომ მაღალ ტემპერატურაზე კაზმის ელ-წინაღობის ძირითადი მარეგულირებელი არის აღმდგენელი და რაც უფრო წვრილფრაქციულია იგი, მით უფრო მაღალია მისი ელ-წინაღობა. თუმცა უნდა აღინიშნოს ისიც, რომ წვრილფრაქციული აღმდგენელის ზომაზე მეტი რაოდენობით გამოყენება მკვეთრად აუარესებს კაზმის აირგანვლადობას და იწვევს საკაზმე მასალების შეცხობას.

ბუნებაში არსებული მადნები, როგორც წესი სასარგებლო მინერალებთან ერთად ფუჭე ქანსაც შეიცავს. მადანი მადნური და არამადნური მინერალების ის ბუნებრივი ერთობლივობაა, რომლიდანაც ამა თუ იმ ელემენტის ამოკრეფა ეკონომიკურად არის გამართლებული.

მოპოვების მიხედვით მადანი მომზადების სხვადასხვა სტადიას გადის:

- დამსხვრევა, დახარისხება (სიმსხოს მიხედვით);
- გამდიდრება;
- გაშუალედება;
- დანაჭროვნება.

ლია წესით მოპოვებისას მადნის ცალკეული ნაჭრების ზომა 1000-1200 მმ-ს აღწევს, ხოლო მიწისქვეშა მოპოვების შემთხვევაში კი 300-800 მმ-ს, ამიტომაც საჭირო ხდება მადნის დამსხვრევა და დაწვრილმარცვლოვნება. დამსხვრევას სპეციალურ სამტგრევებლაში ახორციელებენ, ხოლო დაფქვას (-1 მმ) წისქვილებში ახდენენ.

დამსხვრევა და დაფქვა შრომატევადი და ძვირადიდორებული პროცესია. მასზე მთელი გადასამუშავებელი ფაბრიკის მთლიანი ტექნოლოგიური ციკლის დირექტულების 35-70% ისარჯება. მადნის დამსხვრევა სტადიებად მიმდინარეობს. ყოველი სტადია დამსხვრევის ხარისხით ხასიათდება. დამსხვრევის ხარისხი დასამსხვრევი და დამსხვრეული მადნის ნაჭრების მაქსიმალური დიამეტრების შეფარდებით განისაზღვრება. მდიდარი მადნების გამოყენების შემთხვევაში დამსხვრეული მადანი, შეიძლება უშუალოდ მიეწოდოს სადნობ აგრეგატს, ხოლო დარიბი მადნების გამოყენებისას, დამსხვრეული მადანი დუმელში ჩატვირთვამდე გამდიდრების ტექნოლოგიურ ციკლს გადის.

მოპოვებული მადანი არამარტო გრანულომეტრიული შედგენილობითაა ზოგჯერ მეტალურგიული წარმოებისთვის მიუღებელი, არამედ ქიმიური შემცველობითაც, ამიტომ საჭირო ხდება სასარგებლო ელემენტის რაოდენობის გაზრდა, ე.ი. მადნის გამდიდრება.

მადნის გამდიდრება არის სასარგებლო წიაღისეულში მადნური ნაწილისა და ფუჭე ქანის განცალკევების პროცესი. გამდიდრების შედეგად მიიღება სასარგებლო ელემენტით მდიდარი ნაწილი, რომელსაც კონცენტრატი ჰქვია და ლარიბი ნაწილი, რომელსაც კუდს უწოდებენ. კონცენტრატში სასარგებლო ელემენტის შემცველობა მაღალია ვიდრე მადანში, კუდში კი პირიქით.

მადნის გამდიდრების რამდენიმე მეთოდი არსებობს. ყველაზე მეტად გამდიდრების მექანიკური მეთოდებია გავრცელებული (გრავიტაცია, მაგნიტური სეპარაცია და ფლოტაცია).

გრავიტაციული გამდიდრებისას მინერალების გაყოფა სიმკვრივის მიხედვით ხდება. ამ მეთოდს მაშინ იყენებენ, როდესაც სასარგებლო მინერალები მძიმე ან მსუბუქია ფუჭე ქანთან შედარებით. გრავიტაციულ გამდიდრებას მშრალ (ჰაერი) ან სველ გარემოში ახდენენ. სველი გრავიტაცია, როგორც წესი დალგებით ხორციელდება და წყლის გარდა მძიმე სითხეებიც (სუსპენზია) შეიძლება იქნეს გამოყენებული. გამდიდრების ეს მეთოდი ძლიერ ეფექტურია მანგანუმისა და რკინის მადნების გამდიდრების შემთხვევაში.

მაგნიტურ სეპარაციას მაშინ იყენებენ, როცა მინერალებს სხვადასხვა მაგნიტური თვისება გააჩნია. ეს

მეთოდი მაგნეტიზური მაღნებისა და მანგანუმის კარბონატული მაღნების გასამდიდრებლად გამოიყენება.

ფლოტაციური მეთოდი ემყარება ამა თუ იმ სითხის მიერ მადანში არსებული სასურველი მინერალებისა და ფუჭე ქანის ზედაპირის დასველების სხვადასხვა უნარს. ეს მეთოდი გამოიყენება წვრილფრაქციული (1-0 მმ) მასალების გასამდიდრებლად.

გამდიდრების ტექნოლოგიის ეფექტიანობაზე შეიძლება ვიმსჯელოთ მიღებული კონცენტრატის რაოდენობით (გამოსავალით), მასში წანყვანი ელემენტის შემცველობითა და კონცენტრატში ამ ელემენტის ამოკრეფას:

β

$$\xi = \frac{\gamma}{\alpha} - \text{სადაც } \xi - \text{ელემენტის ამოკრეფაა, \%}$$

α

γ - კონცენტრატის გამოსავალი, %

β - ელემენტის შემცველობა კონცენტრატში, %

α - ელემენტის შემცველობა მადანში, %.

თავის მხრივ კონცენტრატის გამოსავალი შემდეგი გამოსახულებიდან იანგარიშება:

α - θ

$$\gamma = \frac{\alpha - \theta}{\beta - \theta} \cdot 100$$

სადაც θ -ელემენტის შემცველობაა კუდში, %

მაგალითად, ოუ მადანში მანგანუმის შემცველობა
არის 20% (α), კონცენტრატში-50% (β) და კუდში 10%
(θ), მაშინ კონცენტრატის გამოსავალი იქნება

$$\gamma = \frac{\alpha - \theta}{\beta - \theta} \cdot 100 = \frac{20 - 10}{50 - 10} \cdot 100 = 25\%,$$

ხოლო მანგანუმის ამოკრეფა კონცენტრატში კი

$$\xi = \gamma \cdot \frac{\beta}{\alpha} = 25 \cdot \frac{50}{20} = 62,5\%$$

მანგანუმის დანაკარგი კუდში შეადგენს:

$$100 - 62,5 = 37,5\%$$

2. პოლიტიკურადისების დანაშროვნების ფესტივალი

როგორც ავღნიშნეთ გამდიდრების ტექნოლოგია მაღნების წინასწარ დამსხვრევას ითვალისწინებს. რაც უფრო დაწეირილმარცვლოვანებულია მადანი, მით უფრო გაიოლებულია მაღნური მინერალებისა და ფუჭე ქანის ერთმანეთისაგან განცალკევების პროცესი. კაზმის აირგანვლადობის გაუმჯობესების მიზნით ღუმელში გამოყენებამდე ზოგჯერ საჭირო ხდება კონცენტრანტების დანაჭროვნება (გამსხვილება).

დანაჭროვნება არის წვრილფრაქციული მასალის (მადანი, კონცენტრატი, მტკერი) ნატეხოვან მასალად გარდაქმნის პროცესი. დანაჭროვნების სამი მეთოდი არსებობს: აგლომერაცია, დაგუნდავება და დაბრიკეტება.

აბლომერაცია დანაჭროვნების ისეთი მეთოდია, რომელიც სითბოს სარჯზე წვრილფრაქციული მასალების შეცხობას ითვალისწინებს. შეცხობის პროცესი სპეციალურ სააგლომერაციო ლენტაზე ხორციელდება და საჭირო სითბო სააგლომერაციო კაზმში შერეული სათბობის წვის შედეგად გამოიყოფა (ზოგ შემთხვევაში სითბო გარედანაც მიეწოდება). აგლომერაცია მასალის დანაჭროვნების ყველაზე ფართოდ გავრცელებული და მაღალეფექტური მეთოდია. იგი 10-0 მმ ფრაქციული შედგენილობის მქონე მასალების გასამსხვილებლად გამოიყენება. როგორც პრაქტიკა აჩვენებს სილიკომანგანუმისა და ფერომანგანუმის კაზმში აგლომერატის გამოყენება (მანგანუმის კონცენტრატით მიღებული) ღუმელის ნორმალურ მუშაობას,

აირგანგლადობის გაუმჯობესებასა და ელექტროდების ღრმად ჩაჯდომას უზრუნველყოფს. მიუხედავად ამისა, აგლომერაციის პროცესში წარმოქმნილი სილიკატური ნაერთები მანგანუმის აღდგენას გარკვეულ წილად მაინც აფერხებს. აგლომერაციის პროცესი ძირითადად ხორციელდება ცეცხლრიგის ცხაურაზე კაზმის ფენებს შორის ჰაერის გაწოვით. ცხაურაზე 30-35 მმ სიმაღლეზე ჯერ ტვირთავენ საკუთარ ნაბრუნს (ფრაქცია 10-25 მმ), შემდეგ აყრიან კაზმს (250-350 მმ). ცეცხლრიგების ქვეშ 7-10 კაპა წნევით ახდენენ ჰაერის გაწოვას. პროცესის დასაწყებად სპეციალური ასანთები მოწყობილობით 1200-1300°C ტემპერატურაზე ახურებენ ზედა ფენას, რის შედეგადაც ხდება სათბობის აალება. გაწოვის შედეგად წვის ზონა 10-40 მმ/წთ სიჩქარით ზემოდან ქვემოთ გადაინაცვლებს და საგებამდე მიღწევისას შეცხობის პროცესი მთავრდება. როგორც წესი აგლომერაციის პროცესი 10-20 წუთს გრძელდება. წესი ზონაში ტემპერატურა 1500°C-ს აღწევს. წვის პროდუქტები თავის სითბოს კაზმის ქვედა ფენებს გადასცემს და 60-150°C ტემპერატურაზე გახურებული ტოვებს სამუშაო სივრცეს.

სათბობის წვის რეაქციას შემდეგი სახე აქვს:



აგლომერაცია ძალზედ ევექტურია კაზმში კარბონატული მდგენელების გამოყენების შემთხვევაში, რადგანაც დანაჭროვნებასთან ერთად მათი დისოციაციაც ხდება.

თანამედროვე სააგლომერაციო მანქანამ დღე-დამეში შეიძლება აწარმოოს 1500-10000გ აგლომერატი.

დაბუნდავება. ლრმა გამდიდრების ტექნოლოგია მაღნების დაფქვას ითვალისწინებს, რის შედეგადაც მიიღება წვრილდისპერსული მასალა (1-0 მმ), რომლის დანაჭროვნებასაც დაბუნდავებით ახდენენ.

გუნდების წარმოების პროცესი ორი სტადიისგან შედგება: ჯერ დებულობენ ნედლ გუნდებს, რომელთაც გამტკიცების მიზნით ჯერ $300-600^{\circ}\text{C}$ ტემპერატურაზე გამოაშრობენ, შემდეგ კი $1200-1350^{\circ}\text{C}$ -ზე გამოწვავენ. შემდეგ დაბუნდავების მიზნით დასაგუნდავებელ მასალას 0,3-1,5% შემკვრელსა (წვრილდისპერსული თიხა) და 8-10% წყალს უმატებენ.

გრანულატორის წრიული მოძრაობის შედეგად წყალთან და შემკვრელთან არეული მასალა თანდათანობით იკვრება გუნდებად და 10-20 მმ დიამეტრის მიღწვის შემდეგ მიეწოდება კონვეირული ტიპის გამოსაწვავ მანქანას (ადრე გამოწვას შახტურ და მბრუნავ ღუმელებში ახდენენ), სადაც სველი გუნდები გადის გამოშრობის, გახურებისა და გამოწვის სტადიას.

გამოშრობის ზონაში ტემპერატურა $250-400^{\circ}\text{C}$ -ს შეადგენს (გამოწვის ზონიდან წარმოქმნილი აირების ხარჯზე), გამოწვის ზონაში კი $1200-1350^{\circ}\text{C}$ -ს აღწევს (აირადი ან თხევადი სათბობის წვის შედეგად). გუნდების გაციებას ჰაერის შებერვით ახდენენ (ცეცხლრიცების ცხაურის მეშვეობით). მიღებული გუნდები, რომელთა დიამეტრის ზომა 10 მმ-ს აღემატება (გაცხრილვის შემდეგ) მიეწოდება მომხმარებელს, ხოლო 10-0 მმ

დიამეტრის მქონე კი თავიდან გადის დაგუნდავების ციკლს.

აგლომერაციისაგან განსხვავებით დაგუნდავების პროცესი შეცხობამდე არ უნდა მივიდეს, თუ არ იქნება შენარჩუნებული გამოწვის ტემპერატურის ზედა ზღვარი ($1320-1350^{\circ}\text{C}$) გუნდები გადნება და ერთმანეთს შეედუდება. ამასთან, არასაკმარის ტემპერატურულ ინტერვალში გამოწვაც ($1200-1250^{\circ}\text{C}$ -ზე დაბლა) დაუშვებელია, რადგანაც საგრძნობლად მცირდება გუნდების სიმტკიცე.

სასურველი სიმტკიცისაა გუნდა, როდესაც იგი ცივ მდგომარეობაში $1,5-2,5$ კნ/გუნდაზე დაწესებას უძლებს.

კონვეირული ტიპის მანქანით შესაძლებელია დღუდამეში $2500-9000$ ტ გუნდა იქნეს მიღებული.

დაგუნდავება დანაჭროვნების ეფექტური მეთოდია, რადგანაც ფეროშრნადნობების გამოდნობის პრაქტიკაში აჩვენა, რომ კაზმის გუნდების არსებობა აუმჯობესებს აირგანვლადობას და მაღნების დრმა გამდიდრების ფართო გამოყენების საშუალებას იძლევა.

დაბრიკეტება. ამ მეთოდისადმი ინტერესი დაბრიკეტების ეფექტურობაში მდგომარეობს. კერძოდ, აგლომერაციისაგან განსხვავებით დაბრიკეტებისას არ ხდება კაზმის მდგენელების განშრევება და ბრიკეტის ნებისმიერი მოცულობა პროცესისათვის საჭირო ყველა კომპონენტს შეიცავს. ბრიკეტები კარგი აირგანვლადობითა და მაღალი კუთრი წინაღობით გამოირჩევა, რაც ელექტროდების დრმად ჩაჯდომას განაპირობებს.

ბრიკეტების დამზადებას სპეციალურ საბრიკეტე დანადგარზე ახდენენ. შემკვრელად გამოიყენება ცელულოზას წარმოების ნარჩენი, ე.წ. სულფიტ-სპირტული ბარდა, თხევადი მინა, ან სულფიტ-სპირტული ბარდისა და ბიტუმის ნარევი.

დასაბრიკეტებელი მასალა ამრევის გავლის შემდეგ (ამრევში მიეწოდება შემკვრელი), მიეწოდება დასაბრიკეტებელ წნებს, რომელიც ორი ურთიერთსაწინააღმდეგოდ მოძრავი ლილვისგან შედგება. მიღებულ ბრიკეტებს ოვალური ფორმა აქვს და საკმარისი სიმტკიცით გამოირჩევა. ზესტაფონის ფეროშენადნობთა ქარხანაში არსებული ბრიკეტ დანადგარი საკმაო სიმძლავრისაა და მისი წლიური წარმადობა 300000ტ ბრიკეტს შეადგენს. სპეციალური გამოკვლევებით დადგენილია, რომ სილიკომანგანუმის გამოდნობისას მანგანუმის ამოკრეფა ბრიკეტებით დნობისას 10%-ით უფრო მაღალია აგლომერაციით დნობასთან შედარებით, ხოლო ელექტროგის ხარჯი 400 კვტ.სთ-ით შემცირებული, რაც ბრიკეტის გამოყენების ეფექტიანობაზე მიუთითებს.

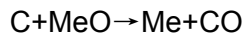
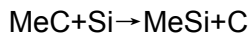
3. ნახშირბაზალმდგენელის თავისებაზრდანი

ნახშირბადი, როგორც აღმდგენელი მთელი რიგი თავისებურებებით გამოირჩევა, კერძოდ:

- ნახშირბადით ოქსიდის აღდგენის პროცესში ყოველთვის არის აირადი ნივთიერება $\text{MeO}+\text{C}=\text{Me}+\text{CO} \uparrow$, რომელიც ტოვებს რა სარეაქციო ზონას, მუდმივად არღვევს წონასწორობას, რის გამოც წამყვანი ელემენტის ამოკრეფა თითქმის მაქსიმუმს აღწევს (95-98%) (პირდაპირი რეაქციის განვითარების გამო).
- ტემპერატურის მომატებით ნახშირბადის ჟანგბადთან სწრაფვა იზრდება, რაც ძნელად აღსაღენი ოქსიდების აღდგენას უზრუნველყოფს.
- ნახშირბადით ოქსიდების აღდგენისას ხდება კარბიდების წარმოქმნა (SiC , Mn_7C_3 , Fe_3C და სხვა), რის გამოც შენადნობები დიდი რაოდენობით შეიცავს ნახშირბადს. ამიტომაც უნახშირბადო და დაბალნახშირბადიანი შენადნობების მისაღებად ნახშირბადის აღმდგენელად გამოყენება დაუშვებელია.
- ნახშირბადით ოქსიდების აღდგენის პროცესი ენდოთერმულია, რის გამოც ფეროშენადნობების მიღება ელექტროენერგიის მნიშვნელოვან სარჯითანაა დაპატირებული.

➤ აღმდგენელთა შორის ნახშირბადი ყველაზე იაფი აღმდგენელია.

ნახშირბადის აღმდგენელად გამოყენება ყოველთვისაა შესაძლებელი, როცა შენაღნში ნახშირბადის ან სილიციუმის მაღალი შემცველობაა დასაშვები. უკანასკნელ შემთხვევაში სილიციუმის მიერ კარბიდების დაშლის შემდეგ გამონთავისუფლებული ნახშირბადი ოქსიდის აღდგენაზე იხარჯება:



ზოგიერთი ნახშირბადშემცვლელი აღმდგენელის დახასიათება მოცემულია ცხრილში:

მაჩვენებელი	მეტალურგიული გოქნები	გოქსწვრილა გოქნა	ნახევრად გოქნა	ნაფთობის გოქნა	ნის ნახშირი
ნაცარი, A	10,65	10,80	27,0	0,71	1,45
აქროლადი, V	1,44	1,20	5,60	8,08	14,54
სინესტე, W	0,44	1,30	1,90	0,80	2,10
გოგირდი, S	0,89	1,34	0,91	4,23	0,04
მყარი ნახშირბადი ხველ.წინადობა. 10^{-2} მმ.გ	87,02 0,0121	86,66 0,0148	71,49 75,0	86,98 $3 \cdot 10^6$	83,97 $2 \cdot 10^6$
ნაცრის ქიმიური შედგენილობა, %					
SiO_2	35,4	36,5	75,7	46,3	1,90
Al_2O_3	23,3	22,2	11,2	24,3	3,40
$\text{CaO}+\text{MgO}$	3,8	3,9	3,0	10,5	41,1
Fe_2O_3	33,8	33,7	7,6	14,2	0,85
P_2O_5	0,24	0,24	0,03	0,75	5,12
$\text{K}_2\text{O}+\text{Na}_2\text{O}$	2,13	2,64	1,18	0,13	0,29

ფეროშენადნობების წარმოების მანძილზე ნახევრადნობების მრავალი სახეობა იქნა გამოყენებული: კოქსწვრილა, დაყალიბებული კოქსი, ნახევრადკოქსი, ხის ნახშირი, ანტრაციტი, ქვანახშირი, ნავთობის კოქსი, ტორფის კოქსი, ნახერხი და სხვა. დავახსასიათოდ ზოგიერთი მათგანი:

კოქსწვრილა ქვანახშირიდან მეტალურგიული კოქსის წარმოების პროცესში მიიღება, როგორც თანამდევი პროდუქტი. იგი ყველაზე იაფი აღმდგენელია და გამოიყენება ყველა პროცესში, სადაც მაღალნაცრიანი

აღმდგენელის გამოყენება შეზღუდული არ არის (ნაცრიანობა 10-12% აქვს). მის მახასიათებლებს უშუალოდ განსაზღვრავს ქვანახშირის ხარისხი და დაკოქსების რეჟიმი. წვრილფრაქციულობის გამო (-5 მმ) გამოყენების წინ საჭირო ხდება მისი გაცხრილვა.

ნახევრადპოშის მიიღება არაკოქსვადი გრძელალიანი ნახშირებიდან. იგი კოქსწვრილაზე უკეთესი აღმდგენელია. დაბალ ტემპერატურაზე მისი ელ.წინაღობა თითქმის ორჯერ აღემატება სხვა კოქსის ანალოგიურ მაჩვენებელს, თუმცა გახურების შემდეგ ნახევრადკოქსის ელ.წინაღობა ეცემა და კოქსწვრილას წინაღობას უტოლდება. კოქსწვრილასთან შედარებით იგი მაღალი ქიმიური აქტიურობით გამოირჩევა.

დაყალიბებული პოში წარმოადგენს წინასწარ ფორმამიცემულ კოქს. იგი სხვა კოქსისა და კოქსწვრილასგან განსხვავებით მცირე რაოდენობით შეიცავს წვრილ ფრაქციას და მაღალი ელექტროწინაღობით გამოირჩევა.

ტორცის პოში ტორცის $400-600^{\circ}\text{C}$ ტემპერატურამდე გახურებით მიიღება. იგი როგორც კარგი აღმდგენელი მაღალი ხეედრითი ელ.წინაღობითა და ქიმიური აქტიურობით გამოირჩევა. მიუხედავად ამისა, ფეროშენადნობთა წარმოებაში მისი მასიური გამოყენება ჯერ არ დაუწყიათ.

ანტრაციტი მკვრივი დაბალნაცრიანი ნახშირბადშემცველი მასალაა. მაღალ ტემპერატურაზე იმსხვრევა. აქვს დაბალი ელექტროწინაღობა და ქიმიური

აქტიურობა. ფეროშენადნობთა წარმოებაში მას სხვა აღმდგენელთან ერთად იყენებუ. აღმდგენელთან ერთად იყენებუ.

შპანაზშირს მართალია სხვა აღმდგენელებთან შედარებით მაღალი ელ.წინაღობა ახასიათებს, მაგრამ აქტოლადებისა და ფისისებრი ნივთიერების მაღალი შემცველობის გამო ფეროშენადნობთა წარმოებაში მასიური გამოყენება ვერ ჰპოვა.

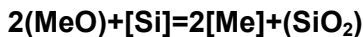
ხის ნახშირი ყველაზე უკეთესი აღმდგენელია. მას აქვს მაღალი ელ.წინაღობა, ფორიანობა და ქიმიური აქტიურობა. იგი მცირე რაოდენობით შეიცავს ნაცარს. სიძვირის გამო ხის ნახშირს ფეროშენადნობთა წარმოებაში იშვიათად იყენებენ (კრისტალური სილიციუმი, სილიკონური და 90% ფეროსილიციუმის მისაღებად).

ნაცოობის კოქსი ნავთობის გამოხდის შედეგად დარჩენილი ნარჩენების დაკოქსვით მიიღება. იგი მცირე რაოდენობით შეიცავს ნაცარს და აქტოლადებს. მაღალი ფორიანობითა და ქიმიური აქტიურობით გამოირჩევა, თუმცა სიძვირის გამო მხოლოდ მინარევებისაგან სუფთა შენადნობების მისაღებად სხვა აღმდგენელებთან ერთად გამოიყენება (კრისტალური სილიციუმის მისაღებად და სხვა)

ხის ნახმრსს ზოგიერთ ფეროშენადნობთა ქარხანაში დუმელის ელ.წინაღობისა და აირგანვლადობის გაზრდის მიზნით იყენებენ, თუმცა ამ მასალის გამოყენება წარმოებაში მეორეხარისხოვან ხასიათს ატარებს.

4. ოქსიდების აღდგენა სილიციუმით

სილიციუმით ოქსიდების აღდგენა შემდეგი რეაქციით მიმდინარეობს:



წონასწორობის მუდმივა

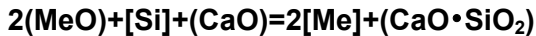
$$K = \frac{(\text{SiO}_2) \cdot [\text{Me}]^2}{(\text{MeO})^2 \cdot [\text{Si}]}$$

ჩარევის გარეშე აღნიშნული რეაქცია სწრაფად აღწევს წონასწორობას, რის გამოც სასურველი ელემენტის ამოკრეფა ძალიან მცირება. მართლაც მცირენასშირბადიანი ფეროქრომის უფლუსო მეოთხით გამოდნობისას ქრომის ამოკრეფა კაზმიდან მხოლოდ 55-60%-ს შეადგენს, ხოლო წიდაში Cr_2O_3 -ს რაოდენობა კი 35%-ს აღწევს. წონასწორობის გამოსახულებიდან

$$K = \frac{(\text{MeO})^2 [\text{Si}]}{[\text{Me}]^2 \cdot (\text{SiO}_2)}$$

ე.ო. ლითონის გამოსავლის გასაზრდელად SiO_2 -ის აქტიურობის შემცირებაა აუცილებელი, რასაც კაზმში

კირის (CaO) დამატებით ახდენენ. ჯამურ რეაქციას შემდეგი სახე აქვს:



წილაში CaO –ს არსებობა წამყვანი ელემენტის ამოკრეფის გაზრდას უზრუნველყოფს. მართლაც უნახშირბადო ფეროქრომის ფლუსიანი მეთოდით გამდიდრებისას, კაზმიდან ქრომის ამოკრეფა 83-85%-ს შეადგენს.

სილიციუმი, როგორც აღმდგენელი უმეტეს წილად შენადნობების სახით გამოიყენება (სილიკომანგანუმი, სილიკოქრომი, ფეროსილიციუმი).

სუფთა ფაზებში სილიკოთერმული პროცესი ეგზოთერმულია, თუმცა რეალურ პირობებში გამოყოფილი სითბოს რაოდენობის უკმარისობის გამო ელექტროდუმელებში გამოდნობა ელექტროგიის დამატებით სარჯს საჭიროებს.

4.1 სილიციუმით აღდგენის თავისებულებანი

სილიციუმით ოქსიდების აღდგენას შემდეგი თავისებურებები ახასიათებს:

- ჟანგბადისაკენ მაღალი სწრაფვის გამო, სილიციუმი სხვადასხვა ოქსიდების აღდგენის შესაძლებლობას იძლევა (MnO , Cr_2O_3 , MoO_3 და სხვა),

თუმცა ტემპერატურის მომატებით სილიციუმისა და ჟანგბადის ურთიერთსწრაფვა კლებულობს;

➤ შესაძლებელია უნახშირბადო ფეროშენადნობების მიღება;

➤ სილიკოთერმულ პროცესს თან ახლავს სილიციდების წარმოქმნა, რაც ზოგ შემთხვევაში არასასურველია ლითონში სილიციუმის მაღალი შემცველობის გამო;

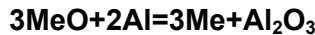
➤ ფლუსის გამოყენების აუცილებლობა წილის ფუძიანობისა და საკაზმე მასალების ხარჯის გაზრდის მიზეზი ხდება;

➤ სილიკოთერმული პროცესი საკმაო რაოდენობის ელექტროენერგიის ხარჯს მოითხოვს;

➤ სილიციუმი ძვირად ღირებული აღმდგენელია, რადგანაც მისი შენადნობების მიღება სხვა ელემენტებთან ცალკე ღუმელში გამოდნობას, დამატებით ელენერგიასა და მასალების ხარჯს მოითხოვს.

5. ოქსიდების ალუმინიტ აღდგენა

ოქსიდების აღდგენას ალუმინოთერმული პროცესით შემდეგი სახე აქვს:



$$K = \frac{(\text{Al}_2\text{O}_3)[\text{Me}]^3}{(\text{MeO})^3[\text{Al}]^2}; \quad [\text{Me}]^3 = \frac{K(\text{MeO})^3[\text{Al}]^2}{(\text{Al}_2\text{O}_3)}$$

სილიკოთერმული პროცესის მსგავსად, ლითონის მაქსიმალური ამოკრეფისთვის საჭირო ხდება მიღებული პროდუქტის (ამ შემთხვევაში Al_2O_3 -ს) აქტიურობის შემცირება, რასაც კირის გამოყენებით ახდენენ. ფლუსის გამოყენებისას ალუმინოთერმული რეაქცია შემდეგ სახეს მიიღებს:



როგორც წესი ალუმინოთერმულ პროცესს კერებში ატარებენ. გამოყენებული ალუმინი თხევადი ალუმინის განქრევითაა მიღებული (შეგუმშული ჰაერით ან ორთქლით) და მისი მარცვლების ზომა 3-0 მმ-ს შეადგენს.

5.1 ალუმინიტ აღდგენის თავისებურებანი

ალუმინი, როგორც აღმდგენებული შემდეგი თავისებურებით გამოირჩევა:

- მეტალურგიულ ტემპერატურებზე მას ჟანგბადთან უფრო მეტი სწრაფვა ახასიათებს, ვიდრე სილიციუმსა და ნახშირბადს;
- ჟანგბადთან დიდი მიდრექილების გამო, იგი ძნელად აღსადგენი ოქსიდების აღდგენის საშუალებას იძლევა;
- იმის გათვალისწინებით, რომ აღდგენის ერთ-ერთი პროცესი Al_2O_3 წიდაში რჩება და მისი აქტიურობის შესამცირებლად ფლუსს იყენებენ, იზრდება წიდის ჯერადობა.
- ალუმინი ყველაზე ძვირად ღირებული აღმდენებლია. 1 კგ მოლი ჟანგბადის შესაერთებლად საჭიროა 24 კგ ნახშირბადი, 28 კგ სილიციუმი და 36 კგ ალუმინი. გარდა ამისა 1 კგ მოლი ჟანგბადის შესაკავშირებლად საჭირო ალუმინის რაოდენობა ღირებულების თვალსაზრისითაც 19-ჯერ და 2,4-ჯერ უფრო ძვირია ნახშირბადისა და სილიციუმის საჭირო რაოდენობის ღირებულებასთან შედარებით; ამიტომაც ალუმინს მხოლოდ ძნელსდადსადგენი ოქსიდების აღსადგენად და უნახშირბადო შენადნობების მისაღებად იყენებენ.

6. ფლუსი

ფეროშენადნობთა კაზმში შემავალი არასასურველი ოქსიდებისა და რეაქციის პროდუქტების წილაში გადასაყვანად, ასევე წილის სიბლანტის შემცირებისა და თხიურდენადობის გაზრდის მიზნით, საჭირო ხდება ფლუსის გამოყენება. ფლუსი შეიძლება იყოს ფუძე, მჟავე და თიხამიწიანი. ფეროშენადნობთა წარმოებაში ისეთი შენადნობების მისაღებად, როგორიცაა ლითონური მანგანუმი, საშუალო-ნახშირბადიანი ფერომანგანუმი, მცირე-ნახშირბადიანი ფეროქრომი, ნახშირბადიანი ფეროქრომი, სილიკომანგანუმი და ა.შ., უმეტეს წილად ფუძე ფლუსს იყენებენ (კირი, კირქვა, დოლომიტი), ხოლო გადასამუშავებელი დაბალფოსფორიანი წილების გამოსაღნობად კი მჟავე ფლუსს (კაჟმიწაშემცველ).

საკაზმე მასალებში შემავალი ოქსიდების დნობის ტემპერატურა (SiO_2 - 1728°C , Al_2O_3 - 2040°C , CaO - 2570°C , MgO - 2800°C) გაცილებით მაღალია ფეროშენადნობთა დნობის ტემპერატურაზე, მიუხედავად ამისა, ამ ოქსიდების განსაზღვრული რაოდენობით შერევისას, წარმოიქმნება ადვილდნადი (1300°C დაბლა) და თხიურდენადი ნაერთები, რომლებიც გარკვეულწილად ხელს უწყობეს ღუმელში მიმდინარე პროცესებს.

7. ვეროშენადობების გამოსაღები ელექტრონუმებების დახასიათება

პროცესები, სადაც ელექტროენერგია თბურ ენერგიად გარდაიქმნება ელექტროორმულს უწოდებენ. ელექტრო-ორმული პროცესები შეიძლება განხორციელდეს ელექტროდუმელებსა და სხვა სახის მახურებელ აგრეგატებში, კერძოდ რკალურ, ინდუქციურ, ელექტრო-წინაღობისა და დიელექტრიკული ტიპის ღუმელებში. ამჟამად წარმატებით გამოიყენება ვაკუმურ-რკალური, ელექტრონული, პლაზმური, ლაზერული, ელექტრო-წიდური და ვაკუმურ-რკალური გადადნობებიც.

7.1 ელექტროგენეტალურგიული დუმებების პლასიზიკაცია

ლითონების გამოსაღნობად განკუთვნილი ელექტროდუმელები შემდეგ ჯგუფებად შეიძლება დაიყოს:

➤ რკალური ღუმელები, სადაც ელენერგია თბურ ენერგიად რკალის მეშვეობით გარდაიქმნება.

➤ წინაღობის ღუმელები, სადაც ელენერგიის თბურ ენერგიად გარდაქმნა ხდება კაზმში ან გამტარში დენის გატარებით (წინაღობის ღუმელის ტიპიური მაგალითია ლითონური ელექტროდების მქონე ელექტროწიდური გადადნობის ღუმელი, სადაც ელ.წინაღობის როლს ასრულებს გამდნარი წიდის აბაზანა).

- კომბინირებული ღუმელები, სადაც სითბო გამოიყოფა რკალითა და კაზმში დენის გატარებით.
 - ინდუქციური ღუმელები, სადაც ლითონური კაზმის გახურება ხდება ელექტრომაგნიტური ინდუქციური დენით.
 - ელექტრონულ-სხივური ღუმელი, სადაც ლითონის გახურება და დნობა ხდება მაღალი სიხშირის ელექტრონული კონით.
 - პლაზმური ღუმელები, სადაც ლითონის გახურება და დნობა ხდება პლაზმური სხივის საშუალებით.
- გახურების მეთოდის მიხედვით რკალური ღუმელი სამი ტიპის შეიძლება იყოს:
1. პირდაპირ გახურების, როდესაც ღუმელში ჩატვირთული მასალების გახურება ხდება თითოეულ ელექტროდესა და ლითონს შორის ანთებული რკალით. ასეთი ტიპის ღუმელები განკუთვნილია ფოლადისა და სხვადასხვა შენადნობების გამოსადნობად.
 2. არაპირდაპირი გახურების, როდესაც ღუმელში ჩატვირთული მასალა ხურდება ლითონისა და წილის თავზე ელექტროდებს შორის ანთებული რკალის გამოსხივებით. ასეთი ტიპის ღუმელებს იყენებენ შედარებით დაბალი დნობის ტემპერატურის მქონე ლითონების გამოსადნობად (ფერადი ლითონი, ჭედადი თუჯი და სხვა).
 3. კომბინირებული გახურების დახურული რკალით. ამ შემთხვევაში ღუმელში ჩატვირთული კაზმის გახურება ხდება ელექტროდებსა და კაზმის ფენის ქვეშ წარმოქმნილი რკალით და კაზმში გამავალი დენით.

ასეთი ტიპის ღუმელები ფართოდ გამოიყენება მაღანეურმული პროცესისათვის, კერძოდ კი ფეროშენადნობების წარმოებაში, სადაც ელემენტების აღსაღენად მაღალი ტემპერატურაა საჭირო.

7.2 ზეროშენადნობების ღუმელების პრინციპებია

დანიშნულების მიხედვით ფეროშენადნობების ღუმელები შეიძლება იყოს აღდგენითი და სარაფინაციო. აღმდგენით ღუმელებში კაზმში აღმდგენელად გამოიყენება ნახშირბადი. როგორც წესი გამოდნობის პროცესი არის უწყვეტი, ხოლო შენადნისა და წილის გამოშვების კი პერიოდული (ფეროსილიციუმი, სილიკონგალციუმი, კალციუმის კარბიდი, ნახშირბადიანი ფეროქრომი, ნახშირბადიანი ფერომანგანუმი, სილიკონქრომი, სილიკომანგანუმი). აღდგენითი ღუმელების ტრანსფორმატორის სიმძლავრე 7–75 მვტ-ს შეადგენს.

სარაფინაციო ღუმელებში აღმდგენელად გამოიყენებულია სილიციუმის ან ალუმინის შემცველი შენადნობები. კაზმის მთლიანი გადნობისა და რაფინაციის დამთავრების შემდეგ ღუმელიდან პერიოდულად ახდენენ ლითონისა და წილის გამოშვებას (მცირე და საშ.ნახშირბადიანი ფერომანგანუმი და ფეროქრომი, ფეროვოლფრამი, ფეროვანადიუმი და სხვა). როგორც წესი სარაფინაციო ღუმელებში სილიციუმისა და ალუმინის დაჟანგვით დამატებითი სითბო გამოიყოფა.

სარაფინაციო ღუმელის ტრანსფორმაცორის სიმძლავრე 3–6 მვტ-ს შეადგენს.

ფეროშენადნობების ღუმელები კონსტრუქციის მიხედვით შეიძლება იყოს: ღია, დახურული, უძრავი, დასახრელი (პორიზონტალური ღერძის მიმართ) და მბრუნავი (ვერტიკალური ღერძის გარშემო).

ფეროშენადნობების ღუმელების კონსტრუქციის ძირითადი ელემენტებია: გარცმი, თაღი, ელექტროდის დამჭერი, გადამტანი ცილინდრი, ელექტროდის გადასადგილებელი მექანიზმი, ელექტროდების გადაშვების სამუხრუჭე მოწყობილობა, წყლის გამაციებელი სისტემა, ჩამტვირთავი მოწყობილობა, გამწოვი და შემბერი ვინტილაცია, დარის მომსახურე მოწყობილობა, აბაზანის მაბრუნებელი მოწყობილობა.

7.3 ვეროშენადნობების ღუმელების ამონაბი

ღუმელის ამონაბის ნაირსახეობა გამოსადნობი შენადნობის ტიპზეა დამოკიდებული. ფეროშენადნობების ღუმელების შახტის ზედა სარტყელი უმეტეს წილად ამოგებულია შამოტის აგურით. კედლების ქვედა ნაწილი და ქვედი იმ ღუმელებისათვის, რომლებიც განკუთვნილია მცირენას შირბადიანი ფერომანგანუმის და ფეროქრომის გამოსადნობად, ამოგებულია მაგნეზიტის აგურით, ხოლო სილიციუმიანი შენადნობების (ფეროსილიციუმი, სილიკონმი, სილიკონმანგანუმი) გამოსადნობი ღუმელებისათვის კი ნახშირის ბლოკებით.

ახლად ამოგებული ღუმელი ექსპლუატაციაში გაშვებამდე საჭიროებს გამოშრობას, რაზეც მიახლოებით 15 მვტ.სთ ელექტროენერგია იხარჯება. მძლავრი მადანაღმდგენითი ღუმელებისათვის გახურების სანგრძლივობა 20-30 დღეს შეადგენს, ხოლო სარაფინაციო ღუმელებისათვის 10-15 დღეს. 23 მვა სიმძლავრის დახურული ღუმელის ახლად ამოგებულ ამონაგს 5-7 დღის განმავლობაში ჯერ აირით აშრობენ, შემდეგ დია მდგომარეობაში დენის საშუალებით (3 დღის განმავლობაში სიმძლავრის თანდათანობით მატებით) და მხოლოდ ამის შემდეგ ღუმელი გადაჰყავთ მუშაობის დახურულ რეჟიმზე.

7.4 ელემტოროდი

ელექტროდების დანიშნულებაა ელექტროენერგია მიაწოდოს ღუმელის სამუშაო სივრცეს. ნორმალური მუშაობისათვის ელექტროდებს უნდა გააჩნდეთ საკმარისი მექანიკური სიმტკიცე და ელგამტარობა, ხასიათდებოდეს თერმული მდგრადობით და მაღალ ტემპერატურაზე დაუანგგის წინააღმდეგობის გაწევის უნარით. ამ თვისებებით გამოირჩევა ნახშირბადშემცველი მასალით დამზადებული ელექტროდები.

ელექტრო ღუმელებში იყენებენ გრაფიტის, ნახშირისა და თვითცხობად ელექტროდებს (ცხრ.1) გრაფიტის ელექტროდები, როგორც წესი ფოლადისა და სხვადასხვა მარკის შენადნობების მისაღებად გამოიყენება. დიამეტრი ამ ელექტროდებისა 75-555 მმ ფარგლებში მერყეობს

(ГОСТ 4426-80), тუმცა სასურველი დენის სიმკვრივის უზრუნველსაყოფად, მაღალი სიმძლავრის რკალურ დუმელებში ზოგჯერ 610-710 მმ დიამეტრის მქონე გრაფიტის ელექტროდებსაც იყენებენ.

ცხრილი 1

ელექტროდების ძირითადი ფიზიკური თვისებები

განზომილება	ე ლ ე ქ ტ რ ო დ ი		
	გრაფიტის	ნახშირის	თვითვხობადი
ჭეშმარიტი სიმკვრივე, გ/სმ ³	2,2 – 2,23	1,9 – 2,05	1,8 – 1,9
მოჩვენებითი სიმკვრივე, გ/სმ ³	1,55 – 1,70	1,5 – 1,6	1,5 – 1,6
ფორიანობა, %	23 – 30	18 – 25	20 – 30
მექანიკური სიმტკიცე, X10 ⁵ კა:			
კუმშვანე	200 – 400	150 – 300	80 – 300
გაჭიმვაზე	70 – 200	30 – 70	20 – 40
ღუნვაზე	60 – 200	20 – 50	30 (გამომწვარი)
კუთრი ელ. წინაღობა, X10 ⁻⁶ ომი.მ	8 – 14	20 – 30	60 – 85
დასაშვები სიმკვრივე, ა/სმ ²	12 – 30	5 – 11	5 – 7,0
დაფანგბის ტემპერატურა, ° C	600 – 700	460 – 500	400 – 500

ნახშირის ელექტროდებს უმეტეს წილად
ნახშირბადიანი ფოლადებისა და კრისტალური
სილიციუმის გამოსაღწობ მცირე და საშუალო
ტევადობის მქონე რკალურ ლუმელებში იყენებენ.

ფეროშენადნობების წარმოებაში ძირითადად
სხვადასხვა დიამეტრისა და განზომილების მქონე
თვითცხობადი ელექტროდებია გამოყენებული, რომლებიც
საგრძნობლად იაფია გრაფიტისა და ნახშირის
ელექტროდებთან შედარებით. თვითცხობადი
ელექტროდები შედგება ლითონის ცილინდრული
გარცმისა და ელექტროდების დატეპნილი მასისაგან.
გარცმი მზადდება 0,6-3,0 მმ სისქის რკინის
ფურცლისაგან და იგი 1,2-1,8 მ სიგრძის ცალკეული
სექციისგან შედგება. სექციები ერთმანეთთანაა
შედუდებული.

გარცმი, გარდა იმისა რომ დენისა და სითბოს გამტა-
რობას უწყობს ხელს, ელექტროდებს დაჟანგვისაგანაც
იცავს.

ელექტროდების მასას, როგორც წესი დებულობენ
დამსხვრეული ანტრაციების, საჩამოსხმო კოქსისა და
შემკვრელისაგან (ქვანახშირის სქელფისი და ფისი).
თვითცხოვადი ელექტროდების მისაღები კაზმის
მიახლოებითი შედგენილობა არის შემდეგი:

კაზმის კომპონენტები	მარცვლის სიმსხო, მგ	კომპონენტების შედგენილობა, %		
		ელექტროდების დიამეტრი, მმ		
		≤ 500	≤ 750	>1100 <1100
თერმოანტრაციტი	10-60	—	—	35
	3,5-8	30	—	—
ან ანტრაციტი	0-10	—	60	30
	0,5-3	29	20	—
საჩამომსხო კოქსი	0-10	—	—	16
	—	21	20	19
სქელფისი*				

*გარბილების ტემპერატურა 38-40°C

კაზმი არევის შემდეგ (არევა ხდება ამრევში) მიეწოდება სპეციალურ მოედანს, საიდანაც ჩაიტვირთება ელექტროდების გარცმში. გახურებული მასა რბილდება და დატკეპნის გარეშეც მჭიდროდ ავსებს თვითცხობადი ელექტროდის გარცმს. საკონტაქტო ყბების ქვეშ მოხვედრილი ელექტროდის მასა 400°C-ს ტემპერატურაზეა გახურებული. ელექტროდის დამჭერის უბანზე მასის ტემპერატურა 850°C-მდე იზრდება და ყბების ქვეშ გამომწვარი ელექტროდი გამოდის. როდესაც დაწვის შედეგად ელექტროდი დაბლა იწევს, ლითონის გარცმზე აღუღებენ გარცმის ახალ სექციას და ავსებენ

ელექტროდის მასით. ელექტროდის გამოწვის რეჟიმმა საკონტაქტო ყბების ქვეშ სრულად უნდა უზრუნველყოს ელექტროდის მასის შეცხობა.

თვითცხობადი ელექტროდების ნორმალურ მუშაობას უზრუნველყოფს:

- ელექტროდის მასის რაციონალური შერჩევა;
- სწორი თანაფარდობა ძირითად და შემკვრელ ნივთიერებებს შორის;
- ელექტროდების ოპტიმალური სიჩქარით ჩაშვება;
- ელექტროდების ოპტიმალური ხვედრითი ხარჯი (კგ/1000 კვტ. სთ დახარჯულ ენერგიაზე);
- ნორმალური ტექნოლოგიური პროცესი, რაც უფრო დიდია ელექტროდების ხვედრითი ხარჯი, მით უფრო სწრაფად ტოვებს ელექტროდის მასა შეცხობის ზონას. დროის ამ მონაკვეთის საგრძნობი შემცირებით ელექტროდი ვერ ასწრებს ნორმალურ მდგომარეობამდე შეცხობას. ელექტროდების ხვედრითი ხარჯის შემცირებით ელექტროდების მასას დიდხანს მოუწევს ზონაში ყოფნა. მეტისმეტმა დაყოვნებამ შეიძლება უარყოფითად იმოქმედოს ელექტროდების დამჭერის სიმტკიცეზე.

ელექტროდების ჩაშვების სიჩქარეს განსაზღვრავენ ელექტროდის დიამეტრიდან გამომდინარე. სილიციუმიანი შენადნობების წარმოებისას ელექტროდის გადაშვებას ცვლაში 1-3 ჯერ ახდენენ, სხვა შენადნობების შემთხვევაში კი დღე-დამეში ერთხელ. ელექტროდის გადაშვების სიმაღლე 150-250 მმ-ს შეადგენს.

7.5 ვეროშენადნობების ღუმელის ელექტრომოწყობილობა და სამუშაო სივრცის ზომები

ფეროშენადნობების გამოსადნობ ღუმელს მისთვის დამახასიათებელი სპეციალური ოპტიმალური ელექტრული რეჟიმი გააჩნია. კერძოდ, სიმძლავრის, დენის ძალისა და ძაბვის სწორი შერჩევით შესაძლებელია ელექტროენერგიის ნორმალური დანახარჯებით მიღწეულ იქნეს სადნობი აგრეგატის მაქსიმალური წარმადობა.

ფეროშენადნობების ღუმელში დენის განაწილებას მასში მიმდინარე ტექნოლოგიური პროცესი განსაზღვრავს. უწიდო გამოდნობისას ხდება აირადი სარტყლის წარმოქმნა, რომელიც გავარვარებული კაზმის კედლებშია მოქცეული. სარტყელს ძირში თხევადი ლითონი აქვს, ხოლო თავზე ელექტროდი. ამიტომ, აირის სარტყელში დენის მიერ გამოყოფილი სიმძლავრე, ღუმელის სასარგებლო სიმძლავრის ძირითადი შემადგენელი ნაწილია. თბერი დანაკარგების შემცირების მიზნით დაუშვებელია კაზმის გახურება სარეაქციო ზონის მიღმა, ამიტომაც აუცილებელია გამოდნობის პროცესში ღუმელის საკერძე იუს ცივი.

უწიდო პროცესისთვის შედარებით მცირე ძაბვაა საჭირო, ვიდრე წილის ზედაპირზე ანთებული რკალის შემთხვევაში.

სასარგებლო ფაზური ძაბვა (უს.ფ.გ) შემდეგი
გამოსახულებიდან იანგარიშება

$$U_{k,j} = C \cdot P^n_j$$

სადაც P_k – სასარგებლო სიმძლავრეა, კვტ

C – პროპორციულობის კოეფიციენტია, რომელიც ფეროსილიციუმისათვის 3,4-ის ტოლია (როცა $n=0,33$), სილიკომანგანუმისათვის უდრის 6-ს, ნახშირბადიანი ფეროქრომისათვის 8-ს, ნახშირბადიანი ფერომანგანუმისათვის 5,5 და სილიკოპალციუმისათვის კი 6-ს (როცა $n=0,25$).

ელექტროპარამეტრები შემდეგნაირად შეიძლება განისაზღვროს

$$U_{k,j} = \frac{C \cdot S \cdot \sqrt{3}}{\cos \varphi \cdot Z_{je}}$$

$$P = J \cdot \sqrt{3} \cdot U_{k,j}$$

სადაც P – ღუმელის ნორმალური სიმძლავრეა, კვა;

J – ღენის ძალა, ა;

$U_{k,j}$ – ძაბვა ტრანფორმატორის გამომყვანებზე, ვ;

Z_{je} – ღუმელის მოწყობილობის მქ.კ.

$\cos \varphi$ – ღუმელის მოწყობილობის სიმძლავრის კოეფიციენტი.

ღუმელში სხვადასხვა თბური რეჟიმის მისაღწევად, იყენებენ მრავალსაფეხურიან ძაბვის ტრანსფორმატორს.

P_{სას.}

ელექტრული მ.ქ.კ. **Z_{ელ}=----- ,**

P_{აქტ.}

ხოლო ენერგეტიკული მ.ქ.კ.

Z_{ენ}=Z_{ელ}. Z_{ობ.} სადაც Z_{ობ.}- ღუმელის თბური მ.ქ.კ.-ა;

Z_{ელ}- ღუმელის ელექტრული მ.ქ.კ.

ფეროშენადნობების ღუმელის კონსტრუქციის ოპტიმალობასა და ტექნოლოგიის სრულყოფის დონეს ძირითადად განსაზღვრავს ერთ ტონა ლითონის მისაღებად დახარჯული ელექტროენერგიის რაოდენობა:

Q

W=--- ,

ξ

სადაც **Q**-ელენერგიის დახარჯული რა-ბაა დროის გარკვეულ პერიოდში, კვ (ან კვტ.სთ)

ξ -დროის ამ პერიოდში გამოდნობილი ლითონის რაოდენობა. ტ.

7.6 ძალოვანი ტრანზორმატორი

რკალური ფეროშენადნობების გამოსადნობი ღუმელის ძირითადი დანადგარია ტრანსფორმატორი, რომელიც მქენებავი დენის ძაბვას ათეული ათასი გოლტიდან 90-370 ვ-მდე ამცირებს.

ძალოვანი ტრანსფორმატორი, როგორც წესი, შედგება გულანას გარშემო განლაგებული რამდენიმე გრაგნილისაგან. ძაბვათა თანაფარდობა ტრანსფორმატორის გრაგნილებზე ხვიათა რიცხვის შეფარდების პროპორციულია. როგორც წესი ერთფაზიანი ტრანსფორმატორის პირველად გრაგნილს უფრო მეტი ხვიები აქვს, ვიდრე მეორად გრაგნილს.

შემავალი ძაბის შეფარდება მეორად ძაბვასთან დაუტვირთავი ტრანსფორმატორის შემთხვევაში, პროპორციულია პირველადი გრაგნილის ხვიების რიცხვის შეფარდებისა მეორადი გრაგნილის ხვიების რიცხვთან. დენის ძალები ამ გრაგნილებში უკუ დამოკიდებულებაში იმყოფება.

იმის გამო, რომ ტრანსფორმატორში შემავალი და გამავალი სიმძლავრეები თითქმის ერთნაირია, მისი მარგი ქმედების კოეფიციენტი (θ .ქ.ც) ძალიან მაღალია და 96-98%-ს აღწევს. ტრანსფორმატორის ძაბვას, დენის ძალასა და სიმძლავრეს შორის შემდეგი დამოკიდებულება არსებობს:

$$U_{მეორ.} = U_{პირ.}/n; \quad J_{მეორ.} = n \cdot J_{პირ.}; \quad P_{მეორ.} = (96-98\%) \cdot P_{პირ.}$$

სადაც Σ -ძაბვაა, გ
 J-დენის ძალა, ძ
 n-ხვიების რიცხვი პირველ გრაგნილში
 P-ტრანსფორმატორის სიმძლავრე, კვა

ძალური ტრანსფორმატორის სასურველი სიმძლავრე P ,
 კვა, შემდეგი ფორმულით იანგარიშება:

$$P = \frac{G_{\text{დღვ-ლამა}} \cdot W}{86,4 \cos\varphi \cdot K}$$

სადაც

$G_{\text{დღვ-ლამა}}$ - ღუმელის წარმადობაა, ტ/დღვ-დამეში;
 W - ელექტროენერგიის ხვედრითი ხარჯი, მჯ/ტ;
 $\cos\varphi$ - ღუმელის სიმძლავრის კოეფიციენტი, რომელიც
 დიდი სიმძლავრის ღუმელისათვის 0,85-0,87-ის ტოლია,
 ხოლო სარაფინაციო ღუმელისათვის კი 0,93-0,96-ს
 K - ღუმელის სიმძლავრის გამოყენების კოეფიციენტია,
 რომელიც უწყვეტი პროცესით მომუშავე მძლავრი
 ღუმელისათვის 0,97-0,98-ს შეადგენს, ხოლო პერიოდულად
 მომუშავე ღუმელებისათვის კი 0,75-0,90 დიაპაზონში
 იცვლება.

თუ ელ-ენერგიის ხარჯი (W) გამოსახულია კვტ.სთ/ტ,
 მაშინ ტრანსფორმატორის სიმძლავრის ფორმულა შემდეგ
 სახეს მიიღებს:

$$P = \frac{G_{\text{დღულამ}} \cdot W}{L}$$

24. $\cos\varphi$. K

ფეროშენადნობების მისაღებად იყენებენ სამფაზა ან ერთფაზიან სამ ტრანსფორმატორს. ტექნოლოგიური პროცესის თავისებულებიდან და ძალოვანი ტრანსფორმატორის დანიშნულებიდან გამომდინარე, განისაზღვრება მეორადი ძაბვის საფეხურების რაოდენობა.

ზოგიერთი ფეროშენადნობების გამოსადნობი ღუმელების ძირითადი მახასიათებლები მოცემულია მე-2 ცხრილში.

რკალური ფოლადსადნობი ღუმელებისაგან განსხვავებით, ფეროშენადნობების ღუმელებს შედარებით თანაბარი დატვირთვის განრიგი გააჩნია, ამიტომაც დროსელის გამოყენებას აღარ საჭიროებს.

ცხრილი 2

ფეროშენადნობების ღუმელების ძირითადი პარამეტრები

პარამეტრები	ღუმელის სახეობა*						
	PKO- 2,5	PKO- 3,5	PKO- 10,5	PKO- 16,5 PK3- 16,5	PK3- 24	PK3- 33	PK3- 48
სიმძლარე, კვა	2500	3500	10500	16500	24000	33000	48000
მეორადი ძაბვა, გ დენის მაქსიმალური ძალა ელექტროდზე, კა	178-89	371- 260	250- 100	210-132	245- 155	250- 130	238,5- 137,0
ელექტროდის დიამეტრი, მმ	13,0	13,0	38,4	59,0	71,0	87,0	111,8
ელექტროდის დიამეტრი, მმ	300- 450	300- 450	800	1200	1200	1500	2800 X 650
გაშლის დიამეტრი, მმ	1200- 1400	1200- 1400	**	2900	3400	4000	3300
ელექტროდის მაქსიმალური გადაადგილება, მმ	2350	2350	**	1200	1500	1600	1200
აბაზანის დიამეტრი, მმ	2700	2700	4000	6200/ 6700	7200	8700	20340 X 6000
აბაზანის სიღრმე, მმ	1200	1300	1700	2300	2600	3000	2850
გადაცვის დიამეტრი, მმ	4300	5000	6200	7800/ 8300	8900	10500	7800
აბაზანის ბრუნვის სიხშირე, სო ⁻¹ ***	5,4	5,4	1-2	1/33: 1/32	1/48: 1/194	1/60: 1/200	—
დახრის კუთხე, გრად.	30	30	30	—			

- * Р– მადანაღდგენითი ღუმელი, К–მრგვალი,
- П–სწორკუთხა, О– დია, 3–დახურული, ციფრები
მიუთითებს სიმძლავრეს, მვა;
- ** –არ არის დამუშავებული;
- *** –მრიცხველი უწიდო პროცესია, მნიშვნელი
წილიანი.

7.7 მოპლე ჟენდი

დენმიმუვან უბანს ტრანსფორმატორის მეორადი გრაგნილიდან ელექტროდების ჩათვლით მოკლე ქსელი ეწოდება. დიდი სიმძლავრის ფერომენადნობების ღუმელისათვის ელექტროენერგიის დანაკარგი მოკლე ქსელში მთლიანი დანაკრგების 35%-ს შეადგენს. ამ დანაკარგების 3-10% მოდის სალტესა და ყბებზე, ხოლო 4-12% ელექტროდებზე. იმის გამო, რომ მოკლე ქსელი ათი ათასობით ამპერ დენს ატარებს, გამტარების გარშემო წარმოიქმნება მძლავრი მაგნიტური ველი, რომელიც ფაზების არათანაბარ დატვირთვას იწვევს.

ამ უარყოფითი ეფექტის შესამცირებლად მოკლე ქსელს მასიური სალტებისგან კი არ ამზადებენ, არამედ ისეთი ბრტყელი სპილენძის სალტებისგან, რომელთაც სიგანის სისქესთან შეფარდების მაღალი მაჩვენებელი აქვს.

სალტის დასაშვები სისქის ზომა შემდეგი გამოსახულებიდან იანგარიშება:

$$\sqrt{p}$$

δ=503 •-----

μ •f

სადაც

δ – სალტის სისქეა, სმ

ρ – კუთრი ელტინალობა, ომი. მ

μ – ფარდობითი მაგნიტური შეღწევადობა

f – დენის სიხშირე, ჰერცი

ცვლადი დენის შემთხვევაში (სიხშირე 50 ჰერცი) წითელი სპილენძისგან დამზადებული სალტის სისქე არ აღემატება 13 მმ-ს, ხოლო ალუმინისგან დამზადებულის შემთხვევაში კი 17 მმ-ს.

აქტიური წინაღობისა და კონტაქტებში დანაკარგების შემცირების მიზნით, დენმიმყვან სალტეებს ადუდებენ. მოკლე ქსელის საერთო აქტიური წინაღობიდან გამომდინარე, შეიძლება განისაზღვროს ღუმელის სიმძლავრის დანაკარგი, კვტ:

$$P_{\text{დანაკ}} = 3J^2 R_{\theta, d} \cdot 10^{-3},$$

სადაც

P_{დანაკ} – სიმძლავრის დანაკარგია, კვტ;

J – დენის ძალა, ა;

R_{θ,d} – მოკლე ქსელის აქტიური წინაღობა, ომი.

სიმძლავრის დანაკარგი მოკლე ქსელში ($P_{დანაკ. ა.ქ.}$) განისაზღვრება ქსელის სასურველი სიმძლავრისა (P პირველად მხარეს) და ელექტროდზე (გაზმის დონეზე) არსებული სასარგებლო სიმძლავრეთა სხვაობით. მოკლე ქსელის ფაზის აქტიური წინაღობა ტოლია:

$$R_{\theta,j} = \frac{P_{დანაკ.} \cdot 10^{-3}}{3J^2}$$

ფეროშენადნობების ღუმელების ერთ-ერთი მნიშვნელოვანი მახასიათებელია მოკლე ქსელის რეაქტიული წინაღობა, რომელიც დამოკიდებელია თვითინდუქციასა და ღუმელის დენძიმუვანი ცალკეული უბნების ურთიერთ-შორისო ინდუქციაზე. მოკლე ქსელის რეაქტიული წინაღობა ამცირებს ღუმელის საერთო აქტიურ სიმძლავრეს ($\cos\varphi$ -ს დაბალი მნიშვნელობის გამო) სასარგებლო სიმძლავრესა და წარმადობას. $\cos\varphi$ შემდეგი გამოსახულებიდან იანგარიშება:

$$\cos\varphi = \frac{P_{აქტ.}}{J \cdot U_{საფ.} \cdot \sqrt{3}}$$

სადაც $P_{აქტ.} = A_{აქტ.} \cdot U_{საფ.}$ აქტიური სიმძლავრეა, $A_{აქტ.}$ — აქტიური ფაზის საფარის მაღვა, $U_{საფ.}$ — მოცემულ საფარის მაღვა, 3

$\cos\varphi$ -ს მნიშვნელობის გაზრდა შესაძლებელია სიმეტრიულად განლაგებული სამი ერთფაზიანი

ტრანსფორმატორის ღუმელთან მაქსიმალური
მიახლოებითა და მისი მეორადი გრაგნილების
ელექტროდებთან სამკუთხა შეერთებით განხორციელდეს.

7.8 ელექტროდების, ელექტროდების გაშლისა და ღუმელის აბაზანის დიამეტრი

ფეროშენადნობების ღუმელის ელექტროდის დიამეტრი
დენის დასაშვები სიმკვრივის (j) მიხედვით
განისაზღვრება . თვითცხობადი ელექტროდებისათვის
დენის დასაშვები სიმკვრივე $4-7 \text{ A/mm}^2$ ფარგლებში
მერყეობს. სამფაზა ღუმელისათვის, რომლის
ტრანსფორმატორის სიმძლავრე 13500 A , ხოლო
ნომინალური ხაზობრივი ძაბვა $j=176,5 \text{ A/mm}^2$,
ხაზობრივი დენის ძალა შემდეგი გამოსახულებიდან
განისაზღვრება:

$$P \cdot 1000 = 13500 \cdot 1000 \\ J_{\text{ნაზ.}} = \frac{P \cdot 1000}{\sqrt{3} \cdot U_{\text{ნაზ.}}} = \frac{13500 \cdot 1000}{1,73 \cdot 176,5} = 44300 \text{ A.}$$

როცა დენის სიმკვრივე $j=5 \text{ A/mm}^2$, ელექტროდის
დიამეტრი იქნება:

$$d_{\text{ელექ}} = \sqrt{4 \cdot J_{\text{ნაზ.}} / (\pi \cdot j)} = 106 \text{ mm} \approx 1100 \text{ მმ}$$

ცილინდრული ფორმის ღუმელისთვის, ელექტროდების განლაგებას ელექტროდების განშლის მიხედვით აფასებენ, ხოლო სწორკუთხა ღუმელების შემთხვაში კი ორ უახლოეს ელექტროდების ცენტრებს შორის მანძილით.

ცილინდრული ფორმის ღუმელებისათვის განშლის დიამეტრი მისი ელექტროდის დიამეტრთან შეფარდებით განისაზღვრება. აღნიშნული შეფარდება 2-3 ზღვრებში მერყეობს. შეფარდების მცირე მაჩვენებელი უფრო მძლავრი და ენერგოტენაზე და ღუმელებისათვის გამოიყენება.

ფეროშენადნობების ღუმელის აბაზანის დიამეტერს, ელექტროდების განშლის დიამეტრის მიხედვით ირჩევენ. როგორც წესი აბაზანის დიამეტრის შეფარდებას ელექტროდების განშლის დიამეტრთან ($d_{გაზ}$) 1,8-2,3-ის ტოლად მიიჩნევენ. ამ თანაფარდობაში ელექტროდებსა და აბაზანის ამონაგს შორის დასაშვები სიცარიელეცაა (a) ნაგულისხმები. ღუმელის აბაზანის დიამეტრი შემდეგი დამოკიდებულებიდან იანგარიშება:

a

$$d_{აბაზ.} = d_{გაზ} + d_{ელექ} (1+2K), \quad \text{სადაც } K = \frac{\text{—}}{d_{ელექ}}$$

13500 პვა სიმძლავრის ღუმელისათვის აბაზანის დიამეტრი ტოლია:

$$d_{აბაზ.} = 2,1 \cdot d_{გაზ} = 2,1 \cdot 2,75 = 5,8 \text{ მ}$$

აბაზანის სიღრმეს ელექტროდის დიამეტრთან
მიმართებაში ანგარიშობენ:

$$H_{აბაზ} = (2,2 \div 3,0) \cdot d_{ელექ}$$

220 კვ.ა/მ³ მოცულობითი სიმძლავრისა და 13500 კვა
სიმძლავრის დუმელის შემთხვევაში შახტას მოცულობა
ტოლი იქნება:

$$V_{შახტა} = 13500 / 220 = 61,4 \text{ მ}^3;$$

აბაზანის სიღრმე 30 (როცა ფართობი
 $S = \pi \cdot 5, 8^2 / 4 = 26, 4 \text{ მ}^2$)

$$H_{აბაზ} = \frac{V_{შახტა}}{S} = 61,4 / 26,4 = 2,3 \text{ მ.}$$

ცეცხლგამძლე ამონაგის სისქის გათვალისწინებით
(750 მმ), დუმელის გარცმის დიამეტრი იქნება:

$$5800 + 2 \cdot 750 = 7300 \text{ მმ}$$

ელექტროდების განშლისა და აბაზანის დიამეტრი და
სიღრმე, დახურულ დუმელებს უფრო მეტი აქვს ვიდრე
დია ტიპისას. 13500 კვა სიმძლავრის დახურული დუმელი
შემდეგი საორიენტაციო მაჩვენებლებით ხასიათდება:

$$d_{\text{განგ}}=3,5 \text{ მ}, \quad d_{\text{აბაზ}}=7,3 \text{ მ და} \quad H_{\text{აბაზ}}=3,5 \text{ მ.}$$

სარაფინაციო ფეროშენადნობების ღუმელის ანგარიშისას ფოლადის სადნობი რკალური ღუმელის პარამეტრებს შორის დამოკიდებულებას იყენებენ.

8. ფერომენალოგების მიღების ფიზიკური–ქიმიური საცდებლები

ელემენტების უმრავლესობა ბუნებაში ოქსიდებისა და სხვადასხვა მჟავას მარილების სახით გვხვდება. ასე მაგალითად:

მანგანუმი ბუნებაში გავრცელებულია შემდეგი მინერალების სახით: **MnO₂** (პიროლუზიტი), **Mn₂O₃** (ბრაუნიტი), **MnO₂Mn(OH)₂** (მანგანიტი), **Mn₂O₃.4H₂O** (ფსილომელანი), **Mn₃O₄** (ჰაუსმანიტი), **MnCaCO₃** (მანგანოკალციტი), **MnCO₃** (როდოქროზიტი), **MnOSiO₂** (როდონიტი) და სხვა.

რკინა ძირითადად შემდეგი მინერალებითაა წარმოდგენილი: **Fe₃O₄** (მაგნეტიტი), **Fe₂O₃** (ჰემატიტი), **Fe₂O₃.mH₂O** (ლიმონიტი), **FeCO₃** (სიდერიტი), **FeTiO₃** (ილმენიტი)

ძრომი გვხვდება მაგნოქრომიტის **(MgFe)O.Cr₂O₃**, ქრომპიკოტიტისა **(Mg,Fe).O.(Cr,Al)₂O₃** და ალუმინო-ქრომიტის **(FeO.(Cr,Al)₂O₃)** სახით.

ალუმინი კორუნდის **(Al₂O₃)**, მულიტის **(3Al₂O₃.2SiO₂)**, ნეფელინის **((Na,K)₂O.Al₂O₃.2SiO₂)**, კაოლინიტისა **(Al₂O₃.2SiO₂.2H₂O)** და სხვა მინერალების სახით არსებობს.

საილები ჰალკოპირიტის **(CuFeS₂)**, ჰალკოზინის **(Cu₂S)**, კუპრიტის **(Cu₂O)** და სხვა ჰიდროკარბონატების სახითაა გავრცელებული (როგორიცაა მალაქიტი **(CuCO₃.Cu(OH)₂)** და სხვა).

ლითონის მიღებისას აუცილებელი ხდება შესაბამისი ელემენტების აღდგენა მისი ნაერთებიდან. ოქსიდებიდან ელემენტის აღდგენის უმარტივეს საშუალებას თერმული დისოციაცია წარმოადგენს.



თუმცა, ძნელია დაცული იქნეს დისოციაციისათვის აუცილებელი პირობა, კერძოდ ჟანგბადის დისოციაციის დრეპადობა $P_{\text{O}_2(\text{MeO})}$ უნდა აღემატებოდეს აირად ფაზაში ჟანგბადის პარციალურ წნევას p_{O_2} აირ.ფ.



ამ პირობის დაცვა ვაკუმშიც პრაქტიკულად შეუძლებელია, რადგანაც ჟანგბადის დისოციაციის დრეპადობა $P_{\text{O}_2(\text{MeO})}$ ძალიან მცირე სიდიდეა, მაგალითად:



მართლაც, მანგანუმის ოქსიდების თერმულ დისოციაციის მაგალითზე ნათლად ჩანს რაოდენ მაღალი ტემპერატურაა საჭირო ლითონური მანგანუმის მისაღებად:

424°C 877°C 1200°C

MnO₂→Mn₂O₃→Mn₃O₄→MnO→Mn

1400°C 3000°C

ამიტომაც, ოქსიდებიდან სასურველი ელემენტის
მისაღებად აუცილებელი ხდება აღმდგენელის
გამოყენება.

აღმდგენელის შერჩევისას აუცილებელია პასუხი
გაეცეს შემდგ კითხვებს:

1. შეძლებს თუ არა შერჩეული აღმდგენელი
მიზნობრივი ელემენტის აღდგენას.

2. როგორი იქნება აღდგენილი ელემენტის ამოკრეფის
ხარისხი მაღნიდან ლითონში.

3. როგორი იქნება მაღნიდან მიზნობრივი ელემენტის
აღდგენის სიჩქარე.

აქედან პირველ ორ კითხვაზე ექსპერიმენტის
ჩატარების გარეშე ამომწურავად პასუხობს
თერმოდინამიკური გათვლები, ხოლო მე-3 კითხვაზე
პასუხის გაცემა შესაძლებელია მხოლოდ და მხოლოდ
აღდგენის პროცესის მექანიზმის შესწავლის შემდეგ, იგი
კინეტიკის სფეროა და სპეციალურ ექსპერიმენტულ
გამოკვლევებს საჭიროებს.

8.1 ელემენტის აღდგენის შესაძლებლობის განსაზღვრა მისი ოქსიდიდან

აღსადგენი ოქსიდი აფლნიშნოთ MeO -თი, ხოლო აღმდგენელი Me^I -ით. რა პირობა უნდა იქნეს დაცული იმისათვის რომ წავიდეს შემდეგი რეაქცია:



ეს რეაქცია მხოლოდ მაშინ წავა, როდესაც აღმდგენელს (Me^I) უფრო მეტი ნათესაური კავშირი ექნება ჟანგბადთან ვიდრე აღსადგენ ელემენტს (Me).

ელემენტის ჟანგბადთან ნათესაური კავშირის მახასიათებელ სიდიდეს იზობარული პოტენციალი ($\text{იზობარული-მუდმივი } \ddot{\text{წ}}\text{ნევა}$) (ΔG^0) წარმოადგენს.

იქიდან გამომდინარე, რომ ყველა აღდგენით რეაქციას თან ახლავს დაქანგვის რეაქციაც, (1) რეაქცია ორი რეაქციის ჯამად შეიძლება წარმოვადგინოთ:



ბუნებრივია, რომ (1) რეაქცია ოვითნებურად მხოლოდ მაშინ შეიძლება წავიდეს, როდესაც ΔG^0_1 -ის აბსოლუტური მნიშვნელობა უფრო ნაკლები იქნება ΔG^0_2 -ის აბსოლუტურ მნიშვნელობაზე, ე.ი. როცა $|\Delta G^0_1| < |\Delta G^0_2|$.

ΔG^0 -ს ანუ \dot{J} იტსის ენერგიის (ამერიკელი მეცნიერის ჯიტსის საპატიოცემულოდ) ტემპერატურაზე დამოკიდებულელების განტოლებას შემდეგი სახე აქვს:

$$\Delta G^0_T = \Delta H^0_T - T \Delta S^0_T \quad (4)$$

სადაც ΔH^0_T - ენთალპიაა ანუ რეაქციის თბური ეფექტი შებრუნებული ნიშნით ($H = -Q$), ხოლო ΔS^0_T ენტროპიაა, რომელსაც ზოგჯერ დაყვანილ

Q

სითბოსაც უწოდებენ ($S = -$). თავისმხრივ
 T

$$\Delta H^0_T = \Delta H_{298} + \int_{298}^{T_{\text{გარ}}} \Delta C_p dT + q_{\text{გარ}} + q_{\text{დნ}} + \int_{T_{\text{დნ}}}^T \Delta C_p^I dT \quad (5)$$

და

$$\Delta S^0_T = \Delta S_{298} + \int_{298}^{T_{\text{გარ}}} \frac{\Delta C_p}{T_{\text{გარ}}} dT + \frac{q_{\text{გარ}}}{T_{\text{გარ}}} + \frac{q_{\text{დნ}}}{T_{\text{დნ}}} + \int_{T_{\text{დნ}}}^T \frac{\Delta C_p^I}{T} dT \quad (6)$$

სადაც: $T_{\text{გარ}}$ – ფაზური გარდაქმნის შესაბამისი ტემპერატურაა.

T დნ – დნობის ტემპერატურა;

$q_{\text{გარ}}$ – გარდაქმნის სითბო;

$q_{\text{დნ}}$ – დნობის სითბო;

ΔC_p – კუთრი სითბოტევადობის ცვლილება.

იმისათვის, რომ ამოგხსნათ მე-5 და მე-6 გამოსახულებაში მოცემული ინტეგრალები,

აუცილებელია მოცემული გვქონდეს $\Delta C_p=F(T)$
დამოკიდებულების განტოლება:

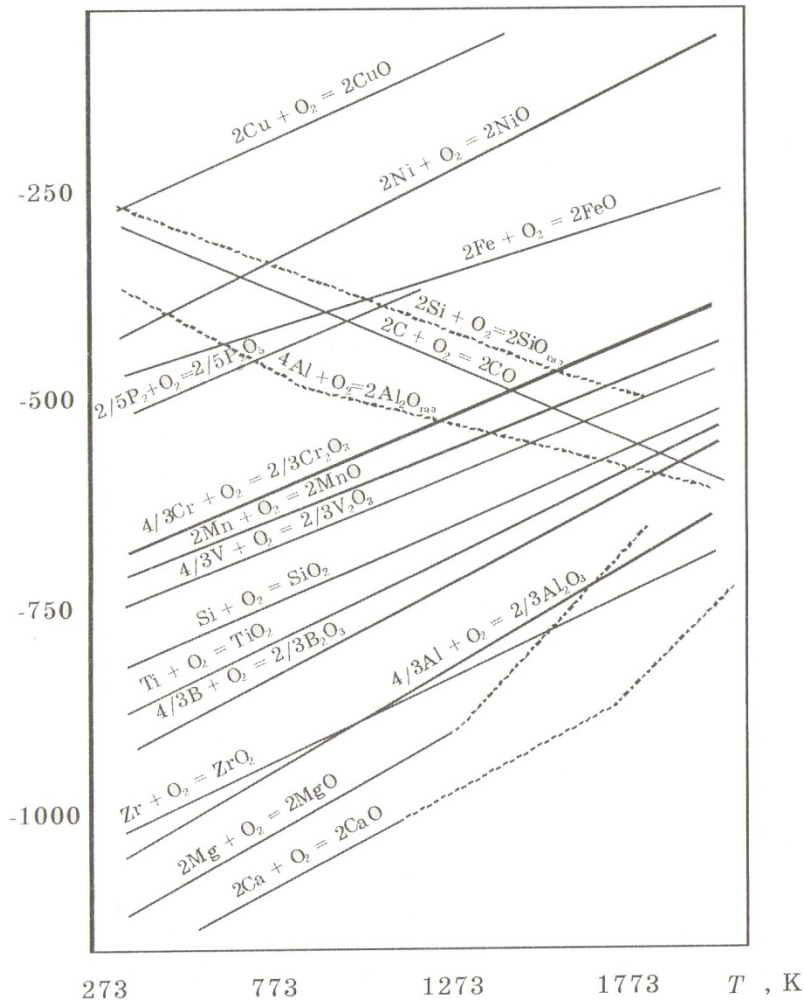
$$C_p=a+bT+dT^2 \quad (7)$$

სადაც **a**, **b** და **d** სტექეომეტრიული კოეფიციენტებია
და იგი სხვადასხვა ნივთიერებებისათვის ცხრილებშია
მოცემული.

აღნიშნულ გამოსახულებაბზი Δ შესაბამისი
სიდიდეების ცვლილებაზე მიუთითებს.

გამარტივების თვალსაზრისით ΔG^0 -ს ანგარიშისას
შეიძლება გამოყენებულ იქნეს სხვადასხვა
სახელმძღვანელოებსა და ცნობარებში არსებული
ცხრილები ან ΔG^0 -ს ცვლილების ტემპერატურაზე
დამოკიდებულების გრაფიკული გამოსახულება (სურ. 1),
სადაც მაღალ ტემპერატურულ ინტერვალში (1500–2000K)
სხვადასხვა ოქსიდებისათვის წინასწარაა მოცემული
 ΔG^0 -ს მნიშვნელობები.

გრაფიკული გამოსახულებიდან გამომდინარე,
ლითონებს შორის ყველაზე დიდი სწრაფვა ჟანგბადთან
Ca-ს ახასიათებს, ხოლო ყველაზე სუსტი სპილენძს.
ერთადერთი მრუდი, რომელიც ყველა მრუდს პეტს
ნახშირბადის ჟანგბადთან ურთიერთობის გამომსახულია,
ყველა სხვა ელემენტისაგან განსხვავებით ტემპერატურის
გაზრდით ამ მრუდის ΔG^0 -ს უარყოფითი მნიშვნელობა
კლებულობს, რაც იმაზე მიუთითებს, რომ მაღალ
ტემპერატურაზე ნახშირბადი ყველაზე კარგი
აღმდგენელია.



სურ. 1. ჯიბსის სტანდარტული ენერგიის ცვლილებების დამოკიდებულება ტემპერატურაზე.

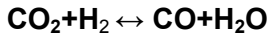
8.2 რეაქციის ფონასწორობა, შეძლევადი და შეუძლებადი რეაქციები

წონასწორული ეწოდება სისტემის ისეთ თერმოდინამიკურ მდგომარეობას, რომელიც დროის მიხედვით არ იცვლება. წონასწორობის მდგომარეობა გარეგან ფაქტორებზეა დამოკიდებული. თერმოდინამიკის კანონიდან გამომდინარე ნებისმიერი თერმოდინამიკური სისტემა წონასწორობისაკენ მიისწრაფვის. წონასწორობისას პროცესი კი არ წყდება არამედ ატარებს მოძრავ დინამიკურ ხასიათს. ქიმიური წონასწორობისას პირდაპირი რეაქციის პარალელურად ვითარდება შებრუნებული რეაქციაც. წონასწორობა მყარდება მაშინ როდესაც პირდაპირი და შებრუნებული რეაქციის სიჩქარეები ერთმანეთს გაუტოლდება.

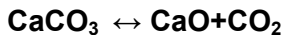
თერმოდინამიკურ ქიმიურ წონასწორობას საწყისი ნივთიერებებისა და რეაქციის პროცესების კონცენტრაციების ისეთი თანაფარდობა შეესაბამება, როდესაც ენტროპია არის მაქსიმალური, ხოლო თავისუფალი ენერგიის ცვლილება მინიმალური.

ქიმიური რეაქცია ორ ჯგუფად – შექცევად და შეუქცევად იყოფა. შექცევადი ისეთი რეაქციებია, როდესაც რეაქციის პროცესების ურთიერთქმედებით საწყისი ნივთიერებები წარმოიქმნება. შექცევადი ქიმიური რეაქციები ბოლომდე არ მიმდინარეობს, არამედ რაღაც ზღვარს აღწევს, რომლის შემდეგაც მორეაგირე ნივთიერებების კონცენტრაციების ცვლილება ადარ შეინიშნება. მაგალითად: მაღალ ტემპერატურაზე

ნახშირორჟანგისა და წყლის ურთიერთქმედებით
ნახშირჟანგი და წყლის ორთქლი მიიღება



შეუქცევადი ქიმიური რეაქციების მიმდინარეობისას, საწყისი ნივთიერებები პრაქტიკულად ბოლომდე გარდაიქმნება რეაქციის პროდუქტებად. შეუქცევადობის ძირითად პირობას წარმოადგენს წარმოქმნილი პროდუქტის გაყვანა სარეაქციო ზონიდან, წინააღმდეგ შემთხვევაში შეუქცევადი რეაქციები შეიძლება შექცევადი გახდეს. მაგალითად, დახმულ ჭურჭელში კირქვის გამოწვით დაგროვილი CaO -სა და CO_2 -ის ურთიერთქმედებით კვლავ CaCO_3 მიიღება:



8.3 რეაქციის ფონას დოროვობის მუდმივას ბანსაზღვრა

ექსპერიმენტულად დადგენილია, რომ ბევრ შემთხვევაში ქიმიური რეაქციის სიჩქარე პირდაპირ პროპორციულ დამოკიდებულებაშია მორეაგირე ნივთიერებების კონცენტრაციებთან.



პირდაპირი რეაქციის სიჩქარე $V_1 = K_1 \cdot C_A \cdot C_B$ სადაც K_1 პირდაპირი რეაქციის სიჩქარის მუდმივაა, რომელიც

საწყისი ნივთიერებების ბუნებასა და ტემპერატურაზეა დამოკიდებული. C_A და C_B A და B ნივთიერებების კონცენტრაციებია.

ქიმიური რეაქციის განვითარებასთან ერთად A და B ნივთიერებების კონცენტრაციები მცირდება, ხოლო C და D იზრდება. შებრუნებული რეაქციის სიჩქარე

$\mathbf{V}_2 = K_2 C_c C_D$ სადაც K_2 -შებრუნებული რეაქციის სიჩქარის მუდმივაა.

წონასწორობისას $\mathbf{V}_1 = \mathbf{V}_2$ გ.ი.

$K_1 C_A C_B = K_2 C_c C_D$ საიდანაც

$$\frac{K_1}{K_2} = \frac{C_c C_D}{C_A C_B} = K_c \quad (1)$$

სადაც K_c წონასწორობის მუდმივაა, რომელიც დამოკიდებული არ არის მორეაგირე ნივთიერებების კონცენტრაციებზე, არამედ დამოკიდებულია მათ ბუნებასა და ტემპერატურაზე.

თუ მოარეაგირე ნივთიერებებისა და რეაქციის პროცესების კონცენტრაციებს A , B , C და D ასოებით ავღნიშნათ, მაშინ (1) გამოსახულება შემდეგ სახეს მიიღებს:

$$K_c = \frac{[C] \cdot [D]}{[A] \cdot [B]} \quad (2)$$

თუ რეაქციაში რამოდენიმე მოლეკულა მონაწილეობს:
 $aA + bB = cC + dD$

მაშინ წონასწორობის მუდმივა

$$K_c = \frac{[C]^c \cdot [D]^d}{[A]^a \cdot [B]^b} \quad (3)$$

მე-3 გამოსახულება მომქმედ მასათა კანონს
 წარმოადგენს, რომლის მიხედვითაც რეაქციაში შესული
 ნივთიერებათა მასა რეაქციის შედეგად მიღებულ
 ნივთიერებათა მასის ტოლია.

განვიხილოთ რეაქცია $2CO + O_2 \leftrightarrow 2CO_2$,
 წონასწორობის მუდმივა

$$K_c = \frac{[CO_2]^2}{[CO]^2 \cdot [O_2]} \quad (4)$$

აირადი ფაზის არსებობის შემთხვევაში ნივთიერების
 კონცენტრაციები მათი პარციალური წნევებით შეიძლება
 შეიცვალოს. ამ დროს წონასწორობის მუდმივას K_p -თი

აღნიშნავენ. აქედან გამომდინარე მე-4 გამოსახულება შემდეგ სახეს მიიღებს

$$K_p = \frac{P_{CO_2}^2}{P_{CO} \cdot P_{O_2}} \quad (5)$$

სადაც P_{CO_2} , P_{CO} და P_{O_2} შესაბამისი აირების პარციალური წნევებია წონასწორობისას.

ერთი და იგივე რეაქციისათვის K_c და K_p მუდმივები ერთმანეთის ტოლი არ არის

$$K_p = K_c (RT)^{\Delta n} \quad (6)$$

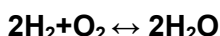
სადაც Δn აირადი ნივთიერებების მოლების გარდაქმნის რიცხვია,

R - აირის უნივერსალური მუდმივაა

PV

$R = \frac{P}{T}$ მენდელეევ-კლაპეირონის
განტოლებიდან.

რეაქციისათვის



$\Delta n = 2 - (2+1) = -1$, რადგანაც 3 მოლი ნივთიერებისგან მიღებულია 2 მოლი ნივთიერება. აღნიშნულის

გათვალისწინებით მე-6 განტოლება შემდეგ სახეს
მიიღებს:

$$\frac{K_p = K_c (RT)^{-1}}{RT} \quad (7)$$

თუ საწყისი და საბოლოო მოლების რიცხვი ტოლია,
მაშინ $\Delta n=0$, ეს ის შემთხვევაა, როცა $K_p = K_c$.

რეაქციის წონასწორობის მუდმივა შეიძლება მოლური
წილითაც გამოისახოს:

$$K_N = \frac{N_c \cdot N_D}{N_A \cdot N_B} \quad (8)$$

წონასწორობის მუდმივა გამოსახული კონცენტრაციებითა და მოლური წილით აქტიურობის კოეფიციენტის გათვალისწინების გარეშე სამართლიანია მხოლოდ ძლიერ განზავებული ხსნარებისათვის, რომელებიც იდიალური სისტემების კანონს ექვემდებარება:

$$K_N = \frac{N_c \cdot Y_c \cdot N_D \cdot Y_D}{N_A \cdot Y_A \cdot N_B \cdot Y_B} \quad (9)$$

სადაც $\mathbf{Y_A}$, $\mathbf{Y_B}$, $\mathbf{Y_c}$ და $\mathbf{Y_D}$ შესაბამისი ნივთიერებების აქტიურობის კოეფიციენტებია

$$K_c = \frac{\mathbf{C_c} \cdot \mathbf{Y_c} \cdot \mathbf{C_D} \cdot \mathbf{Y_D}}{\mathbf{C_A} \cdot \mathbf{Y_A} \cdot \mathbf{C_B} \cdot \mathbf{Y_B}} \quad (10)$$

რეაქციის წონასწორობის მუდმივა, რომელიც აქტიურობითაა გამოსახული ყველა რეალური სისტემისათვისაა სამართლიანი

$$Ka = \frac{\mathbf{a_c} \cdot \mathbf{a_D}}{\mathbf{a_a} \cdot \mathbf{a_B}} \quad (11)$$

$$\text{აქტიურობა } \mathbf{a} = \mathbf{N} \mathbf{Y} \quad (12)$$

სადაც \mathbf{N} - ნივთიერების მოლური წილია
 \mathbf{Y} - აქტიურობის კოეფიციენტი

მოცემული კომპონენტის აქტიურობა ხსნარის შედგენილობაზე, ტემპერატურასა და წნევაზეა დამოკიდებული.

აქტიურობის ნაცვლად შეიძლება ზოგჯერ მხოლოდ აქტიურობის კოეფიციენტითაც ვისარგებლოთ.

8.4 ლუ-შატელის პრინციპის გამოყენება მეტალურგიული პროცესის ანალიზისას

ლუ-შატელიეს პრინციპი ანუ მოძრავი წონასწორობის პრინციპი შეიძლება განვიხილოთ როგორც წესი, რომელიც ახასიათებს თერმოდინამიკური სისტემის არსებობის შეცვლის გავლენას წონასწორობაზე. ეს პრინციპი კერძო სახით 1884 წელს ვანტ-ჰოფმა გამოთქვა, ზოგადად ლუ-შატელიემ ჩამოყალიბა, ხოლო თეორიულად 1887 წელს კბრაუნმა დაასაბუთა, რომელმაც აჩვენა, რომ ლუ-შატელიეს პრინციპი თერმოდინამიკის მე-2 კანონის შედეგს წარმოადგენს.

ლუ-შატელიეს პრინციპი შეიძლება შემდეგნაირად ჩამოყალიბდეს. თუ სისტემაზე, რომელიც მდგრად წონასწორულ მდგომარეობაში იმყოფება ვიმოქმედებოთ გარედან და შეცვლით რაიმე პირობას, რომელიც განსაზღვრავს მის წონასწორულ მდგომარეობას, მაშინ წონასწორობა შეიცვლება იმ მიმართულებით, რომლის შედეგადაც ამ ქმედების ეფექტი შემცირდება.

პირობები, რომელთა შეცვლას შეუძლია იმოქმედოს რეაქციის ან ფაზური გარდაქმნის წონასწორობაზე არის ტემპერატურა, წევა და მორეაგირე ნივთიერებათა კონცენტრაცია. მდგრადი წონასწორობისას, როგორც ავღნიშნეთ, პირდაპირი და შებრუნებული რეაქციების სიჩქარეთა ჯამი ერთმანეთს უტოლდება, ხოლო მათ ობურ ეფექტებს საწინააღმდეგო ნიშნები აქვთ. ტემპერატურის გაზრდა იწვევს წონასწორობის შეცვლას იმ მიმართულებით, რომელსაც თან ახლავს სითბოს შთანთქვა, ხოლო ტემპერატურის შემცირება

საწინააღმდეგო მიმართულებით მოქმედებს. ამის მსგავსად, წნევის გაზრდა ცვლის წონასწორობას იმ მიმართულებით, რომელსაც თან ახლავს მოცულობის შემცირება და პირიქით. თუ სისტემაში რომელიც მდგრად ქიმიურ წონასწორობაში იმყოფება, ერთ-ერთ მორეაგირე ნივთიერების დამატებით რაოდენობას შევიტანო, მაშინ წონასწორობის შეცვლა მოხდება იმ მიმართულებით, რომელიც ამ ნივთიერების კონცენტრაციას შეამცირებს.

ვინაიდან უმრავლესი მეტალურგიული პროცესი უმეტესად მუდმივი გარეგანი წნევის ქვეშ მიმდინარეობს, მათი წონასწორობის ძირითადი განმსაზღვრელი პირობა ტემპერატურაა.

ქიმიური რეაქციის წონასწორობაზე ტემპერატურის გავლენის დადგენა ეყრდნობა თერმოდინამიკურ განტოლებას:

$$\frac{d\ln K_p}{dT} = \frac{\Delta H}{RT^2} \quad (1) \quad (\text{იზობარის განტოლება})$$

აქ ჩვეულებრივ ორი შემთხვევა განიხილება:

- 1) ენდოთერმული პროცესებისათვის ე.ო. როცა $\Delta H > 0$ - ზე, წონასწორობის მუდმივას წარმოებული $d\ln K_p / dT$ დადებითია, რაც ნიშნავს, რომ წონასწორობის მუდმივა ტემპერატურის ზრდადი ფუნქციაა, ე.ო. ტემპერატურის გაზრდით რეაქციის პრუდუქტის წონასწორული

კონცენტრაციები იზრდება, ხოლო საწყისი ნივთიერებებისა მცირდება.

2) ეგზოთერმული პროცესებისათვის, ე.ი. როცა $\Delta H < 0$ -ზე, წარმოებული $dL_n K_p / dT$ უარყოფითია და K_p არის ტემპერატურის კლებადი ფუნქცია. ეს ნიშნავს რომ ტემპერატურის შემცირებით რეაქციის პროდუქტების წონასწორული კონცენტრაცია მცირდება, ხოლო საწყისი ნივთიერებების კი პირიქით იზრდება.

ზემოაღნიშნულიდან გამომდინარე მდგრადი წონასწორობის პირობებში ენდოთერმული რეაქციები კარგად მიმდინარეობს მაღალ ტემპერატურებზე, ხოლო ეგზოთერმული რეაქციები კი დაბალ ტემპერატურებზე. თუმცა ზოგჯერ მეტალურგიული პროცესების დროს ძირითადი განმსაზღვრელი რეაქცია ვერ აღწევს წონასწორობას, ან ისეთ ტემპერატურულ ინტერვალში მიმდინარეობს, რომელიც მეტია წონასწორულ მდგომარეობაზე. ასეთ შემთხვევებში ლფ-შატელიეს პრინციპების გამოყენება და რაიმე დასკვნების გაკეთება სიფრთხილეს მოითხოვს, რადგანაც ნებისმიერი ქიმიური რეაქციის მიმდინარეობის განმსაზღვრელია არა მისი სითბური ეფექტის ნიშანი, არამედ ამ რეაქციის ჯიბსის ენერგიის ცვლილების (ΔG) ნიშანი, ხოლო რეაქციის მიმართულების მაჩვენებელია მისი ენტროპიის ცვლილების ნიშანი. ეს დასკვნები ჯიბსის ცნობილი განტოლებიდან გამომდინარეობს

$$\Delta G = \Delta H - T\Delta S \quad (2)$$

ლუ-შატელიეს პრინციპი ამ განტოლების კერძო შემთხვევად განიხილება. მართლაც რეაქციის წონასწორობისას $\Delta G = 0$ -ს, ანუ

$$\Delta G$$

$$LgK_p = - \frac{RT}{-----}$$

გამოსახულებიდან გამომდინარე $Lgk_p = 0$ და $k_p = 1$ -ს.,

ე.ი. $\Delta H = T\Delta S$. თუ პირდაპირი რეაქცია ენდოთერმულია ე.ი. $\Delta H > 0 = A$, მაშინ ამ ტოლობიდან გამომდინარე მისი ენტროპიის ცვლილება იქნება დადებითი, ე.ი. $\Delta S > 0 = B$, და მე-2 გამოსახულება ამ შეთხვევაში ზოგადად შეიძლება ასე ჩაიწეროს $\Delta G = A - BT$, საიდანაც გამომდინარეობს, რომ ტემპერატურის გაზრდით ΔG უარყოფითი გახდება, ე.ი. რეაქციის მიმდინარეობის თერმოდინამიკური პირობები გაუმჯობესდება.

ანალოგიურად, თუ რეაქცია ეგზოთერმულია, ე.ი. $\Delta H < 0 = -A$ და $\Delta S < 0 = -B$ გვექნება $\Delta G = A + BT$, საიდანაც გამომდინარეობს, რომ ტემპერატურის გაზრდით ΔG გახდება დადებითი, ე.ი. რეაქციის მიმდინარეობის თერმოდიმანიკური პირობები გაუარესდება.

იმის მიხედვით, თუ როგორი სახე აქვს ჯიბსის განტოლებას ქიმიური რეაქციები ოთხ ტიპად შეიძლება დაიყოს:

I – ტიპი. $\Delta G = A + BT$ ე.ი. რეაქცია ენდოთერმულია, $\Delta H > 0$ -ზე და $\Delta S < 0$ -ზე, როგორც განტოლებიდან ჩანს

ΔG>0-ზე და **K_p<1**-ზე. ე.ი. რეაქცია მიმდინარეობს მარჯვნიდან მარცხნივ და ტემპერატურის გაზრდა ხელს არ უწყობს პირდაპირი რეაქციის მიმდინარეობას, მაგრამ წონასწორობის მუდმივას სიდიდე იზრდება.

II - ტიპი. **ΔG = A-BT** ე.ი. **ΔH>0**-ზე და **ΔS>0**-ზე

, ამ შემთხვევაში ტემპერატურის გაზრდა ზრდის **ΔG**-ს უარყოფით მნიშვნელობას, ე.ი. ტემპერატურის გაზრდა ხელს უწყობს რეაქციის მიმდინარეობას, **K_p** იზრდება.

III - ტიპი. **ΔG = -A+BT** ე.ი. რეაქცია ეგზოთერმულია **ΔH<0**-ზე და **ΔS<0**-ზე, განტოლებიდან გამომდინარეობს, რომ ტემპერატურის გაზრდა ხელს არ უწყობს რეაქციის მიმდინარეობას, მაგრამ ამცირებს **K_p** სიდიდეს.

IV - ტიპი. **ΔG = -A - BT** ე.ი. **ΔH<0**-ზე და **ΔS>0**-ზე, რაც ნიშნავს, რომ **K_p>1**-ზე და ტემპერატურის გაზრდა ხელს უწყობს რეაქციის მიმდინარეობას, მაგრამ ამცირებს **K_p** სიდიდეს.

თუ როგორ ახდენს გავლენას წონასწორობის მუდმივას ზრდის ან კლების სიჩქარეზე ტემპერატურა, შესწავლილი არ არის. ლიტერატურაში მითითებულია მხოლოდ, ის რომ რაც დიდია **ΔH**-ის აბსოლუტური მნიშვნელობა, მით უფრო ინტენსიურია **K_p**-ს ცვლილება ტემპერატურის მიხედვით. **K_p=f(T)** მრუდის ანალიზი საჭიროებს **K_p**-ს მეორე წარმოებულის ტემპერატურული დამოკიდებულების გამომსახველი განტოლების ცოდნას, რომლის სახე ლიტერატურაში ცნობილი არ არის. ამ განტოლების მიღების მიზნით თუ გავაწარმოებთ ტემპერატურით (1) განტოლებას, მივიღებთ

$$\frac{d^2 \ln K_p}{dT^2} = -\frac{\Delta H}{RT^3} + \frac{\Delta C_p}{RT^2} \quad (3)$$

სადაც ΔC_p რეაქციის სითბოტეგადობის ცვლილებაა.
ეს განტოლება შეიძლება სხვაგვარადაც წარმოისახოს:

$$\frac{d^2 \ln K_p}{dT^2} = -\frac{\Delta H}{RT^3} + \frac{\Delta C_p T}{RT^3} \quad (4)$$

ვინაიდან ΔC_p მცირე სიდიდეებია, შეიძლება ჩავთვალოთ, რომ $\Delta C_p T \ll \Delta H$ და მე-3 განტოლებაში მეორე წევრი უგულვებელვყოთ, მაშინ წონასწორობის მუდმივას მეორე წარმოებული ტემპერატურით შეიძლება საკმარისი სიზუსტით განისაზღვროს

$$\frac{d^2 \ln K_p}{dT^2} = -\frac{\Delta H}{RT^3} \quad (5)$$

ამ განტოლებიდან გამომდინარე:

1) ოუ რეაქცია ენდოთერმულია $\Delta H > 0$, მაშინ $d^2 \ln K_p / dT^2 < 0$ და $K_p = f(T)$ მრავდი იქნება ამოზნექილი, რაც ნიშნავს, რომ ტემპერატურის გაზრდით თანახმად (1) გამოსახულებისა K_p კი იზრდება, მაგრამ მისი ზრდის

სიჩქარე კლებულობს და გარკვეულ ტემპერატურაზე ეს ზრდა შეიძლება უმნიშვნელო გახდეს.

2) თუ რეაქცია ეგზოთერმულია ($\Delta H < 0$), მაშინ $d^2 \ln K_p / dT^2 > 0$ -ზე და $K_p = f(T)$ მრუდი იქნება ჩაზნექილი, რაც ნიშნავს, რომ ტემპერატურის გაზრდით თანახმად (1) განტოლებისა, K_p -ს სიდიდე კი კლებულობს, მაგრამ მისი კლების სიჩქარეც აგრეთვე კლებულობს, რის გამოც გარკვეულ ტემპერატურაზე ეს კლება შეიძლება უმნიშვნელო გახდეს.

8.5 რეაქციის გამოსავალი და მისი ზრდის მეთოდები

ქიმიური რეაქციის თერმოდინამიკური ანალიზის პრაქტიკული მნიშვნელობა გამოიხატება იმ პირობის განსაზღვრაში, რომელიც საშუალებას მოგვცემს "წავახშოთ" შებრუნებული რეაქცია და პროცესი წარვმართოთ სასურველი მიმართულებით მარცხნიდან-მარჯვნივ. პირდაპირი რეაქცია ბოლომდე მიდის იმ შემთხვევაში, როდესაც შებრუნებული რეაქცია რაიმე მიზეზის გამო ვერ ხორციელდება. კერძოდ;

1) რეაქცია აირად ნივთიერებებს შორის წავა ბოლომდე, თუ რეაქციის პროდუქტი მყარი ნივთიერებაა.

2) თუ რეაქციისას სსნარებში წარმოიქმნება უსსნადი ნივთიერება, შებრუნებული რეაქცია ვერ განვითარდება.

3) თუ რეაქციის შედეგად მიიღება აქროლადი ნივთიერება და იგი შორდება სარეაქციო ზონას.

4) დიდი სითბური ეფექტის მქონე რეაქციები მიმდინარეობს ბოლომდე.

აღნიშნულიდან გამომდინარე, რეაქციის გამოსავლიანობის ე.ი. შესაბამისად მაღნიდან წამყვანი ელემენტის ამოკრეფის გაზრდის მიზნით, რეაქციის წონასწორობაზე შეიძლება რამოდენიმე გარეგანი ფაქტორით ვიმოქმედოთ:

1) ფლუსების გამოყენებით ვეზრუნველყოთ რეაქციის რომელიმე პროდუქტის აქტიურობის შემცირება. მაგალითად, ქრომის უფლუსო მეთოდით გამოდნობისას:

2Cr₂O₃ + 3Si → 4Cr+3SiO₂, რეაქციის წონასწორობისას, ქრომის ამოკრეფი მხოლოდ 40-50%-ს შეადგენს. კირის დამატება ამცირებს SiO₂-ს აქტიურობას და ქრომის ადდგენის რეაქცია დრმად გადაინაცვლებს მარჯვნივ:



და ქრომის ამოკრეფა ამ შემთხვევაში 83-86% -მდე იზრდება.

2) რეაქციის რომელიმე პროდუქტის გაყვანა სარეაქციო ზონიდან ზრდის ელემენტის ამოკრეფას. ამ მიზნით კაზმში რკინის შემცველ კომპონენტებს უმატებენ, რადგანაც რკინა დამლექის როლს თამაშობს. მაგალითად, ფეროსილიციუმის მიღებისას



+

Fe

II

FeSi (ლითონური **Fe_nSi_m**)

რკინას რეაქციის ზონიდან გაჰყავს აღდგენილი სილიციუმი, ე.ო. ირდვევა წონასწორობა, და რეაქცია პლავ გადაინაცვლებს მარცხნიდან მარჯვნივ, ამიტომაც კონკრეტულ შემთხვევაში სილიციუმის ამოკრეფა კაზმიდან 92%-ს შეადგენს.

ზოგიერთი სპეციალური ტექნოლოგიებისათვის, სადაც რეაქციის ერთ-ერთი პროცესი აირადი ფაზაა, ხშირ შემთხვევაში გაკუმს იყენებენ. მაგალითად, ვაკუმიან ინდუქციურ ლუმელში თხევადი ფეროქრომის რაფინირებისას, ლითონის განახშირბადიანებას მასში გახსნილი ჟანგბადის ხარჯზე ახდენენ:



10^{-2} ვერც.სკ. გაიშვიათებაც კი საკმარისია იმისათვის, რომ CO-ს გაწოვით ფეროქრომში ნახშირბადის შემცველობა 0,1-დან 0,02-0,03%-მდე შემცირდეს.

3) წამყვანი ელემენტის გამოსავლის გაზრდის ძლიერ საშუალებას ტემპერატურა წარმოადგენს.

ტემპერატურის გაზრდა ენდოთერმულ პროცესებში ყოველთვის ხელს უწყობს წამყვანი ელემენტის ამოკრეფის გაზრდას, თუმცა ტემპერატურის ზომაზე მეტი

მომატება შლის ღუმელის ამონაგს და ოწვევს
აღდგენილი ელემენტების მნიშვნელოვანი ნაწილის
აორთქლებას. ამიტომაც ყველა პროცესს შესაბამისი
ოპტიმალური ტემპერატურა შეესაბამება.

9. მანგანუმიანი ჟენალეობების ფარმოვება

9.1. მანგანუმის ფარმოვება მსოფლიოში

ამჟამად მსოფლიოში 150 სხვადასხვა სახის ფეროშენადნი დნება, რომელიც სუფთა ან გარკვეული თანაფარდობით 25-მდე ელემენტს შეიცავს. ფეროშენადნობთა წარმოებას 90 წამყვანი ქვეყნის 364 საწარმო ემსახურება. მარტო 1996 წელს მსოფლიოში გამოდნობილმა ფეროშენადნობთა საერთო რაოდენობაშ 16,5 მილიონ ტონას მიაღწია, რომელთა შორის უმეტეს ნაწილს – 47,8%-ს მანგანუმიანი ფეროშენადნობები (7,89 მლნ. ტ.) შეადგენდა, ხოლო დანარჩენს ქრომიანი (3,8 მლნ. ტ./23,0%), კაფიადიანი (3,87 მლნ. ტ./23,5%) და ნიკელიანი (0,94 მლნ.ტ./5,7%) შენადნობები.

მაღალნახშირბადიანი ფერომანგანუმის უდიდესი მწარმოებელი 1998 წლის მონაცემებით ჩინეთი (932 ათასი ტ.), სამხრეთ აფრიკა (429 ათასი ტ.), იაპონია (386 ათასი ტ.), საფრანგეთი (413 ათასი ტ.), უკრაინა (291 ათასი ტ.) და ბრაზილია (113 ათასი ტ.). აღნიშნული ქვეყნების მიერ წარმოებულმა მაღალნახშირბადიანი ფერომანგანუმის საერთო რაოდენობაშ (2,56 მლნ. ტ.) მსოფლიო მაჩვენებლის 77,8% შეადგინა.

ამავე წელს ჩინეთმა და უკრაინამ შესაბამისად 700 ათასი ტონა (მსოფლიო წარმოების 22,7%) და 493 ათასი ტონა (16%) სილიკომანგანუმი გამოადნო, ხოლო 287 ათასი ტ. სამხრეთ აფრიკის ოესპუბლიკამ, 243 ათასი ტ. ნორვეგიამ, 193 ათასი ტ. ინდოეთმა, 124 ათასი ტ. ბრაზილიამ, 117 ათასი ტ. ესპანეთმა, 107 ათასი ტ.

სამხრეთ კორეამ, 105 ათასი ტ. მექსიკამ და 102 ათასი ტ. ავსტრალიამ აწარმოა.

რაფინირებული ფერომანგანუმის მსოფლიო წარმოების 70,2% კი გამოდნობილ იქნა ნორვეგიაში (166 ათასი ტ./მსოფლიო მოცულობის 25,3%), იაპონიაში (133/20,3%), ჩინეთსა (85/13,0%) და აშშ-ში (76/11,0%).

სუფთა ფოლადებზე მოთხოვნილების გაზრდაში დღის წესრიგში დააყენა ხარისხიანი ფეროშენადნობების გამოდნობის აუცილებლობის საკითხი. მანგანუმიან ფეროშენადნობთა წარმოების ტექნიკური მაჩვენებლებს უპირველეს ყოვლისა კაზმში გამოყენებული ნედლეულის ხარისხი განსაზღვრავს, მსოფლიოში კონცენტრატების ხარისხობრივი დაყოფა კი არაერთგვაროვანია, კერძოდ ფერომანგანუმიან შენადნობთა წარმოებისათვის განკუთვნილი კონცენტრატები სხვადასხვა ქვეყნის მიხედვით შემდეგ მოთხოვნებს უნდა აქმაყოფილებდეს (ცხრილი 1).

მანგანუმის მადნების სამრეწველო მარაგი მსოფლიოში დაახლოებით 7018 მილიონ ტონას შეადგენს, რომლის 42% (2950 ათასი ტონა) ყოფილი სოციალისტური ქვეყნების ტერიტორიაზეა, ხოლო მარაგის უმეტესი რაოდენობა სამხრეთ აფრიკის რესპუბლიკაშია თავმოყრილი. მანგანუმის მადნების ძირითადი მწარმოებელი ქვეყნებია: სამხრეთ აფრიკის რესპუბლიკა, ბრაზილია, ავსტრალია, ინდოეთი, მაროკო და განა.

მანგანუმის კონცენტრატების ხარისხზე ტექნიკური
მოთხოვნილება

კომპონენტი	მასური შედგენილობა, %							
	ფერომანგანუმი				სილიკომანგანუმი			
	უპრ აინა	დასავლეთ ეკროპა		აშშ „ა“ ბ	უპრა ინა	დასავლეთ ეკროპა		აშშ „ბ“
	I ბ	I ბ	II ბ		II ბ	III ბ	IV ბ	ბ
Mn, არანაკლები	43,0	48,0	46,0	46,0	34,0	44,0	40,0	40,0
Fe, არა უმეტესი	—	—	7,5	8,0	—	9,0	12,0	16,0
SiO ₂ , არა უმეტესი	—	7,0	9,0	12,0	—	10,0	12,0	15,0
P, არა უმეტესი	—	0,12	0,15	0,18	—	0,15	0,15	0,30

საზღვარგარეთის კონცენტრატების ხარისხობრივი მაჩვენებლები მე-2 ცხრილშია ნაჩვენები.

ცხრილი 2
მანგანუმის კონცენტრატების ხარისხობრივი
მაჩვენებლები, %

კომპონენტი	უპრაინა		აფსტრალია	გაბონი	ბრაზილია	სამხრეთ აფრიკა
	I ბ	II ბ				
Mn	43,7	36,1	48,5	51,0	49,0	51,0
P	0,19	0,17	0,09	0,10	0,09	0,04
SiO ₂	13,1	26,1	6,8	2,6	2,5	4,8

დამოუკიდებელ სახელმწიფოთა თანამეგობრობის
ქვეყნებში არსებული მანგანუმის მაღნების უმეტესი

ნაწილი (70,6%) დარიბი მაღნებითაა (კარბონატული და შერუფლი) წარმოდგენილი და მხოლოდ მესამედი (29,4%) გვხვდება ოქსიდური მაღნების სახით. მარაგის 80,6% უკრაინაზე [ტოქმაკის (43,2%) და ნიკოპოლის (37,4%) საბადო], 5,7% რუსეთზე, ხოლო 4,2% ყაზახეთზე მოდის.

უკრაინის მაღნების კონცენტრატები ხარისხობრივი მაჩვენებლებით აშკარად ჩამორჩება საზღვარგარეთის კონცენტრატებს. კერძოდ, როგორც მე-2 ცხრილის მონაცემებიდან გამომდინარეობს უკრაინის კონცენტრატებში ფოსფორისა და კაჟმიწის მოდული შესაბამისად ორჯერ და ოთხჯერ აღემატება სხვა ქვეყნის კონცენტრატებში მის ანალოგიურ მაჩვენებლებს.

უკრაინის მაღნების კონცენტრატებში ფოსფორის მოდულის მაღალი მნიშვნელობა ართულებს აღნიშნული მასალებიდან მაღალხარისხიანი მანგანუმიანი ფეროშენადნობების მიღების ტექნოლოგიას, კერძოდ, პირომეტალურგიული გზით საჭირო ხდება აღნიშნული კონცენტრატების წინასწარი გადამუშავება და დაბალფოსფორიანი წიდების მიღება, რომლის დროსაც ტონა პროდუქციაზე 1000 კგტ. სო. ელექტროენერგია იხარჯება და კაზში არსებული მანგანუმის 20% იკარგება. ამიტომ ტექნოლოგიური პროცესის გასამარტივებლად და საერთაშორისო ბაზარზე კონკურენტუნარიანი მანგანუმიანი ფეროშენადნობების მისაღებად საჭირო ხდება დაბალფოსფორიანი საზღვარგარეთის მაღნების გამოყენება, იმ რაოდენობით, რომ ფოსფორის მოდულმა (P/Mn) 0,0035-ს არ გადააჭარბოს. თუმცა როგორც უკრაინელი

სპეციალისტები აღნიშნავენ, იმპორტული მადნების გამოყენებას უარყოფითი მხარეც გააჩნია, კერძოდ, ეს მადნები ტუტე მეტალების ოქსიდებსაც (Na_2O , K_2O) შეიცავს, რომლებიც გარკვეულ ტემპერატურაზე გამოიდევნება და ლუმელის ზედა პორიზონტალურ ზონაში ილექტება და გარკვეული კონცენტრაციის შემთხვევაში (30%-ზე მეტი) წარმოქმნის ლოკალურ ადგილდნად და თხიერდნად წილებს, რითაც უარესდება აირგანგლადობა და დნობის ელექტრული რეჟიმი. ამასთან, მცირდება ამონაგის მდგრადობის ხანგრძლივობა და კლებულობს მანგანუმის ამოკრეფა. გარდა ამისა, იმპორტულ მადნებში რკინის მაღალი რაოდენობა ართულებს მაღალსილიციუმიანი სილიკომანგანუმის მიღების პროცესს. უნდა აღინიშნოს ისიც, რომ აღნიშნულ მადნებში ისეთი მავნე მინარევების არსებობა როგორიცაა გოგირდი, დარიშხანი და ტყვია (რომლებიც მთლიანად გადაღიან ლითონში) ფოლადის ხარისხსაც აუარესებს. ამიტომ იმპორტული მადნებისა და კონცენტრატების გამოყენების შემთხვევაში, ზემო აღნიშნული ფაქტორები აუცილებელად უნდა იყოს გათვალისწინებული.

როგორც სტატისტიკური მონაცემებიდან ირკვევა, სილიკომანგანუმისა და ნახშირბადიანი ფერომანგანუმის გამოდნობისას, კონცენტრატებში ყოველი პროცენტი მანგანუმის შემცირებით დღე-დღამეში შესაბამისად 3,2-3,7 და 2,5-2,6 ტონით ეცემა დუმელის წარმადობა და ასევე შესაბამისად 1,0-1,3 და 0,54-1,0%-ით კლებულობს მანგანუმის ამოკრეფა. ამასთან, ტონა პროდუქციაზე

დახარჯული ელექტროენერგიის ხარჯი იზრდება, კერძოდ, სილიკომანგანუმის შემთხვევაში 45-70, ხოლო ნახშირბადიანი ფერომანგანუმის გამოდნობისას კი 50-54 კვტ. სო-ით. ამიტომაცაა, რომ ნიკოპოლის მანგანუმის მადნის კონცენტრაციებზე მომუშავე საწარმოები ტექნოლოგიური მაჩვენებლებით აშკარად ჩამოუვარდება საზღვარგარეთის სხვა მადნების კონცენტრაციებზე მომუშავე საწარმოების მაჩვენებლებს.

9.2. მანგანუმის ფარმოება საჭართგელოში

საქართველოში 14 მანგანუმის საბადოა გამოვლენილი, რომელთა შორის სამრეწველო მნიშვნელობის მხოლოდ ჭიათურის საბადოა, რომლის აუზშიც შესაბამისად მსოფლიოსა და დამოუკიდებელ სახელმწიფოთა ონა-მეგობრობის ქვეყნებში არსებული მანგანუმის მაღნების მარაგის 1,8 და 9,5%-ია თავმოყრილი. (ცხრილი 3)

ცხრილი 3

საქართველოს მანგანუმის მაღნების რესურსები

საბადოებისა და პერს- პეტიული ფართობების დასახულება	მარაგი მლნ. ტ.	პროცენტული რესურსი მლნ. ტ.	უკლ მარაგი და პროცენტული რესურსი მლნ. ტ.	განლაგების აღმინისტრა- ციული რაონი
I. საბადოები:				
ჭიათურის	212,7	32,0	244,7	ჭიათურა თერჯოლა ზესტაფონი
ჩხარი-აჯამეთის	5,0	30,0	35,0	
ყვირილის დეპრესია	27,0	40,0	67,0	
II. პერსპექტიული ფართობები:				
თეთრიწყაროს	-	25,0	25,0	თეთრიწყარო
წყალტუბო-მარტვილი	-	20,0	20,0	წყალტუბო- მარტვილი
აჭარა-თრიალეთის ზონა	-	35,0	35,0	
სულ პერსპექტიულ ფართობზე	-	80,0	80,0	
მთლიანი მარაგი	244,7	262,0	506,7	

ჭიათურის საბადოს ექსპლუატაცია საუკუნეებე მეტია გრძელება და 250 მილიონ ტონაზე მეტი მადანია მოპოვებული. იმის გამო, რომ ამ ხნის განმავლობაში ძირითადად ოქსიდურ მაღნებს ამჟავებდნენ, საგრძნობლად შემცირდა მანგანუმის შემცველობა მაღანში, კერძოდ, თუ კი 1934 წელს მანგანუმის საშუალო შემცველობა მაღანში 43,5% იყო, ეს მაჩვენებელი 1960 წელს 26,6%-მდე, ხოლო 1990 წელს 18,5%-მდე შემცირდა. 1990 წლის მონაცემებით, ჭიათურის საბადოს მარაგი კვლავაც სოლიდურია და 212,7 მილიონ ტონას შედგენს.

ჭიათურის საბადო უმეტეს წილად დარიბი მაღნებისგან შედგება (მარაგის 75%), მდიდარი ოქსიდური მაღნების რაოდენობა კი მხოლოდ 25%-ს აღწევს. ოქსიდური მაღნების საერთო მარაგის 11% მაღალი ხარისხის პეროქსიდური მაღნებია, რომელშიც მანგანუმი პიროლუზიტის მინერალების სახით გვხვდება. I და II ხარისხის ოქსიდური მაღნის კონცენტრატებში მანგანუმი უმეტეს წილად მანგანიტითა (I ხ. 50,2-69,0%; II ხ. 48,2-60,3%) და პიროლუზიტური მინერალებითაა წარმოდგენილი (I ხ. 50,2-58,4%; II ხ. 45,5-49,1%), ზოგიერთ შემთხვევაში ეს კონცენტრატები თითქმის თანაბარი რაოდენობით შეიცავს აღნიშნულ მინერალებს (მანგანიტს 27-37%-ს; პიროლუზიტს 30-38%-ს). დარიბი მაღნების უმეტესი წილი კარბონატულია (კალციუმის როდოქროზიტი, მანგანოკალციტი). ოქსიდური მაღნებისგან განსხვავებით, კარბონატული მაღნები ნაჭროვნებით, მაღალი სიმტკიცით, ცვეთამედეგობითა და მაღალტემპერატურული მდგრადობით გამოირჩევა. მისი

სიმკვრივე 1,8-2,3 ტ/ტ³ ინტერვალში იცვლება. მანგანუმის შემცველობა კარბონატულ მადნებში არაერთგვაროვანია და მოპოვების ადგილის მიხედვით საკმაოდ დიდ დიაპაზონში მერყეობს (10-36%). სტაბილური მუშაობის პერიოდში „ჭიათურმანგანუმის“ წარმოებული კონცენტრატების საერთო რაოდენობამ 1981 წელს 1005,8 ათას ტონას მიაღწია, რომლის 47,2%-ს 1 ტ-ის (474,4 ათასი ტ.), 18,1%-ს II ტ-ის (182,1 ათასი ტ.) და 13,2%-ს II ტ-ის ოქსიდური კონცენტრატები შეადგენს. კარბონატული კონცენტრატების ხვედრითი წილი ამ პერიოდისათვის 18,9%-ს არ აღემატება. 1986 წლის მონაცემების მიხედვით კი „ჭიათურმანგანუმის“ პროდუქციაში 25,4%-ით იმატა კარბონატული კონცენტრატების რაოდენობამ და 237,8 ათას ტონას მიაღწია, რაც მთლიანი პროდუქციის 24,9%-ს შეადგენს. სანაცვლოდ 27,4 და 5,6%-ით იკლო I და II ტ-ის ოქსიდური კონცენტრატების რაოდენობამ და შესაბამისად 344,5 და 171,8 ათას ტონამდე შემცირდა. საბჭოთა კავშირის დაშლამ და საბაზრო ეკონომიკაზე გადასვლამ უმძიმეს ვითარებაში ჩააყენა „ჭიათურმანგანუმი“. 2000 წელს აღნიშნულმა საწარმომ მხოლოდ 25,3 ათასი ტონა I და II ტ-ის კონცენტრატი გამოუშვა. თუმცა ბოლო წლების მონაცემებით მდგომარეობა მეტ-ნაკლებად დარეგულირდა, კერძოდ, მაღალი სარისხის კონცენტრატების რაოდენობამ თანდათანობით იმატა და 2003 წელს 93,6 ათას ტონას მიაღწია. „ჭიათურმანგანუმის“ მონაცემებით კონცენტრატების რაოდენობის ზრდის ტემპი უახლოეს პერიოდშიც შენარჩუნდება.

„ჭიათურმანგანუმის“ კონცენტრატების ძირითადი მომხმარებელი გ. ნიკოლაძის სახელობის ზესტაფონის ფეროშენადნობთა ქარხანაა, რომელიც საბჭოთა კავშირში წარმოებული მანგანუმიანი ფეროშენადნობების საერთო რაოდენობის 30%-ს აღნობდა და ფოლადისათვის საჭირო მაღალხარისხიანი ფეროშენადნობების მოცულობის 75%-ს აწარმოებდა.

ქარხანაში მანგანუმიანი ფეროშენადნობების გარდა ქრომიანი და განსაკუთრებული დანიშნულების მქონე შენადნობების ტექნოლოგიებიცაა დამუშავებული და ათვისებული. ოპტიმალური რეჟიმით მუშაობის პერიოდში 1986 წლის მონაცემებით, ზესტაფონის ფეროშენადნობთა ქარხანაში 369886 ტონა მანგანუმიანი ფეროშენადნობი იქნა მიღებული, რომლის 42,6%-ს (157138 ტ.) სილიკომანგანუმი შეადგენდა, ხოლო 30%-სა (110977 ტ.) და 26,9 %-ს (99677 ტ.) საშუალონახშირბადიანი და ნახშირბადიანი ფერომანგანუმი. აღნიშნული მონაცემების მსოფლიო მაჩვენებლებთან შედარებით ირკვევა, რომ ამ პერიოდისათვის ზესტაფონის ფეროშენადნობთა ქარხანამ მანგანუმიანი ფეროშენადნობების საერთო მოცულობის (1996 წ.) 4,7% აწარმოა. ნიშანდობლივია აღინიშნოს ისიც, რომ ყოფილ საბჭოთა კავშირში მომუშავე საწარმოებს შორის ზესტაფონის ქარხანა ერთადერთია, რომელიც საშუალონახშირბადიან ფერომანგანუმსა და ელექტროლიტურ მანგანუმს დებულობდა.

ზესტაფონის ფეროშენადნობთა ქარხანას სრული სიმძლავრით დატვირთვის შემთხვევაში დაახლოებით 450 ათასი ტონა I ხარისხის ოქსიდური კონცენტრატი (Mn

48%) და 350 ათასი ტონა მანგანუმის აგლომერატი (Mn 37%) ესაჭიროება. ჭიათურის საბადოს მაღნების კონცენტრატების სიმცირის გამო 1983 წლიდან ქარხანაში საზღვარგარეთიდან მაღნების შემოტანა დაიწყეს (წელიწადში 200 ათასი ტონის ოდენობით), როთაც შეინარჩუნეს მანგანუმიანი ფეროშენადნობების მიღების ის ტრადიციული ტექნოლოგია, რომლითაც აღნიშნული საწარმო გამორჩეული იყო საბჭოთა კავშირის სხვა ქარხებისაგან. კერძოდ, შენარჩუნებულ იქნა ნახშირბადიანი ფერომანგანუმის გამოდნობის უფლესო მეთოდი და მიღებული დაბალფოსფორიანი და მაღალ-მანგანუმიანი წილებიდან (Mn 38-42%, P<0,02%) საშუალონახშირბადიანი ფერომანგანუმის გამოსადნობად საჭირო გადასამუშავებელი სილიკომანგანუმის (P 0,12%) გამოდნობის ტექნოლოგია.

ამჟამად ზესტაფონის ფეროშენადნობთა ქარხანა ყოველწლიურად საშუალოდ 100 ათას ტონა სილიკომანგანუმს ადნობს, რაც 1998 წლის მსოფლიო მაჩვენებლის 3,24%-ს შეადგენს. მიღებული შენადნი მცირე რაოდენობით შეიცავს ფოსფორს, რადგანაც კაზმში ხშირ შემთხვევაში იმპორტულ მაღნებს იყენებენ. იმის გამო, რომ ქარხანაში არ ფუნქციონირებს სააგლომერაციო ფაბრიკა და სადნობ აგრეგატს თერმიულად დაუმუშავებელი მანგანუმშემცველი მასალა მიეწოდება, 22,5 მვტ სიმძლავრის რკალური ღუმელის დღე-დამური წარმადობა 60 ტ-მდე შემცირდა, ხოლო ელექტროენერგიის ხარჯმა 4800 კვტ. სო-ს გადააჭარბა.

9.3 ნახშირბაზიანი ვორომანგანუმის გამოდნობის ტექნიკური მარტინი

ნახშირბაზიანი ფერომანგანუმის გამოდნობას ახორციელებენ დიდი სიმძლავრის ელექტრო ღუმელებში. პროცესი ემყარება ნახშირბაზიანი მანგანუმის და რკინის ოქსიდების აღდგენას. აღდგენილი ელემენტების შეერთების ხარჯზე მიიღება ფერომანგანუმი, ხოლო მადანში არსებული ოქსიდებისა და ფლუსის შედნობით კი წიდა. პროცესი არის უწყვეტი, ხოლო ღუმელიდან ლითონისა და წიდის გამოშვება პერიოდული.

ნახშირბაზიანი ფერომანგანუმის გამოდნობა ბრძმედის ღუმელშიცაა შესაძლებელი, თუმცა იგი არაეკონომიურია კოქსის გაზრდილი ხარჯის გამო. ელექტროთერმული ნახშირბაზიანი ფერომანგანუმის ქიმიური შედგენილობა რუსეთისა (**ГОСТ 4755-80**) და უკრაინის (**ГОСТ 3547-97**) სახელმწიფო სტანდარტების მიხედვით მოცემულია 1 და 2 ცხრილში.

ცხრილი 1

ნახშირბადიანი ფერომანგანუმის მარკები და ქიმიური
შედგენილობა, %

მარკა	Mn არა ნაკლები	C	Si	P	S
		არა უმეტესი			
Φ Mn 78A	78-82	7	2	0,05	0,03
Φ Mn 78K	78-82	7	1	0,35	0,03
Φ Mn 78	78-82	7	2	0,35	0,03
Φ Mn 75AC6	75	7	6	0,05	0,03
Φ Mn 75 C4	75	7	4	0,45	0,03
Φ Mn 75C9	75	6	9	0,45	0,03
Φ Mn 75	75	7	1	0,45	0,03
Φ Mn 70	70	7	6	0,6	0,03

ცხრილი 2

ნახშირბადიანი ფერომანგანუმის მარკები და ქიმ.
შედგენილობა, %

მარკა	Mn	C მაქს.	Si მაქს.	P მაქს.	S მაქს.
Φ Mn 78 A	75-82	7,0	6,0	0,10	0,03
Φ Mn 78 B	75-82	7,0	6,0	0,70	0,03

ნახშირბადიანი ფერომანგანუმის გამოსადნობად
იყენებენ როგორც სწორკუთხა ისე მრგვალი ტიპის
ელექტრორკალურ ღუმელებს.

ქვემოთ მოცემულია სწორკუთხა (**РПЗ-63**) და მრგვალი აბაზანის მქონე ელექტროდუმელების ტექნიკური მახასიათელები.

РПЗ-63

დუმელის ტრანსფორმატორის		РКГ-81
სიმძლავრე, კ.ვ.ა. 6300 (3 X 2100)	81000 (3 X 27000)	
მაღალი მხარის ძაბვა, გ 154000	154000	
მეორადი ძაბვის ზღვარი, გ 238,5-137,0	340-180	
ფაზაზე დენის მაქსიმალური		
ძალა, ა 112000	160000	
სიმძლავრის კოეფიციენტი 0,91	0,91	
ელექტროდის ზომები, მმ 300x750	დიამეტრი 2000	
ელექტროდებს შორის მანძილი, მმ 3300	4300	
ელექტროდების გადაადგილების		
საშუალო სიჩქარე, მ/წთ 0,5	2	
სადნობი სივრცის ზომები, მმ 1200	1600	
სიგრძე 20340	15000	
სიგანე 6000	-----	
სიმაღლე 3190	7300	
გამოსაშვები ხვრელის რა-ბა		
(კრიჭა)	3	2

РПЗ-63 ელექტროდუმელის ტრანსფორმატორი 23
საფეხურიანია.

РКГ-81 დუმელის ოპტიმალური აქტიური სიმძლავრე 45-47 მვტ-ს შეადგენს. მრგვალი დუმელის მუშაობის მაღალი მაჩვენებლის მიღწევა შესაძლებელია იმ

შემთხვევაში, როდესაც კაზმი $\leq 14\%$ SiO_2 -ის შემცველობის მქონე 20-100 მმ სიმსხოს მანგანუმის აგლომერატსა და 10-30 მმ ფრაქციის მანგანუმის კონცენტრატს შეიცავს, რომელშიც SiO_2 -ის შემცველობა არ აღემატება 12 %-ს.

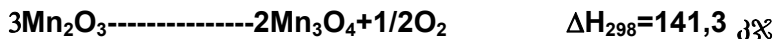
ლუმელი ამოგებულია ცეცხლგამძლე აგურებითა და ნახშირის ბლოკებით. ელექტროდები არის თვითცხობადი, რაც ტექნოლოგიური პროცესის უწყვეტობას უზრუნველყოფს.

ლუმელში მოხვედრილი კაზმი მანგანუმს სხვადასხვა ოქსიდების სახით შეიცავს: MnO_2 , Mn_2O_3 , Mn_3O_4 და MnO . გახურებისას მანგანუმის მაღალი ოქსიდები ადვილად დისოცირდებიან. პროცესი ენდოთერმულია და სითბოს შთანთქმასთანაა დაკავშირებული.

424°C

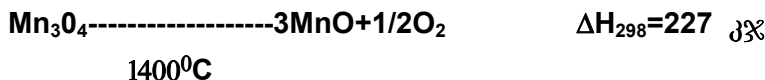


877°C



Mn_3O_4 და MnO -ს დისოციაცია მაღალ ტემპერატურაზეა შესაძლებელი,

1200°C



3000⁰C



მანგანუმის მაღალი ოქსიდები ადგილად აღსდგება ნახშირბადის მონომეტადით



$$\frac{\text{P}^2\text{co}_2}{\text{P}^2\text{co}} = \frac{\text{lgK}_1}{\text{P}^2\text{co}}$$

227⁰C- ზე $\text{lgK}_1(\text{ატმ})$ აღწევს 45,8-ს.



$$\frac{\text{P}^2\text{co}_2}{\text{P}^2\text{co}} = \frac{\text{lgK}_2}{\text{P}^2\text{co}}$$

527⁰ C-ტემპერატურაზე $\text{lgK}_2(\text{ატმ}) = 22,81$

K₁და **K₂** მაღალი მნიშვნელობა მიუთითებს იმაზე, რომ ეს რეაქციები ფაქტიურად შეუძლევადია. ამასთან მე-2 რეაქცია განვითარებას იწყებს 200⁰C ტემპერატურაზე .

მანგანუმიანი ფეროშენადნობების გამოდნობისას, როდესაც საკერძე აირი 65%-ის ფარგლებში შეიცავს **CO**-ს, 1 და 2 რეაქცია ფაქტიურად ღუმელის ზედა ზონებშიც იწყებს განვითარებას.

Mn₃O₄-ის CO-თი აღდგენა გაცილებით როგორ მიმდინარეობს:



$$\lg K_3 = \frac{P_{\text{CO}_2}}{P_{\text{CO}}}$$

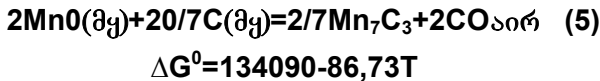
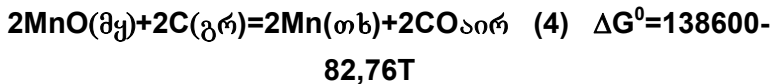
700°C- ზე **lgK₃=2,374**

1, 2 და 3 რეაქცია არის ეგზოთერმული, ამიტომ ტემპერატურის მომატებით აირად ფაზაში **CO₂-ის** წონასწორული შედგენილობა ეცემა, ხოლო **CO-ს** რაოდენობა კი იზრდება.

აუცილებელია აღინიშნოს, რომ **Fe₃O₄** გაცილებით როგორ აღდგება ვიდრე **Mn₃O₄**. მაგალითად, **Fe₃O₄-CO-FeO-CO₂** სისტემაში 700°C-ზე **CO**-ს წონასწორული შემცველობა 35,3%-ს შეადგენს, ხოლო ანალოგიური მაჩვენებელი **Mn₃O₄-CO-MnO-CO₂** სისტემაში კი მხოლოდ 6,1%-ია.

მანგანუმის მაღალი ოქსიდები (**MnO₂, Mn₂O₃ და Mn₃O₄**) იოლად აღსდგება მყარი ნახშირბადით შედარებით დაბალ ტემპერატურაზეც კი.

ნიშანდობლივია აღინიშნოს, რომ მანგანუმის მონოქსიდიდან (**MnO**) მანგანუმის აღდგენა **CO**-თი შეუძლებელია, მისი აღდგენა მხოლოდ მყარი ნახშირბადითაა შესაძლებელი;



$$\Delta G^{\circ}$$

$$\lg K_p = - \dots \dots \dots \\ 4,57\text{T}$$

გამოსახულებაში ჯიბსის ენერგიის ცვლილების მნიშვნელობის ჩასმითა და **Pco=1** ატმ პირობის დაშვებით შეიძლება განვსაზღვროთ მე-4 და მე-5 რეაქციის დაწყების ტემპერატურა, **T4(დაწ) = 1401°C**, ხოლო **T5(დაწ) = 1279°C**.

კარბიდამდე მანგანუმის ალლეგნის საწყისი თეორიული ტემპერატურა შემდეგი გამოსახულებიდანაც შეიძლება ვიანგარიშოთ:



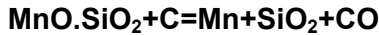
როცა **$\Delta G^{\circ} = 0$** , მე-6 რეაქციის დაწყების ტემპერატურა ტოლი იქნება **1597K (1324°C)**-ის. თერმოდინამიკური მოსაზრებიდან გამომდინარე, **MnO**-დან აღდგენისას უპირატესობა მე-5 და მე-6 რეაქციის განვითარებას უნდა მიენიჭოს, თუ გავითვალისწინებთ იმასაც, რომ ტემპერატურის მომატებით მანგანუმის კარბიდების წარმოქმნის ინტენსივობაც იზრდება, გამოდის რომ

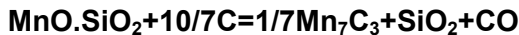
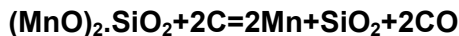
შენადნი უმეტეს წილად მანგანუმის კარბიდებს შეიცავს **[Mn₇C₃, Mn₃C (Mn,Fe)₇C₃]**.

რამდენადაც ფერომანგანუმის დნობისა და აღდგენის ტემპერატურები ერთმანეთთანაა მიახლოვებული, ამდენად ნახშირბადით გაჯერებული ლითონის წვეთები რომელიც იღექება ღუმელის ქვედზე, ურთიერთქმედებს კოქსთან და წიდის ნალღობთან, რასაც შედეგად მოჰყვება კაზმში არსებული სილიციუმის აღდგენა.



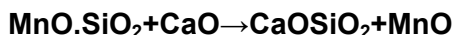
იმის გათვალისწინებით, რომ 1200-1300°C ტემპერატურულ ინტერვალში მანგანუმის მონოოქსიდი (**MnO**) ინტენსიურად რეაგირებს კაჟმიწასთან (**SiO₂**), წარმოიქმნება თხევადი სილიკატური ნაერთი როდონიტი (**(MnO.SiO₂)**) და ტეფროიტი **[(MnO)₂.SiO₂]**, ამიტომაც თხევადი ფაზის გამოჩენისას მანგანუმის აღდგენა ამ სილიკატური ნაერთებიდან მიმდინარეობს. აღდგენის რეაქციებს შემდეგი სახე შეიძლება ჰქონდეს:





სილიკატური ფაზის წარმოქმნა, გარკვეულ წილად აფერხებს მანგანუმის აღდგენას, თუმცა $1500-1600^{\circ}C$ ტემპერატურულ ინტერვალში სილიკატური ნაერთებიდან მანგანუმი პრაქტიკულად მთლიანად აღდგება. ამასთან $1500^{\circ}C$ -ზე ტეფროიტიდან უფრო იოლად მიმდინარეობს აღდგენა, ვიდრე როდონიტიდან.

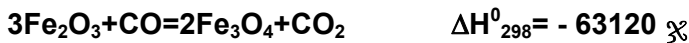
ნახშირბადიანი ფერმანგანუმის გამოდნობისას კაზმში **CaO**-სა და **MgO**-ს არსებობა საგრძნობლად აიოლებს სილიკატური ნაერთებიდან მანგანუმის აღდგენის პროცესს **(MnO**-ს აქტიურობის გაზრდის ხარჯზე).



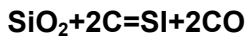
სილიკატებიდან გამონთავისუფლებული **MnO**-ს აღდგენა მყარი ნახშირბადით ზემოაღნიშნული რეაქციების შესაბამისად განხორციელდება.

მანგანუმის აღდგენასთან ერთად, თითქმის მთლიანად აღსდგება კაზმში არსებული რკინა და გადადის შენადნში. რკინის ოქსიდების აღდგენა შეიძლება განხორციელდეს, როგორც აირადი აღმდგენელით (**CO**), ისე მყარი ნახშირბადით:

$570^{\circ}C$ -ზე მაღლა

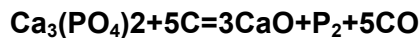


ნახშირბადიანი ფერომანგანუმის გამოდნობისას მცირე, რაოდენობით აღსდგება კაზმში არსებული სილიციუმი

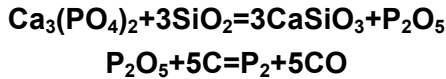


და 70-80% ფოსფორი.

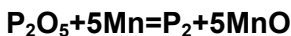
ფოსფორის აღდგენა მიმდინარეობს ჟემდეგი რეაქციით:



ეს რეაქცია 1000°C -ზე ზემოთ მყარ ფაზაშიც იწყებს განვითარებას. ნიშანდობლივია აღინიშნოს, ისიც რომ ფოსფორის აღდგენის პროცესს აუმჯობესებს კაზმი კაუმიშის არსებობა, კალციუმის ფოსფატიდან P_2O_5 -ს გამოდევნის ხარჯზე.



ამ შემთხვევაში ფოსფორის აღდგენა 900°C -ის ფარგლებშიც მიმდინარეობს. თხევადი ნალლობიდან ფოსფორის აღდგენა ასევე შესაძლებელია განხორციელდეს მანგანუმითაც:



იმის გათვალისწინებით, რომ MnS მცირედ იხსნება შენადნში, გროვირდის შემცველობა ნახშირბადიან ფერომანგანუმში $0,03\%$ -ს არ აღემატება.

ნახშირბადიანი ფერომანგანუმის გამოდნობის ორი მეთოდი არსებობს, უფლუსო და ფლუსიანი. პირველი მეთოდი ორ საფეხურიანია, ხოლო მეორე ერთსაფეხურიანი. უფლუსო მეთოდი კერნომიკური თვალსაზრისით გაცილებით იაფია ფლუსიანთან შედარებით.

უფლუსო მეთოდით გამოდნობისას ლითონთან ერთად მიიღება მაღალმანგანუმიანი (**$\text{Mn} \approx 38\%$**) და დაბალფოსფორიანი (**$p \leq 0,02\%$**) გადასამუშავებელი წილა, რომელსაც დაბალფოსფორიანი სილიკომანგანუმის გამოსადნობად იყენებენ.

ამ შემთხვევაში იზრდება მანგანუმის საბოლოო ამოკრეფა და მცირდება საკაზმე მასალების ხარჯი.

ფლუსიანი მეთოდით გამოდნობისას კი კაზმში დამატებით შეპყავთ კირი ან კირქვა, რითაც ზრდიან წილის ფუძიანობას და ცდილობენ ლითონში მანგანუმის

მაქსიმალურ ამოკრეფას. ამ დროს მიღებული წილა მანგანუმით დარიბია ($\text{MnO} \quad 10-14\%$; $\text{SiO}_2 \quad 31\%$; $\text{CaO} \quad 41\%$; $\text{MgO} \quad 1,8\%$; $\text{Al}_2\text{O}_3 \quad 1,3\%$, $\text{CaO/SiO}_2 \quad 1,0-1,2$) და შემდგომი გადამუშავებისთვის უვარგისი.

ნახშირბადიანი ფერომანგანუმის გამოდნობის
ძირითადი ტექნიკო-ეკონომიკური მაჩვენებლები
მოცემულია მე-3 ცხრილში.

ცხრილი 3

ნახშირბადიანი ფერომანგანუმის გამოდნობის
ძირითადი ტექნიკო-ეკონომიკური მაჩვენებლები

დასახელება	მეთოდი	
	ფლუსიანი	უფლუსო
ხარჯები, კგ/ტ.ტ მანგანუმშემცველი ნედლეული (48% Mn)	2060	2971
კოქსი	580	415
რკინის გუნდა	110	85
კირქვა	700	—
ელექტროდების მასა	21	22,4
ელ.ენერგია, კ.ვტ.სთ/ტ.ტ.	4290	3498
Mn -ის შემცველობა წილაში, %	14,2	35,8
წილის ჯერადობა	1,2	0,88
მანგანუმის ამოკრეფა, %	78-82	60-62

უფლუსო მეთოდით გამოდნობისას გამოყენება
მანგანუმით მდიდარი კონცენტრატები, მაშინ როდესაც
ფლუსიან პროცესში გარკვეულ წილად დარიბი
მანგანუმშემცვლელი მასალებიც შეიძლება იქნეს
გამოყენებული.

ნახ. ფერომანგანუმის გამოდნობის უფლუსო მეთოდი
კარგად იქნა ათვისებული ზესტაფონის ფეროშენადნობთა
ქარხანაში, რომლის წილასაც (**Mn 37-42%, SiO₂ 29-31%,
CaO 7-8%, FeO 1% Al₂O₃ 6-8% MgO 2%, C-0,3-0,5%,
S 1,2-1,5%, P 0,01-0,02%, ჯერადობა 1,2**) წარმატებით
იყენებენ დაბალფოსფორიანი სილიკომანგანუმის
გამოსაღნობად.

ზ.ფ.ქ.-ში ელემენტების გადანაწილება ლითონურ,
წილურ და აირად ფაზაში მოცემულია მე-4 ცხრილში.

ცხრილი 4
ელემენტების განაწილება, % (უფლუსო მეთოდი)

ელემენტი	გადადის, %		
	ლითონში	წილაში	აირად ფაზაში
Mn	60 - 62	28 -30	10
Si	8 - 10	90 - 92	-
Fe	95	5	-
P	70	3 - 5	25 - 27
S	1	60	39

წიდის გამოყენების შემდეგ მანგანუმის საბოლოო ამოკრეფა ლითონში უფლუსო მეთოდით გამოდნობისას შეადგენს 83%-ს, ე.ი. 8-10%-ით მეტს ვიდრე ფლუსიანის შემთხვევაში. ამიტომ მანგანუმით მდიდარი კონცენტრატების გამოყენებისას უმჯობესია ნახშირბადიანი ფერომანგანუმი გამოდნეს უფლუსო მეთოდით, ხოლო კარბონატული და სხვა ღარიბი ოქსიდური მადნების გამოყენების შემთხვევაში კი ფლუსიანით.

ნახშირბადიანი ფერომანგანუმის გამოდნობისას ლითონისა და წიდას ორი საათის ინტერვალით ერთდროულად უშვებენ ღუმელიდან კასკადურად განლაგებულ ციცხვებში, ლითონის ჩამოსხმას ახდენენ საჩამოსხმო მანქანაზე.

9.4 უეროსილიკომანგანუმის (სილიკომანგანუმის) გამოდნობის ტექნოლოგია

სილიკომანგანუმი, როგორც განმქანგველი და მაღალი რებელი დანამატი ფართოდ გამოიყენება მეტალურგიაში სხვადასხვა ხარისხის ფოლადის მისაღებად. გარდა ამისა მას იყენებენ როგორც აღმდგენელს რაფინირებული მანგანუმიანი შენადნობების წარმოებაში. სილიკომანგანუმში მანგანუმის შემცველობა არანაკლები 60%-ია, ხოლო სილიციუმის რაოდენობა 10-დან 35%-მდე მერყეობს.

სილიკომანგანუმის მარკები და მათი ქიმიური შედგენილობა უკრაინისა და რუსეთის სახელმწიფო

სტანდარტების მიხედვით მოცემულია პირველ და მეორე ცხრილი:

ცხრილი №1
სილიკომანგანუმის ქიმიური შემცველობა

მარკა	ელემენტის რაოდენობა, %					
	Si	Mn არანაკლები	C	P	S	
				A	B	
				არა უმეტეს		
MnC 25	25-დან 35,0-ის ჩათვლით	60,0	0,5	0,05	0,25	0,03
MnC 22	20-დან 25,0-ის ჩათვლით	65,0	1,0	0,10	0,35	0,03
MnC 17	15-დან 20,0-ის ჩათვლით	65,0	2,5	0,10	0,60	0,03
MnC 12	10-დან 15,0-ის ჩათვლით	65,0	3,5	0,20	0,60	0,03

Mn-მანგანუმია, C-სილიციუმი.
ერთ საბჭოთა კავშირში სილიკომანგანუმს სამი
მსხვილი ქარხანა აწარმოებდა, ნიკოპოლის, ზაკოროვისა
და ზესტაფონის.

ცხრილი № 2

სილიკომანგანუმის ქიმიური შემცველობა, %

მ ა რ კ ა	ელემენტების რაოდენობა, %				
	Si	Mn არა ნაკლები	C	P	S
			არა უმეტეს		
CMn26	≥26,0	60	0,2	0,05	0,03
CMn20	20,0-25,9	65	1,0	0,10	0,03
CMn20P	20,0-25,9	65	1,0	0,25	0,03
CMn17	17,0-19,9	65	1,7	0,10	0,03
CMn17P	17,0-19,9	65	1,7	0,35	0,03
CMn14	14,0-16,9	65	2,5	0,25	0,03
CMn14P	14,0-16,9	65	2,5	0,35	0,03
CMn10	10,0-13,9	65	3,5	0,35	0,03

ფოსფორის შემცველობის მიხედვით სილიკომანგანუმი A და B ჯგუფებად იყოფა, ხოლო ნაჭროვნების (სიმსხო) მიხედვით კი 5 კლასად.

ლითონში ნახშირბადის რაოდენობის ცვლილებაზე დიდ გავლენას ახდენს სილიციუმის შემცველობა, რაც უფრო იზრდება სილიციუმის შემცველობა შენაღნობში მით უფრო მცირდება მასში ნახშირბადის ხსნადობა. აღნიშნული გამოწვეულია იმით, რომ **Mn-Si** კავშირი გაცილებით უფრო მდგრადია **Mn-C** კავშირთან შედარებით. დაბალფოსფორიან სილიკომანგანუმს, რომელსაც რაფინირებული მანგანუმიანი შენაღნობების მისაღებად იყენებენ, გადასამუშავებელს უწოდებენ.

ზესტაფონის ფეროშენადნობთა ქარხანაში გადასამუშავებელი სილიკომანგანუმის გამოდნობის ტრადიციული ტექნილოგიური ციკლი არსებობს. კერძოდ, საშუალო-ნახშირბადიანი ფერომანგანუმის გამოდნობის ტექნილოგია კაზმში დაბალფოსფორიანი გადასამუშავებელი სილიკომანგანუმის ($P \leq 0,12\%$) გამოყენებას ითვალისწინებს, გადასამუშავებელი სილიკომანგანუმის წარმოება თავის მხრივ დაბალფოსფორიანი ($P \leq 0,02\%$) და მაღალმანგანუმიანი ($Mn\ 32-42\%$) წილების გამოყენებას ემყარება, რასაც ზ.ჯ.ქ-ში ნახშირბადიანი ფერომანგანუმის უფლუსო და საშუალონახშირბადიანი ფერომანგანუმის ნახევრადფლუსიანი დნობის მეთოდებით აღწევენ. აღნიშნული მეთოდებით დნობის განხორციელება თავის მხრივ კაზმში მანგანუმის მაღალი ხარისხის დეფიციტური ოქსიდური კონცენტრატების გამოყენებას ითვალისწინებს.

სილიკომანგანუმის გამოდნობის ტექნილოგიური პროცესი არის უწყვეტი. მისი მიღება ხორციელდება დიდი სიმძლავრის სამფაზა სწორგუთხა და მრგვალი ტიპის ელექტრორკალურ ღუმელებში (10,0-16,5-63-75 მვა), სადაც გამოყენებულია თვითცხობადი ნახშირის ელექტროდები. ღუმელის ქვედი და კედლები ამოგებულია ნახშირის ბლოკებით.

საკაზმე მასალებად გამოიყენება მანგანუმშემცველი პროდუქტი (მანგანუმის კონცენტრატი), კვარციტი, კოქსწვრილა, საჭიროების შემთხვევაში კირქვა ან დოლომიტი. სილიკომანგანუმში ფოსფორის შემცველობის შემცირების მიზნით, კაზმში იყენებენ დაბალფოსფორიან

გადასამუშავებელ წილებს ან მცირე ფოსფორიან საზღვარგარეთულ მაღნებს (ავსტრალია, გაბონი, განა...)

კაუმიწაშემცველ მასალად გამოიყენება 25-80 მმ სიმსხოს მქონე კვარციტი ($\text{SiO}_2 > 95\%$, $\text{Al}_2\text{O}_3 < 1,8\%$). საჭირო ფუძიანობის მისაღწევად და წილების ჩამოსაყალიბებლად კაზმში კირქვასაც ამატებენ (იმ ანგარიშით, რომ $(\text{CaO} + \text{MnO}) \% > 51,5\%$). კოქსის რაოდენობა ისე უნდა შეირჩეს, რომ **РПЗ-63** ღუმელისათვის $\text{C}_{\text{გ}}/\text{Mn}$ კაზმში 0,38-0,47 ზღვარში იცვლებოდეს, ხოლო **РК3-75** ტიპის ღუმელისათვის კი 0,38-0,4 დიაპაზონში მერყეობდეს.

სილიკომანგანუმის გამოდნობისას კაზმის მიწოდება ღუმელში უნდა იყოს თანაბარი, თაღის ქვეშ საკერძე აირის წევა **РПЗ-63** ტიპის ღუმელისათვის 1-3 პას უნდა შეადგენდეს, ხოლო **РКГ-75** ღუმელისათვის კი 20-50 პას. ამასთან თაღქვეშა აირის ტემპერატურა ამ ღუმელებისათვის შესაბამისად არ უნდა იყოს 400 და 200°C -ზე მეტი. საკერძე აირში (რომელიც 85%-მდე **CO**-შეიცავს), ქანგბადისა და წყალბადის შემცველობა 10 და 8%-ს არ უნდა აღემატებოდეს.

სილიკომანგანუმში ფოსფორის შემცველობის შემცირების მიზნით, კაზმში სხვადასხვა რაოდენობის დაბალფოსფორიან მანგანუმშემცველ მასალებს იყენებენ (ცხრილი 3).

(ცხრილი 3)

სხვადასხვა ფოსფორშემცველი სილიკომანგანუმის
კაზმის შედგენილობა, კგ

კაზმის კომპონენტები	ფოსფორის შემცველობა სილიკომანგანუმში, %				
	0,15	0,25	0,35	0,50	0,60
აგლომერატი AMHB--2	—	500	940	1370	1660
დაბალფოსფორიანი გადასამუშავებელი წილა (ШМП)	900	730	360	180	—
მანგანუმის მადანი (ავსტრალია)	680	400	340	140	—
კოქსი	310	310	320	320	320
კვარციტი	250	260	260	260	260
კირქვა	60	—	—	—	—
რკინის გუნდა	55	65	50	50	50
მანგანუმის მეორადი ნედლეული (ნარჩენები)	200	300	300	400	400

ნიშანდობლივია აღინიშნოს, რომ სილიკომანგანუმში
ფოსფორის შემცირებით (დაბალფოსფორიანი
გადასამუშავებელი წილის ხარჯის გაზრდით)
საგრძნობლად მატულობს ელექტროენერგიის ხარჯი,
წილის ჯერადობა და ეცემა მანგანუმის ამოკრეფა
(ცხრილი 4)

ცხრილი 4

სხვადასხვა ფოსფორშემცველი სილიკომანგანუმის
გამოდნობის ტექნიკურ-ეკონომიკური მაჩვენებლები

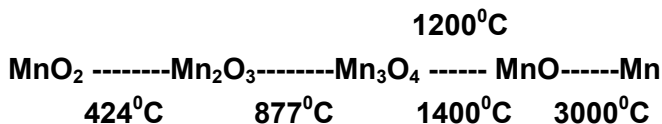
მონაცემები	ფოსფორის შემცველობა, %			
	0,20	0,35	0,50	0,60
ხვედრითი ხარჯი, კგ/ტ –მანგანუმის ნედლეული (48%Mn)	1843	1728	1700	1674
–კოქსი	415	425	410	395
–კვარციტი	285	333	305	294
–კირქვა	100	—	—	—
–ნარჩენები	163	234	251	217
–მანგანუმის მეორადი ნედლეული	—	208	194	153
–ელექტროდების მასა	28,5	24,6	24,2	24,0
ელექტროენერგია, კვტ.სთ/ტ	4191	4088	3930	3840
მანგანუმის შემცველობა წილაში, %	11,7	12,4	12,6	12,5
წილის ჯერადობა	1,6	1,5	1,4	1,3
ამოკრეფა	75,26	79,9	81,5	82,2

სილიკომანგანუმის გამოდნობის პროცესი ემყარება
ნახშირბადით მანგანუმის და სილიციუმის ერთდროულ
აღდგენას.

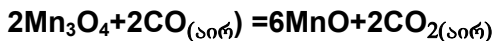
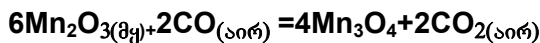
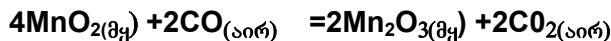
ნახშირბადიანი ფერომანგანუმის მსგავსად, სილიკო-
მანგანუმის გამოსადნობად განკუთვნილი კაზმიც მანგა-

ნუმს სხვადასხვა ოქსიდებისა და მინერალების სახით შეიცავს: პიროლუზიტი (MnO_2), ფსილომელანი ($\text{MnO} \cdot \text{MnO}_2 \cdot n\text{H}_2\text{O}$), მანგანიტი ($\text{MnO}_2 \cdot \text{Mn(OH)}_2$, ბრაონიტი ((Mn_2O_3) , ჰაუსმანიტი (Mn_3O_4), ტეფროიტი ($2\text{MnO} \cdot \text{SiO}_2$) და სხვა.

ღუმელში მოხვედრილი მანგანუმის ოქსიდები დისოცირდებიან (იხ. ნახშირბადიანი ფერომანგანუმის მიღება) შემდეგი სქემის მიხედვით:



მანგანუმის მაღალი ოქსიდები ადვილად აღსდგებიან **CO**-საშუალებით:



$$500\text{K}-ზე \lg K_{\text{MnO}_2} = 45,8$$

Mn₂O₃ -დან აღდგენა უფრო რთულად მიმდინარეობს ვიდრე **MnO₂** -დან, თუმცა 800 K-ზე

$$\lg K_{\text{Mn}_2\text{O}_3} = 22,81$$

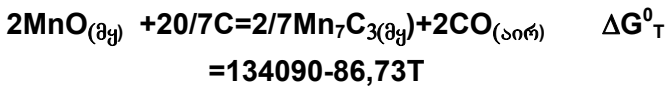
კიდევ უფრო ჭირს **Mn₃O₄** -დან აღდგენა, ამ
შემთხვევაში

$$\lg K_{\text{Mn}_3\text{O}_4} = 2,374$$

მანგანუმის ოქსიდები (**MnO₂**, **Mn₂O₃**, **Mn₃O₄**) 200-300°C ტემპერატურულ ინტერვალში ადვილად აღსდგება მყარი ნახშირბადით (იხ. ნახშირბადიანი ფერომანგანუმის გამოდნობა).

უნდა აღინიშნოს, რომ წვრილფრაქციული კაზმის შემთხვევაში 600-800°C ტემპერატურაზე მანგანუმის მაღალი ოქსიდები ადვილად აღსდგება **MnO**-მდე დუმელის ზედა ჰორიზონტში, თუმცა ნატეხოვანი კაზმის არსებობისას თავს იჩენს დიფუზიური სიძნეელები და **MnO**-მდე აღდგენა მხოლოდ დუმელის ქვედა ჰორიზონტშია შესაძლებელი.

მანგანუმის მაღალი ოქსიდებისაგან განსხვავებით **MnO**-ს აღდგენა მხოლოდ მყარი ნახშირბადითაა შესაძლებელი:



ამ რეაქციების დაწყების ტემპერატურა შესაბამისად შეაღენს 1401 და 1279°C-ს.

კარბიდამდე მანგანუმის ალლეგენის საწყისი თეორიული ტემპერატურა შემდეგი გამოსახულებიდანაც შეიძლება ვიანგარიშოთ:



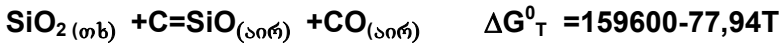
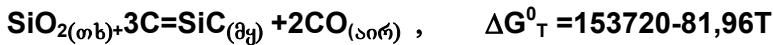
$$\text{როცა } \Delta G^{\circ}_T = 0 \quad T_{\text{დაწ}} = \frac{196293}{123} = 1597K(1324^{\circ}\text{C})$$

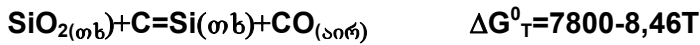
ნიშანდობლივია აღინიშნოს, რომ კაზმში რკინის არსებობა მკეთრად აუმჯობესებს ოქსიდებიდან მანგანუმის ალლეგენის პროცესს.

მანგანუმის ალლეგენასთან ერთად ასევე ალლეგება კვარციტში, მადანსა და კოქსწერილას ნაცარში არსებული სილიციუმი. დადგენილია, რომ კაჟმიწიდან სილიციუმის ალლეგენის პროცესში მიიღება შუალედური პროდუქტი--კარბორუნდი (SiC). და ადვილადაქროლადი სილიციუმის მონოკსიდი (SiO).



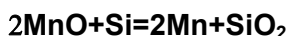
$$\text{როცა } P_{CO} = 1 \text{ atm} \quad T_{\text{დაწ}} = 1690^{\circ}\text{C}$$





ზემოაღნიშნული რეაქციებით მანგანუმისა და სილიციუმის აღდგენას ართულებს 1200°C ტემპერატურაზე წარმოქმნილი სილიკატები $(MnO)_2SiO_2$ და როდონიტი ($MnO \cdot SiO_2$).

აუცილებელია აღინიშნოს, ისიც რომ აღდგენილი მანგანუმი სილიციუმის მიმართ დამლექის ფუნქციას ასრულებს, რითაც აუმჯობესებს სილიციუმის აღდგენის პროცესს. თავის მხრივ აღდგენილი სილიციუმი მანგანუმის მონომეტანიაც რეაგირებს:



წონასწორობის მიღწევის ეს რეაქცია სილიკო-მანგანუმის შედგენილობასა და წილაში მაგანუმის შემცველობას განსაზღვრავს. წონასწორობის მუდმივას ამ რეაქციისათვის შემდეგი სახე ექნება:

$$[\text{Mn}]^2 \cdot (\text{SiO}_2)$$

$$K_{\text{Si-Mn}} = \frac{[\text{Mn}]^2 \cdot (\text{SiO}_2)}{(\text{MnO})^2 \cdot [\text{Si}]} ,$$

ამ გამოსახულებიდან

$$K_{\text{Si-Mn}} = \frac{[\text{Mn}]^2 \cdot (\text{SiO}_2)}{(\text{MnO})^2 \cdot [\text{Si}]} =$$

$$K_{\text{Si-Mn}} \cdot [\text{S}]$$

წონასწორობის მუდმივას გამოსახულებიდან

$$K_{\text{Si-Mn}} = \frac{[\text{Mn}]^2 \cdot (\text{SiO}_2)}{(\text{MnO})^2 \cdot [\text{Si}]} =$$

გამომდინარე

$$K_{\text{Si-Mn}} = \frac{[\text{Mn}]^2 \cdot (\text{SiO}_2)}{(\text{MnO})^2 \cdot [\text{Si}]} =$$

$$K_{\text{Si-Mn}} \cdot [\text{S}]$$

ე.ო. წიდაში მანგანუმის რაოდენობა ლითონში სილიციუმის შემცველობაზეა დამოკიდებული. კერძოდ, რაც უფრო დიდი პროცენტული რაოდენობითაა ლითონში სილიციუმი, მით უფრო მცირეა მანგანუმის რაოდენობა წიდაში. [მიუხედავად იმისა, რომ მანგანუმის აღდგენა უმეტეს წილად ნახშირბადის მეშვეობით ხორციელდება]. აღნიშნულს სტატისტიკური მონაცემებიც ადასტურებს.

კერძოდ, გადასამუშავებელი სილიკომანგანუმის (30% სილიციუმი) წიდა 5% მანგანუმს შეიცავს, ხოლო

სასაქონლო სილიკომანგანუმის (სილიციუმი 17%) წილაში კი მანგანუმის რაოდენობა 16-20% აღწევს.

MnO-Mn-SiO₂-Si-C სისტემაში წონასწორობა მყარდება მხოლოდ მაშინ, როდესაც წონასწორობაში მოვა შემდეგი რეაქციები:



$$K_{\text{Mn}} = \frac{[\text{Mn}]^2 \cdot \text{P}^2_{\text{CO}}}{(\text{MnO})^2 [\text{C}]^2}$$



$$K_{\text{Si}} = \frac{[\text{Si}] \cdot \text{P}^2_{\text{CO}}}{(\text{SiO}_2) \cdot [\text{C}]^2}$$

ამ რეაქციების წონასწორობისას აუცილებელია დამყარდეს წონასწორობა როგორც მათ შორის ასევე მანგანუმის სილიციუმით აღდგენის რეაქციას შორის. აღნიშნული მარტივი გარდაქმნითაც დასტურდება:

$$K_{\text{Mn}} [\text{C}]^2 (\text{MnO})^2 \quad K_{\text{Si}} (\text{SiO}_2) \cdot [\text{C}]^2 \\ \text{P}^2_{\text{CO}} = \frac{K_{\text{Mn}} [\text{C}]^2 (\text{MnO})^2}{[\text{Mn}]^2} = \frac{K_{\text{Si}} (\text{SiO}_2) \cdot [\text{C}]^2}{[\text{Si}]}$$

აქედან

$$\frac{K_{Mn}}{K_{Si}} = \frac{[Mn]^2 (SiO_2)}{(MnO)^2 [Si]}$$

მიღებული გამოსახულება იდენტურია K_{Si-Mn}
წონასწორობის გამოსახულების .

მანგანუმის ადდგენაზე სილიკაზე ნაერთების უარყოფითი ზეგავლენის შესამცირებლად კაზმი შეჰქავთ დოლომიტი ან კირქვა, რითაც ზრდიან **MnO**-ს აქტიობას:



აუცილებელია ადინიშნოს ისიც რომ მხოლოდ **MnO**-ს აქტიურობის გაზრდის თვალსაზრისით კაზმი ფლუსის ზომაზე მეტი რაოდენობა შეაფერხებს სილიციუმის აღდგენის პროცესს. დადგენილია, რომ 0,4-0,5 წილის ფუძიანობის **CaO+MgO** შემთხვევაში



ლითონში **Si-ის** 17% შემცველობისას, მანგანუმის გამოსავალი 3-8%-ით იზრდება, ხოლო წილის ფუძიანობის 1-მდე გაზრდით კი სილიციუმის რაოდენობა ლითონში მკვეთრად ეცემა.

ზემოაღნიშნული თერმოდინამიკური მონაცემებით მანგანუმის ადდგენა $1310-1420^{\circ}C$ ტემპერატურულ ინტერვალში მიმდინარეობს, ხოლო სილიციუმის $1690^{\circ}C$ -ზე, რაც იმაზე მიუთითებს, რომ **MnO-SiO₂** ოქსიდურ

სისტემაში მანგანუმი უფრო თოლად აღდგება ვიდრე სილიციუმი. აღნიშნულს პრაქტიკული შედეგებიც ადასტურებს.

ექსპერიმენტული გამოკვლევებით დადგინდა, რომ მანგანუმის სილიკატებიდან ჯერ ტეფროიტი აღდგება, ხოლო შემდეგ როდონიტი



გასათვალისწინებელია, რომ კაზმში ერთეულ მანგანუმზე მოსული კაჟმიწის დიდი რაოდენობა და სილიკატების არსებობა აფერხებს მანგანუმისა და სილიციუმის აღდგენის პროცესს.

ნიშანდობლივია, ისიც რომ 1400-1600°C ტემპერატურულ ინტერვალში კაზმში ტუბებიწა ლითონების (**Na₂O, K₂O**) განსაზღვრული რაოდენობა ამცირებს წილის სიბლანტეს და აჩქარებს აღდგენის პროცესებს. ამიტომ რეკომენდირებულია სილიკომანგანუმის გამოდნობისას კაზმში გამოყენებულ იქნას სხვადასხვა სახის ტუბები მიწა ლითონების შემცველი მასალები (პეგმატიტი, ნახშირის გამდიდრების ნარჩენები, ტუფი, ტრაქიტი, და ა.შ)

CMn17 მარკის გამოდნობისას მანგანუმის ამოკრეფა ლითონში 72-75% -ს შეადგენს, სილიციუმის 40-45%, ხოლო ფოსფორის 80-85% (იხ. ცხრ. 4)

ცხრილი 4

ელემენტების განაწილება სილიკომანგანუმის
გამოდნობისას

ელემენტი	გადადის,%		
	ლითონში	წილაში	ორთქლდება
Mn	75	17	8
Si	40	50	10
P	80	4	16

ლითონსა და წილას ღუმელიდან უშვებენ ორი საათის ინტერვალით კასკადურად განლაგებულ ციცხვებში. ლითონის ჩამოსხმას ახდენენ საჩამოსხმო მანქანაზე. მიღებული წილა (**Mn 13-15%, SiO₂ 47-40%, CaO 12-13%, Al₂O₃ 5-7%, MgO 2,9-3,1%, FeO 0,4-0,7%**, ფუძიანობა **0,34-0,6**, ჯერადობა **0,6-1,5**) მანგანუმის დაბალი შემცველობის გამო გამოუსადეგარია შემდგომი მეტალურგიული გადამუშავებისათვის. თუმცა უნდა აღინიშნოს, ისიც რომ მანგანუმის ამოკრეფის გაზრდის მიზნით სილიკომანგანუმის კაზში ამ წილებსაც იყენებენ. უკრაინელი სპეციალისტების მიერ, შემოთავაზებულია სილიკომანგანუმის გამოდნობის ორსაფეხურიანი მეთოდი, რომლის პირველი ეტაპი ფოსფორით სტანდარტული ლითონის მიღებას ითვალისწინებს, ხოლო მეორე ეტაპი კი კაზში მანგანუმშემცველ ერთ-ერთ მასალად დნობის პირველ ეტაპზე მიღებული გრანულირებული დამსხვრეული წილის გამოყენებას. პროცესის ნორმალური მსვლელობისათვის სასურველია კაზში

წილა აღმდგენელთან ერთად, წინასწარი დაბრიკეტების შემდეგ იქნეს გამოყენებული.

9.5 ლითონური მანგანუმის მიღვაის ჰაზრობია ელექტრომეტალურბიული მეთოდით

ტექნიკურად სუფთა მანგანუმს (95-99,8% Mn) ლითონურს უწოდებენ და მის მიღებას ელექტროსილიკოთერმული და ელექტროლიტური მეთოდებით ახდენენ. ზოგიერთ ქვეყანაში ლითონურ მანგანუმს ალუმინოთერმული პროცესითაც აწარმოებენ. ლითონური მანგანუმის შედგენლობა მოცემულია პირველ ცხრილში.

Mn₉₉₈ და **Mn₉₉₇** მარკებს ელექტროლიტური გზით დებულობენ, ხოლო **Mn 965** და **Mn 95**-ს სილიკოთერმულით.

ცხრილი 1
ლითონური მანგანუმის ქიმ.შედგენილობა % (ГОСТ
6008 - 10)

მარკა	მიღების მეთოდი	Mn არა ნაკლები	C	Si	P	S
			არა უმეტეს			
Mn 988	ელექტრო-	99,8	0,04	—	0,003	0,003
Mn 997	ლიტური	99,7	0,06	—	0,05	0,10
Mn 965	ელექტრო- თერმული	96,5	0,10	0,8	0,05	0,05
Mn 95		95,0	0,20	1,8	0,07	0,05

სილიკოთერმული გზით მანგანუმიანი ფეროშენადნობების მიღების ტექნოლოგია ემყარება გადასამუშა-

ვებელი სილიკომანგანუმის სილიციუმით მანგანუმის
მონოქსიდის (**MnO**) აღდგენას.

ლითონური მანგანუმის გამოდნობა სამი სტადიისაგან
შედგება:

1. – დაბალფოსფორიანი და მაღალმანგანუმიანი
გადასამუშავებელი წილის გამოდნობა,
2. – გადასამუშავებელი სილიკომანგანუმის
გამოდნობა,
3. – ლითონური მანგანუმის მიღება

დაბალფოსფორიანი და მაღალმანგანუმიანი წილის
მიღების პროცესი იგივეა რაც დეფოსფორაციის
მეტალურგიული მეთოდი და იგი ელექტროლუმელში
ნახშირბადით კონცენტრატში არსებული ფოსფორისა და
რკინის წინასწარ აღდგენას ემყარება. კერძოდ,
კონცენტრატს იმ რაოდენობის ნახშირბადაღმდგენელთან
ერთად აღნობენ, რომ მან სრულად აღადგინოს
კონცენტრატში არსებული ფოსფორი და მცირე
რაოდენობით მანგანუმი. ამ შემთხვევაში მანგანუმის
ძირითადი მასა წილაში რჩება, ხოლო აღდგენილი
ელემენტების ხარჯზე (**Fe, P, Mn**), ე.წ. „თანმყოლი“
ლითონი, კერძოდ კი ნახშირბადიანი ფერომანგანუმი
მიიღება (**Mn 45-55%, P 1,5-3%, Si 0,5%, C 2,8-3%**).

დეფოსფორაციის შემდეგ წილაში ფოსფორის მოდული
(**P/Mn**) არაუმეტეს **0,00038**-ს შეადგენს, რაც 10-ჯერ
უფრო მცირეა ჭიათურის უმაღლესი ხარისხის
კონცენტრატებში მის ანალოგიურ მაჩვენებელთან
შედარებით.

დაბალფოსფორიან გადასამუშავებელ წილაში
მანგანუმის შემცველობა წილაში არანაკლებ **45-47%-ს**
შეადგენს (**P≤0,013-0,017%**) და საკაზმე მასალად გამოი-
ყენება მხოლოდ უმაღლესი ხარისხის კონცენტრატები. ამ
ტექნოლოგიით მიღებული თანამდევი ლოთონი
ფოსფორის მაღალი შემცველობის გამო (**P 1-3%, Si
0,5% , Mn 45-55%**), არ არის ფართო გამოყენების.

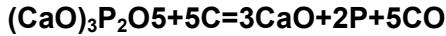
ამჟამინდელი ტექნოლოგიით მანგანუმის ამოკრეფის
გაზრდის მიზნით, გადასამუშავებელი წილის მისაღებად,
ჯერ გამოადნობენ ფერომანგანუმს **ΦMn 78 Β (0,7%-მდე
P)**, რომლის წილაში (**III M II-78**) (**Mn 36-38%, SiO₂ 20%**
და P 0,012) წარმატებით იყენებენ გადასამუშავებელი
სილიკომანგანუმისა და ლითონური მანგანუმის გამოსად-
ნობად. ადსანიშნავია, რომ ამგვარი ტექნოლოგიური
სქემით ზ.ფ.ქ.-ში წლების მანძილზე წარმატებით ახორ-
ციელებდნენ საშუალონახშირადიანი ფერომანგანუმისა
და გადასამუშავებელი სილიკომანგანუმის მიღებას.
დაბალფოსფორიანი გადასამუშავებელი წილების მიღებას
ახდენენ წყვეტილი და უწყვეტი პროცესით. წყვეტილი
პროცესით წილების მიღებას ახორციელებენ 5000 კვა
სიმძლავრის მაგნეზიტის აგურით ამოგებულ ღუმელებში.

წილების გამოდნობისას ფოსფორის აღდგენა ხდება იმ
ნაერთებიდან რომელსაც მანგანუმის კონცენტრატები
შეიცავს. 1000°C-ზე ზემოთ მიმდინარეობს შემდეგი
რეაქცია:



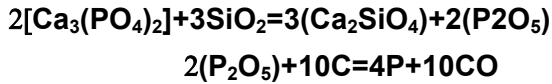


ხოლო 1100°C -ზე მაღლა კარგად ვითარდება კალციუმის ფოსფატებიდან ფოსფორის ალდგენის რეაქცია:



ალდგენილი ფოსფორი ან იხსნება ან ნაერთს წარმოქმნის ალდგენილ მანგანუმთან და რკინასთან, როთაც უმჯობესდება აპატიტიდან $[(\text{CaO})_3\text{P}_2\text{O}_5]$ ფოსფორის შემდგომი ალდგენა და დაბლა იწევს ალდგენის ტემპერატურაც.

კაზმში SiO_2 -ის არსებობა ხელს უწყობს ფოსფორის ალდგენას.



წიდაში ფოსფორი ლითონური ჩანართებითაც რჩება. ჩანართების შემცირებას წიდაში ხელს უწყობს წიდის სიბლანტის შემცირება, რაც თავის მხრივ დამოკიდებულია წიდის შედგენილობასა და მისი გახურების ხარისხზე. თუმცა როგორც პრაქტიკა აჩვენებს, წიდაში ფოსფორის მინიმალური

შემცველობისას წიდის ფუძიანობა (**CaO/SiO₂**) არ უნდა აღემატებოდეს 0,3-ს.

Mn-ის და **Fe**-ის აღდგენა იმ რეაქციებით მიმდინარეობს, რომელიც მოცემულია ნახშ.ფერომანგანუმისა და სილიკომანგანუმის გამოდნობის ტექნოლოგიაში.

გადასამუშავებელი წიდების **(III П M 45 და III П M 47)** გამოდნობისას ერთ ტონა წიდაზე დაახლოებით იხარჯება:

მანგანუმის კონცენტრატი (48)-----	1180 კგ
კოქსწვრილა-----	37 კგ
კვარციტი (წვრილფრაქციული)-----	87 კგ
სილიკომანგანუმის გადასაყრელი წიდა-----	90 კგ
ელექტროენერგია-----	1330 კვტ.სთ

მანგანუმის განაწილებას შემდეგი სახე აქვს:
ლითონში – **8%**, წიდაში – **86%**, ორთქლდება – **6%**.

როგორც წესი დაბალფოსფორიანი გადასამუშავებელი წიდების გამოდნობას ახორციელებენ პერიოდული პროცესით, რადგანაც უწყვეტი პროცესით დნობის შემთხვევაში მატულობს ფოსფორის შემცველობა წიდაში.

9.5.1 გადასამუშავებელი სილიკომანგანუმის გამოდნობა

გადასამუშავებელი სილიკომანგანუმს (ცხრილი2)
ჩვეულებრივად ფეროშენადნობების სადნობ ღუმელებში

ადნობენ. პროცესი ემყარება კაზმიდან მანგანუმისა და სილიკოუმის ადგენას. (იხ. სილიკომანგანუმის გამოდნობის ტექნოლოგია).

ცხრილი 2
გადასამუშავებელი სილიკომანგანუმის ქიმ.
შემცველობა, %

სილიკომანგანუმის მარკა	Si არანაკლები	C	P არაუმეტეს	Fe
C Mn Π-Β	28	0,05	0,050	2,0
C Mn Π-1	28	0,07	0,050	2,3
C Mn Π-2	27	0,15	0,070	2,8

საკაზმე მასალებად გამოიყენება დაბალფოსფორიანი გადასამუშავებელი წილა, კვარციტი და კოქსი. გამოდნობის პროცესი არის უწყვეტი, ხოლო ლითონისა და წილის გამოშვება კი პერიოდული. გადასამუშავებელი სილიკომანგანუმს ადნობენ 5 მვტ სიმძლავრის ელექტრო ღუმელში. მცირე რკინაშემცველი სილიკომანგანუმის გამოსაღნობად გამოიყენება 450 მმ დიამეტრის მქონე გრაფიტის ელექტროდები. შენადნში გადადის **83,7% Mn** და **60% Si**.

კაზმი შედგება 800კგ დაბალფოსფორიანი წილისგან, 270-280კგ კვარციტისა და 340-360 კგ კოქსწვრილასაგან.

ნახშირბადის შემცველობა გადასამუშავებელ სილიკომანგანუმში (**Si 27-29%**) შეადგენს 0,08-0,1%-ს, ხოლო

მიღებული წიდა შემდეგი ქიმიური შედგენილობით
ხასიათდება:

Mn 8,6%, CaO 18,8%, MgO 10,0%, SiO₂ 46,8%, Al₂O₃ 9,9%, P 0,002%, S 1,7%. წიდის ჯერადობა 0,8-1 ზღვრებში
მერყეობს.

9.5.2 ლითონური მანგანუმის გამოდენა

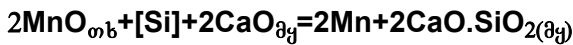
ლითონური მანგანუმის გამოდნობას ახდენენ 5 და 7
მვა სიმძლავრის დია და დასახრელი ტიპის ღუმელებში,
რომლებიც მაგნეზიტის ცეცხლგამძლე აგურებითაა
ამოგებული. ფლუსად გამოიყენება კირი (93,2% CaO),
ხოლო ალმდგენელად გადასამუშავებელი სილიკომან-
განუმი.

ლითონური მანგანუმის გამოდნობა პირობითად
შეიძლება შემდეგ პერიოდებად დაიყოს: ღუმელის
შეკეთება, სილიკომანგანუმის ჩატვირთვა (მთლიანი
რაოდენობის 1/3), თხევადი წიდის ჩასხმა, კირის ჩაყრა,
კაზმის გადნობა, დარჩენილი სილიკომანგანუმის (2/3
მთლიანი რაოდენობის) ჩატვირთვა, კაზმის მთლიანი
გადნობა და თხევადი აბაზანის არევა (პაერის
საშუალებით) სილიციუმის სტანდარტულ ნიშნულამდე
ჩამოყვანის მიზნით. დნობის ხანგრძლივობა 3-3,5 საათს
შეადგენს.

MnO-ს სილიკომანგანუმის სილიციუმით აღდგენა
შეიძლება შემდეგი რეაქციით წარმოვსახოთ:



კაზმში **CaO**-ს არსებობა აუმჯობესებს მანგანუმის აღდგენის თერმოდინანიკურ პირობებს და ხელს უწყობს ლითონის გამოსავლის გაზრდას.



$$\Delta G^{\circ}_{1500-1600} \text{ c} = 18480 + 86,47T$$

გარდა ამისა, **MnO-SiO₂** სისტემაში **CaO**-ს დამატებით იზრდება **Mn**-ის **Si**-ით აღდგენის თბური ეფექტი.

ერთი ტონა ლითონური მანგანუმის მისაღებად იხარჯება:

გადასამუშავებელი წილი (48%)	-----	2087 კგ
გადასამუშავებელი სილიკომანგანუმი	-----	650 კგ
კირქვა	-----	1631 კგ
ელ.ენერგია	-----	2590 კვტ.სთ

ლითონური მანგანუმის გამოდნობისას მიღებული გადასაყრელი წილი (**Mn 13,7-14,6%, SiO₂ 29,9-29%, CaO 44,2-45,4%, MgO 3,0-3,3%, Al₂O₃ 1,8-3,5%, FeO 0,15-0,20%, P 0,003-0,005%, C 0,17-0,23, S 0,08-0,34%**) გაციებისას 12%-ით მატულობს მოცულობაში და β **2CaO.SiO₂**-ის γ **2CaO.SiO₂** გადასვლის შედეგად წვრილდისპერსიულ ფხვნილად იქცევა.

აუცილებელია აღინიშნოს, რომ ლითონური მანგანუმის მიღებისას დიდია მანგანუმის დანაკარგი წილი, რის გამოც მანგანუმის ამოკრეფა ლითონზე 50-52%-ს არ აღემატება, რაც ელექტროენერგიის ხარჯისა და თვითდირებულების გაზრდის მიზეზი ხდება.

9.6 საშუალო და მცირე ნახშირბადიანი ჰერომანგანუმის გამოდიობა

საშუალო და მცირე ნახშირბადიანი ფერომანგანუმის ქიმიური შედგენილობა მოცემულია მე-3 და მე-4 ცხრილში.

ცხრილი 3
მცირე და საშ. ნახშ. ფერომანგანუმის ქიმ.
შედგენილობა, %

მ ა რ კ ა	Mn არა ნაკლები	C	Si	P	S
		არა უმეტესი			
მცირე ნახშირბადიანი ფერომანგანუმი					
Φ Mn 0,5	85	0,5	2,0	0,30	0,03
საშუალონახშირბადიანი ფერომანგანუმი					
Φ Mn 1,0 A	85	1,0	1,5	0,10	0,03
Φ Mn 1,0	85	1,0	2,0	0,30	0,03
Φ Mn 1,5	85	1,5	2,5	0,30	0,03
Φ Mn 2,0	75	2,0	2,0	0,35	0,03

მარკა	Mn	C	Si	S	P	
					A-ჯგ	B-ჯგ
Φ Mn 90 მცირე ნახშ.	85-95	$\leq 0,5$	$\leq 1,8$	$\leq 0,02$	$\leq 0,05$	$\leq 0,3$
Φ Mn 88 საშ.ნახშ.	85-95	$\leq 0,2$	$\leq 3,0$	$\leq 0,02$	$\leq 0,10$	$\leq 0,4$

საშუალონახშირბადიანი ფერომანგანუმის მიღების პროცესი ანალოგიურია ლითონური მანგანუმის გამოდნობის პროცესის, ე.ი. ემყარება სილიციუმით მანგანუმის ადგენას. კაზმში გამოიყენება ნახშირბადიანი ფერომანგანუმის უფლუსო მეთოდით გამოდნობისას მიღებული დაბალფოსფორიანი გადასამუშავებელი წიდა, (ან მანგანუმის კონცენტრატი), გადასამუშავებელი სილიკომანგანუმი (**CMn 17, CMn 20**) და კირი. მაღალფოსფორიანი ლითონის მიღებისას შესაძლებელია გადასამუშავებელი წიდა მანგანუმის მაღალი ხარისხის კონცენტრატით შეიცვალოს. გამოდნობის ტექნოლოგიური მაჩვენებლები მე-5 და მე-6 ცხრილშია მოცემული.

მე-6 ცხრილის მონაცემებიდან გამომდინარე საშ. ნახშირბადიან ფერომანგანუმში ფოსფორის შემცირებასთან ერთად მანგანუმის ამოკრეფა 63,2%-დან 57,1%-მდე მცირდება, ხოლო ელექტროენერგიის ხარჯი კი 32,2%-ით იზრდება.

აუცილებელია აღინიშნოს, რომ ზ.ფ.ქ. საშ.ნახ. ფერომანგანუმის გამოდნობის ტრადიციული ტექნოლო-

გიური სქემა არსებობს. კერძოდ, გამოდნობის პროცესი არის ნახვვად ფლუსიანი და წიდაში მანგანუმის შემცველობა 32-34%-ს აღწევს. ასეთი წიდა როგორც მცირე ფოსფორშემცველი ($P \leq 0,012\%$) მასალა წარმატებით გამოიყენება დაბალფოსფორიანი სილიკომანგანუმის გამოსადნობად.

ცხრილი 5

საშუალონახშ. ფერომანგანუმის გამოდნობის
ტექნოლოგიური მაჩვენებლები წიდისა (1) და
კონცენტრატის (I ხ) გამოყენებისას

დ ა ს ა ხ ე ლ ე ბ ა	ვარიანტი	
	1	2
მასალების ხარჯი, კგ/ბ.ტ.		
სილიკომანგანუმის ანაცერი (MC17)	1395	1500
გადასამუშავებელი წიდა შმპ -78	1115	—
ოქსიდური კონცენტრატი Iხ	—	850
ჯამში მანგანუმშემცველი მასალა (48%)	2510	2350
კირი	950	640
ელექტროენერგია, კვტ.სთ/ბ.ტ.	2550	1530
Mi-ის შემცველობა წიდაში, %	13,5	13,2
წიდის ჯერადობა	2,25	1,7
მანგანუმის ამოკრეფა, %		
ლითონში	66,5	70,9
წიდაში	21,4	14,7
ნარჩენებში	3,0	3,1
აორთქლდა	9,1	11,3

ცხრილი 6

საშ.ნახშ. ფერომანგანუმის გამოდნობის
ტექნოლოგიური მაჩვენებლები (ფოსფორის სხვადასხვა
შემცველობისას)

მ ო ნ ა ც ე მ თ ი	ΦMn 88 P40	ΦMn 88 P30	ΦMn 88 P10
ღუმელის ფაქტიური სიმძლავრე, კგ·ტ·	2958	2565	2899
მასალების ხარჯი, კგ/ტ-ზე სასაქონლო სილიკომანგანუმი	773	440	—
დაბალფოსფორიანი წილი(48% Mn) გადასამუშავებელი სილიკომანგანუმი	1558	1800	1970
კ ი რ ი	169	235	692
გრაფიტის ელექტროდი მაგნეზიტის აგური	1204	1230	1670
ელ.ენერგია, კვტ.სთ/ტ	12,1	13,9	12,5
მანგანუმის ამოკრეფა, %	70,0	76,0	70,3
ელ. ენერგიის სრული ხარჯი, კვტ.სთ/ტ	1971	2265	2606
მანგანუმის ამოკრეფა, %	63,2	61,1	57,1
ელ. ენერგიის სრული ხარჯი, კვტ.სთ/ტ	9161	8748	10999

ზ.ფ.ქ.-ის პირობებში საშ. ნახშ. ფერომანგანუმის
გამოდნობის ტექნოლოგიური მაჩვენებლები მე-7
ცხრილშია მოცემული.

ცხრილი 7

ზ.ფ.ქ.-ში საშ. ნახ. ფერომანგანუმის გამოდნობის
ტექნოლოგიური მაჩვენებლები

მ ა ჩ ვ ე ნ ე ბ ე ლ ი	არსებული ტექნოლოგიით
მასალების ხარჯი 1 ტ. ბ.კგ გადასამუშავებელი სილიკონმანგანუმი	1076
მანგანუმის კონცენტრატი კ ი რ ი	1595
ელ. ენერგია კპტ.სთ/ტ	494
ელ. ენერგია კპტ.სთ/ტ	1510
მანგანუმის ამოკრეფა ლითონში	54,4
წილაში	36,8
ორთქლდება	8,8
დუმელის დღელამური წარმადობა, ტ	37,54
მანგანუმის ამოკრეფა კონცენტრატიდან % სილიციუმის გამოყენება, %	12,4 53,5

10. სილიციუმისა და ზეროსილიციუმის მიღების ტექნოლოგია

სილიციუმი ლითონური ელვარების სალი და მყიფე არალითონია. იგი ხასიათდება შემდეგი ფიზიკო-ქიმიური თვისებებით:

ატომური წონა ————— 28,086

სიმკვრივე (20°C) ————— 2370 $\text{კგ}/\text{მ}^3$

ვალენტობა ————— 2; 4

დნობის ტემპერატურა — 1414 $^{\circ}\text{C}$

დუღილის ტემპერატურა — 2287 $^{\circ}\text{C}$

არსებობს სილიციუმის ორი ალოტროპული ფორმა, ამორფული (შავი ფერის დენგაუმტარი) და კრისტალური (ფოლადის ფერი, დენგამტარი).

სილიციუმს ჟანგბადთან მაღალი მიღრეცილება აქვს და მასთან მყარ ოქსიდსა (SiO_2) და არამდგრად მაღალტემპერატურულ ფორმას — SiO (სილიციუმის მონოქსიდი) წარმოქმნის.

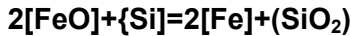
კაუმიწის (SiO_2) კრისტალური და ამორფული ფორმა არსებობს. გახურებით კაუმიწის სამი მოდიფიკაცია (კვარციტი, ტრიდიმიტი, კრისტობალიტი) გახურებით ერთმანეთში გადადის

კვარციტი $\alpha \rightarrow$ კვარციტი $\beta \rightarrow$ ტრიდიმიტი \rightarrow კრისტობალიტი

მყარია 570 $^{\circ}\text{C}$ -მდე 870 $^{\circ}\text{C}$ -მდე 1470 $^{\circ}\text{C}$ -მდე 1713 $^{\circ}\text{C}$ - მდე

SiO_2 -ის დნობის ტემპერატურაა 1713 $^{\circ}\text{C}$

სილიციუმს ფართოდ იყენებენ ფოლადის განუანგებისა და



ლეგირებისათვის. ფოლადში 1,3-2% სილიციუმის დამატებით იზრდება ფოლადის დრეკადობა და დენადობის ზღვარი.

ფერად მეტალურგიაში სილიციუმი ბრინჯაოს, (Si 5%-მდე), თითბერის, სილუმინისა (11 %-მდე Si) და სხვადასხვა ლიგატურების წარმოებაში გამოიყენება. სილიციუმის მნიშვნელოვანი ნაწილი ხმარდება ქიმიურ და ელექტროტექნიკურ წარმოებას (ნახევარგამტარული მასალების მისაღებად), ასევე იგი შეიძლება გამოყენებულ იქნას წყალბადისა



და მაღნების გამდიდრებისთვის მძიმე სითხეების მისაღებად. ფეროსილიციუმი რკინა-სილიციუმის შენადნობის ფართო ჯგუფს განეკუთვნება. ГОСТ 1415-78 (ცვლილებით №3 1988) მიხედვით ფეროსილიციუმი შეიძლება 20 სხვადასხვა მარკის გამოდნეს, რომელთაგანაც თითოეულ მაღანს სპეციალური დანიშნულება გააჩნია (ცხრილი 1).

უკრაინის სტანდარტის DCTU 4127-2002 (ცხრილი 2) მიხედვით ფეროსილიციუმი შეიძლება იწარმოოს 9 მარკის, რომლებიც თავისი ქიმიური შედგენილობით თითქმის შეესატყვისება საერთაშორისო სტანდარტის მოთხოვნებს (ISO 5445. 1980)

Հերոցո 1

ՑԱՐՈՍԻԾՈՅՑՈՒՄՈՅԻ ՀԻմույրո ՄԵՋՃԵԲՈԼՈՅԾԱ

(ГОСТ 1415 - 78 Յալուղյան №3 01.07.88)

Թարգա	Si	C	S	P	Al	Mn	Cr	Ti	Cs
		Ճ	Թ	Ջ	Ձ	Յ	Ց	Ե	
1	2	3	4	5	6	7	8	9	10
ՓС 92	արանայլյած 92	—	0,02	0,03	2,5	0,2	0,2	—	0,5
ՓС 90	արանայլյած 89	—	0,02	0,03	3,5	0,2	0,2	—	—
ՓС 90Ա2,5	արանայլյած 89	0,1	0,02	0,03	2,5	0,2	0,2	—	—
ՓС 75	74-քան 80-մքյ	—	0,02	0,05	—	0,4	0,4	—	—
ՓС 75Ա2,5	74-քան 80-մքյ	—	0,02	0,05	2,5	0,4	0,3	—	—
ՓС 75 (լ)	74-քան 80-մքյ	0,1	0,02	0,04	1,5	0,3	0,3	—	—
ՓС 75(ըլ)	74-քան 80-մքյ	0,1	0,02	0,04	0,1	0,3	0,2	0,05	0,1
ՓС 70 ՓС 70Ա1(ըլ)	68-74 68-74	— 0,1	0,02 0,02	0,05 0,04	2,0 1,0	0,4 0,3	0,4 0,3	— 0,1	— —
ՓС 70(ըլ)	68-74	0,1	0,02	0,04	0,1	0,3	0,3	0,04	0,1
ՓС 65	63-68	—	0,02	0,05	2,5	0,4	0,4	—	—
ՓС 65Ա2	63-68	—	0,02	0,05	2,0	0,4	0,4	—	—
ՓС 65(լ)	63-68	0,1	0,02	0,04	1,6	0,4	0,4	—	—
ՓС 65(ըլ)	63-68	0,1	0,02	0,04	1,2	0,3	0,3	0,05	0,5
ՓС 45	41-47	—	0,02	0,05	2,0	0,6	0,5	—	—
ՓС 45(լ)	41-47	0,2	0,02	0,05	1,5	0,6	0,5	—	—
ՓС 25	23-27	0,6	0,02	0,06	1,0	0,8	1,0	—	—
ՓС 25Ս0,8	23-27	0,8	0,02	0,06	1,0	0,9	1,0	—	—
ՓС 20	20-23	1,0	0,02	0,10	1,0	1,0	—	—	—
ՓС 20 (լ)	19-23	1,0	0,02	0,20	1,0	1,0	0,3	—	—

შენიშვნა, სილიციუმის მარკაში „ ლ" მიაწუმებს, რომ
ასეთი მარკა განკუთვნილია სამსხმელო წარმოებისთვის,
ხოლო „ ელ" მარკა განკუთვნილია ელექტროტექნიკური
ფოლადისთვის.

ცხრილი 2

ფეროსილიციუმის ქიმიური შედგენილობა

(CTU 4127 - 2002)

მარკა	სილიციუმი	C	S	P	Al	Mn	Cr
		ა	რ	ა	ჟ	ზ	ს
ФС 90	87 - 95	0,2	0,02	0,04	3,5	0,5	0,2
ФС 75	74 - 80	0,2	0,02	0,05	3,0	0,5	0,5
ФС 70	68 - 74	0,2	0,02	0,05	2,5	0,5	0,5
ФС 65	63 - 68	0,2	0,02	0,05	2,5	0,5	0,5
ФС 45	41 - 47	0,2	0,02	0,05	2,0	1,0	0,5
ФС 25	23 - 29	0,8	0,02	0,10	1,0	1,0	0,8
ФС 20	19 - 23	1,0	0,02	0,10	1,0	1,0	0,8
ФС 15	14 - 19	1,5	0,02	0,15	1,0	1,5	0,8
ФС 10	8 - 14	2,0	0,02	0,15	0,2	3,0	0,8

ცხრილი 3

ფეროსილიციუმის ქიმიური შედგენილობა

მ ა რ კ ა	ქიმიური შედგენილობა %									
	Si		Al		P	S	C	Mn	Cr	Ti
	არა ნატექტი	ჩათვლით	არა ნატექტი	ჩათვლით	ა რ ა უ მ ე ტ ე ს					
FeSi 10	8,0	13,0	_	0,2	0,15	0,06	2,0	3,0	0,8	0,30
FeSi 15	14,0	20,0	_	1,0	0,15	0,06	1,5	1,5	0,8	0,30
FeSi 25	20,0	30,0	_	1,5	0,15	0,06	1,0	1,0	0,8	0,30
FeSi 45	41,0	47,0	_	2,0	0,05	0,05	0,20	1,0	0,5	0,30
FeSi 50	47,0	51,0	_	1,5	0,05	0,05	0,20	0,8	0,5	0,30
FeSi 65	63,0	68,0	_	2,0	0,05	0,04	0,20	0,4	0,4	0,30
FeSi 75 A 11	72,0	80,0	_	1,0	0,05	0,04	0,15	0,5	0,3	0,20
FeSi75A11,5	72,0	80,0	1,0	1,5	0,05	0,04	0,15	0,5	0,3	0,20
FeSi 75 A 12	72,0	80,0	1,5	2,0	0,05	0,04	0,20	0,5	0,3	0,30
FeSi 75 A 13	72,0	80,0	2,0	3,0	0,05	0,04	0,20	0,5	0,5	0,30
FeSi 90 A 11	87,0	95,0	_	1,5	0,04	0,04	0,15	0,5	0,2	0,30
FeSi 90 A 12	87,0	95,0	1,5	3,0	0,04	0,04	0,15	0,5	0,2	0,30

Fe - Si სისტემაში სხვადასხვა სახის სილიციდები
არსებობს:

Fe_3Si (14,28% Si), Fe_2Si (20,0% Si), Fe_5Si_3 (23,18% Si),
 FeSi (33,46% Si) და FeSi_2 (50,15% Si).

Fe - Si სისტემის შენადნში სილიციუმის კონცენტრაციის გაზრდასთან ერთად მისი აქტიურობაც იზრდება.

სპეციალისტების მიერ გაანგარიშებულია რკინის სილიციდების წარმოქმნის ჯიბსის ენერგია ($\text{J}/\text{მლი}^3$) :

$$\Delta G^\circ_T (\text{Fe}_2\text{Si}) = -129028 + 2,52T$$

$$\Delta G^\circ_T (\text{FeSi}) = -163132 + 1,79T$$

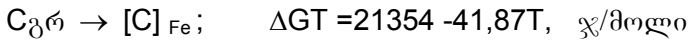
$$\Delta G^\circ_T (\text{FeSi}_2) = -121842 + 7,18T$$

დადგენილია, რომ რკინასთან სილიციუმი თერმოდინამიკურად მყარ ნაერთს (სილიციდები მყარ მდგომარეობაში) და ასოციატებს (თხევად მდგომარეობაში) წარმოქმნის, რომელსაც თან ახლავს ფეროსილიციუმის წარმოებისას სილიციუმის აქტიურობის შემცირება. რკინის თანაობისას უმჯობესდება კაუმიწიდან ნახშირბადით სილიციუმის აღდგენის თერმოდინამიკური პირობები.

Fe -Si - C სისტემაში ნახშირბადის ხსნადობა სუფთა რკინაში ტემპერატურაზე დამოკიდებული:

$$[\% \text{ C}]_{\text{Fe}} = 1,30 + 2,5 \cdot 10^3 t, {}^\circ\text{C}$$

რკინაში გრაფიტის ხსნადობის პროცესის ამსახველ
ჯიბის ენერგიის ცვლილებას შემდეგი სახე აქვს:



რკინა ნახშირბადიან შენადნობში სილიციუმის
დამატება აფერხებს ნახშირბადის ხსნადობას, რასაც
ფეროსილიციუმის მარკების შედარებაც ადასტურებს.

10.1 ნახშირბადით სილიციუმის აღდგენის პროცესის თეორიული საფუძვლები

ფეროსილიციუმი მიიღება კვარციტში შემავალი
სილიციუმის ნახშირბადით ალდგენით (რკინის
ბურბუშელას თანაობისას). კაზმში რკინის
ოქსიდებშემცველი მასალების (მადანი, აგლომერატი,
გუნდა) ნაცვლად, ბურბუშელის გამოყენება
განპირობებულია იმით, რომ რკინის ოქსიდებს დაბალ
ტემპერატურაზე უნარი შესწევს SiO_2 -თან წარმოქმნას
სილიკატური ნალღობები. სილიციუმის ნახშირბადით
აღდგენის საწყისი თეორიული ტემპერატურა (როცა
 $\Delta G_T=0$) რეაქციისათვის



ტოლია $1669^{\circ}C$ -ის, ხოლო $FeO + SiO_2$ ნაერთის
ეგთევთიკური ტემპერატურა $1178^{\circ}C$ -ს შეადგენს. დუმელის

აბაზანაში სილიკატური ნალღობის წარმოქმნით
მკვეთრად მცირდება კაზმის კუთრი ელექტროჭინადობა,
ხდება კომპონენტების განშრევება და სილიკატური
წილის დაგროვება, რაც ღუმელის ტექნოლოგიური
რეჟიმის არევას იწვევს.

ნახშირბადით სილიციუმის აღდგენისას, თუ
ჩავთვლით, რომ კონდენსირებული ფაზა SiO_2 , C და SiC -
სგან შედგება, სუფთა სილიციუმის ნაცვლად გვაქვს
მისი ხსნარი რკინაში $[\text{Si}]Fe$ და აირადი ფაზა SiO და CO -
სგან არის წარმოდგენილი, მაშინ $\text{Fe} - \text{Si} - \text{O} - \text{C}$
სისტემაში ფაზური წონასწორობის ანალიზისთვის
საჭირო მარტივი რეაქციების კომპლექსს შემდეგი სახე
შეიძლება ჰქონდეს :

1. SiO_2 -დან ნახშირბადით SiO აირ-მდე აღდგენა :



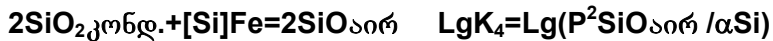
2. კაჟმიწის აღდგენა SiO აირ-მდე SiC -თი :



3. SiO -ს აღდგენა SiC -ს ნახშირბადით:



4. SiO_2 -ის ურთიერთობა $[\text{Si}]Fe$ -თან SiO აირ-ის
წარმოქმნით:



6. $\text{SiO}_{\text{აირ}}$ -დან Si -ის აღდგენა Si -ის რკინაში ხსნადობით.

ამრიგად Fe-Si-O-C სისტემაში ფაზური წონასწორობის ანალიზისათვის, რომელიც ითვალისწინებს სილიციუმის რკინაში Si კონცენტრაციის ხსნადობას, აუცილებელია არსებობდეს მონაცემები სილიციუმის აქტიურობის ცვლილებისა ნახშირბადით გაჯერებულ Fe - Si - C გაკ შენადნში.

10.2 ვეროსილიციუმის გამოსაღებები ელექტროლუმეტრის ელექტრული მახასიათებლები

მაღანადდგენითი ელექტროლუმელები ფოლადსადნობი დუმელისაგან განსხვავებით დუმელის ტრანსფორმატორის სიმძლავრით ხასიათდება.

ფეროშენადნობების რკალური დუმელის სასარგებლო სიმძლავრე (P_b) შეიძლება გამოითვალოს შემდეგი გამოსახულებით:

$$P_b = (GW) / (365 \cdot 24 K \cdot \varphi \cdot K_m), \quad \text{სადაც}$$

G – მოცემული ღუმელის წარმადობაა ტ/წელიწადში,

W – ფეროჟენადნობების გამოსაღნობად საჭირო ელექტროენერგიის ხვედრითი ხარჯი კვტ.სთ/წელიწადში

365 · 24 – საათების რაოდენობა წელიწადში, სთ

K დრ. – კალენდარული დროის გამოყენების პოეფიციენტი

$$(K \text{ დრ} \approx 0,08 - 0,95)$$

Kმაქს – ღუმელის მაქსიმალური სიმძლავრის გამოყენების პოეფიციენტი.

ღუმელის ტრანსფორმატორის საპასპორტო სიმძლავრეს ნომინალურს უწოდებენ (Sნომ). ღუმელის ტრანსფორმატორის სრული სამუშაო სიმძლავრე $S=3 \cdot I_{\text{ელ}}$. ე მკებავი ქსელის დატვირთვის მახასიათებელია. ღუმელის აბაზანაში მიწოდებულ სიმძლავრეს აქტიურ სიმძლავრეს უწოდებენ (Pა). აქტიური სიმძლავრე ყოველთვის ჩამორჩება სრულ სამუშაო სიმძლავრეს და $\text{COS}\varphi$ მით უფრო ნაკლებია, რაც უფრო დიდია ღუმელის ტრანსფორმატორის ნომინალური სიმძლავრე და შესაბამისად ღუმელის აბაზანის გეომეტრიული პარამეტრები: ელექტროდების დიამეტრი (Dელ), ღუმელის აბაზანის დიამეტრი (Dაბ), აბაზანის სიმაღლე (hაბ) და სხვა.

10.3 ფეროსილიციუმის გამოდებისა და ჩამოსხმის ფეროლობია

ფეროსილიციუმის სხვადასხვა სიმძლავრის (22,5–63 მგა) (ცხრ.1), მაღანადდგენით დუმელებში აღნობენ.

საკაზმე მასალად გამოიყენება კვარციტი ($\text{SiO}_2 \geq 97\%$, $\text{Al}_2\text{O}_3 \leq 1,5\%$ ფრაქცია 20–80 მმ), კაზმში გამოყენებამდე იგი წინასწარ მომზადებას გადის (გარეცხვა, დამსხვრევა და დახარისხება).

ცხრილი 1

ფეროსილიციუმის გამოსადნობი დახურული
მაღანადდგენითი დუმელების პარამეტრები

პ ა რ ა მ ე ტ რ ე ბ ი	PK3 - 27	PK3 - 33	PK3 - 63
აბაზანის სიღრმე, მმ	2900	3500	5000
აბაზანის დიამეტრი, მმ	6800	8700	11600
ელექტროდების დიამეტრი მმ	1400	1500	1900
მაღალი მხარის ძაბვა, კვ	10	110	220
ტრანსფრმატორის სამუშაო საფეხურის ნომინალური ძაბვა , კ	188	224	268,8
სრული სიმძლავრე, მგა	22,6	40	80
ელექტროდებზე დენი, კა	84,6	103	171,8
სასარგებლო ძაბვა, კ	92,4	109	128,3
სიმძლავრე უПК , მგა	14,0	22,4	82,5
სიმძლავრის კოეფიციენტი: ფაქტიური	0,70	0,65	0,50
ელექტრო მ.ქ.ქ.	0,908	0,915	0,892

აღმდგენელად ძირითადად იყენებენ მეტალურგიულ კოქსს (ფრაქცია 5–20 მმ). აღმდგენელს უნდა ჰქონდეს მუდმივი სინესტე, მაღალი ელექტროწინაღობა და სილიციუმის ოქსიდის მიმართ აღდგენის მაღალი უნარი.

ფეროსილიციუმის გამოსაღნობი ღუმელი, როგორც მძლავრი ელექტრომიმდები, მთლიანად ემორჩილება ელექტრო გამტარის კანონზომიერებას. რაც უფრო დიდია ღუმელის აბაზანა, მით უფრო დაბალია მისი აქტიური ელექტრო წინაღობა.

რამდენადაც მაღანაღდგენითი ღუმელის ელექტრული და გეომეტრიული პარამეტრები ურთიერთკავშირშია, პროცესის რეგულირების განმსაზღვრელი არის ელექტროდების კაზმში ჩაჯდომის სიღრმე, რომელიც რეგულირდება ძაბვის საფეხურის გადართვით და კაზმის შედგენილობის ცვლილებით. ასე მაგალითად, კაზმში ნახშირბადაღმდგენელის სიჭარბე ამცირებს აბაზანის ელექტროწინაღობას, რის შედეგადაც ელექტროდები მაღლა იწევს და მათი კაზმში ჩაჯდომის სიღრმე კლებულობს. კაზმში აღმდგენელის ნაკლებობა, პირიქით ზრდის აბაზანის ალექტროწინაღობას, რის გამოც ელექტროდები დაბლა იწევს და კაზმში ელექტროდების ჩაჯდომის სიღრმეც იზრდება. ელექტროდების ჩაჯდომის ოპტიმალური სიღრმედან გადახვევა ღუმელის მუშაობის რეჟიმის დარღვევაზე მიუთითებს და საჭირო ხდება აუცილებელი ზომების გატარება.

ფეროსილიციუმის გამოღნობა უწიდო პროცესია, თუმცა წილის რაოდენობა მთლიანი რაოდენობის 3–5%-

ს მაინც აღწევს. აღნიშნული წიდა ჰეტეროგენული ფაზისგან შედგება და შემდეგი ქიმიური შედგენილობით ხასიათდება:

48 -50% SiO₂, 20 -25% Al₂O₃, 15 -18% CaO, 10 -15% SiC.

ფეროსილიციუმის გამოშვების რიცხოვნობას განსაზღვრავს ერთ ტონა შენადნობზე დახარჯული ელექტროენერგიის რაოდენობა, რომელიც თავის მხრივ დამოკიდებულია გამოსადნობი ფეროსილიციუმის მარკაზე:

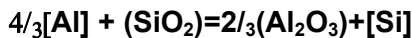
ფეროსილიციუმის მარკა	ΦC 20	ΦC 25	ΦC 45	ΦC 65	ΦC 75
ელექტროენერგიის ხვედრითი ხარჯი კვტ.სთ/ტ	2180	2820	4700 5200	7500 8000	8800 9500
ცვლაში გამოშვების რა-ბა (8სთ)	6-8	6-8	5-6	4-5	4-5

ფეროსილიციუმის გამოშვებას წიდასთან ერთად ახდენენ ციცხვში, რომელიც ამოგებულია ცეცხლგამძლე აგურით (შამოტი 38 – 40% Al₂O₃, 50 – 55% SiO₂) ან კაუმიწაშემცველი მასით, რომლის შედგენლობაში შეიძლება შედიოდეს ნატრიუმის სილიკატის ხსნარი (ოხევადი მინა), ბელიტი (β -Ca₂[SiO₄], 40-70% CaO, არანაკლებ 30% SiO₂, 3-10% Al₂O₃, 2-10% Fe₂O₃, 0,5% Cr₂O₃) და წყალი.

ფეროსილიციუმს ასხავენ ლენტური ტიპის კონვეიურულ მანქანაზე, რომლის ლენტამაც $5,0-0,02$ მ/წა სიჩქარით შეიძლება იმოძრაოს. ღუმელიდან გამოსული მაღალი მარკის ფეროსილიციუმის ტემპერატურა $1650-1750^{\circ}\text{C}$ -ს შეადგენს, ხოლო კრისტალიზაციის ტემპერატურა კი $1160-1170^{\circ}\text{C}$ ინტერვალში მერყეობს. შენადნის ტემპერატურის შემცირებისა და წილის უკეთ მოხდის მიზნით, ფეროსილიციუმს გარკვეული დროით ციცხვში აყოვნებენ.

იმის გათვალისწინებით რომ ფეროსილიციუმის ზოგიერთ მარკაში ალუმინის შემცველობა $1-1,5\%$ -ს არ ადემატება, ზოგ შემთხვევაში საჭირო ხდება შენადნის ალუმინისაგან (ზოგჯერ სხვა ელემენტებისაგანაც $\text{Ca}, \text{Ti}, \text{Cr}$) გაწმენდა.

რაფინაცია შეიძლება განხორციელდეს ღუმელში ან ციცხვში. პირველი გულისხმობს ფეროსილიციუმის რაფინაციას ელექტრორკალურ ღუმელში $\text{CaO} - \text{SiO}_2$ სისტემის წილის ქვეშ. ალუმინის დაუანგვა ამ შემთხვევაში შემდეგი რეაქციით მიმდინარეობს:



შენადნში $0,1\%$ ალუმინის შემცველობის მისაღებად, საჭირო ხდება ორჯერ ან სამჯერ ფეროსილიციუმის დამუშავება ახლადშექმნილი წილით.

ელექტროდუმელში ფეროსილიციუმის რაფინაციისას შენადნში კლებულობს სილიციუმის შემცველობა ($\text{SiO}_{\text{აირ}}-\text{o}$ ს წარმოქმნის გამო) და $1400-1500$ კვტ.სთ/ტ-მდე

იზრდება ელექტროენერგიის ხარჯი, რაც აღნიშნული მეთოდის ნაკლად უნდა ჩაითვალოს.

ციცხვში ოხევადი ფეროსილიციუმის რაფინაციისას, წილის წარმომქმნელად იყენებენ კირს, კვარცის ფევნილს, რკინის მადანს, მლდობად შპატს (CaF_2); ამასთან რაფინაციის პროცესის დასაჩქარებლად ციცხვში შენადნში ჩაშვებული ქმინით უბერავენ აირად ენერგომატარებლებს (ჰაერი, ტექნიკური ჟანგბადი, აზოტი ან მათი ნარევი). სარაფინაციო კომპონენტად იყენებენ სიდერიტს (FeCO_3), იგი გახურებისას იშლება და რკინის მონოკლინურ წარმოქმნის ($\text{FeCO}_3 \rightarrow \text{FeO} + \text{CO}_2$), რომელიც ფეროსილიციუმის ალუმინთან ურთიერთქმედებს. გამოყოფილი CO_2 შენადნის არეგას უწყობს ხელს. ქვემოთ მოყვანილია ერთი ტონა ფეროსილიციუმის მისაღებად საჭირო მასალების რაოდენობა დახურულ ელ-დუმელში.

ფეროსილიციუმი მასალების ხარჯი კგ:	ФС	ФС	ФС	ФС	ФС
კვარცი	20	25	45	65	75
რკინის ბურბუშელა	370	552	931	1568	1930
კოქსწვრილა	810	780	658	343	250
ელექტროდების მასა	200	280	438	720	845
ელ-ენერგია, კვტ.სთ/ტ	10	8	16	43,3	54
სილიციუმის ამოკრეფა, %	2100	2750	4800	7410	8800
	94,3	98,5	98,2	92,1	91,8

არაკონდიცირებულმა წვრილფრაქციულმა ფეროსილიციუმმა შეიძლება შეიძინოს სასაქონლო დირებულება,

თუ კი წვრილფრაქციული მასალა დაბრიკეტდება ან ელექტრორკალურ (ან ინდუქციურ) ღუმელში გადადნება.

10.4 პრისტალური სილიციუმის გამოწვების ტექნოლოგია

ტექნიკურად სუფთა სილიციუმი (96-99%), რომელსაც რიცხვი 2169-69-ს მიხედვით კრისტალურს უწოდებენ, (ცხრილი 1) რკალურ მადანალდგენით ღუმელებში მიიღება. (მუდმივი ან ცვლადი დენით). მიღების ტექნოლოგია კვარციტიდან ან კვარციდან ნახშირბადით სილიციუმის აღდგენის პროცესს ემყარება:



$$\Delta G^\circ = 697390 - 359,07 T \text{ (ჯ/მოლი)}$$

ამ რეაქციის დაწყების თეორიული ტემპერატურა 1669°C -ს ტოლია. კრისტალური სილიციუმი ფართოდ გამოიყენება სილიციუმ-ალუმინიანი შენადნობების გამოსადნობად, სილუმინების მისაღებად (ალუმინოსილიციუმიანი სინთეზიკური შენადნობები) და სპეციალური ფოლადებისა და შენადნობების განუაგვისა და ლეგირებისათვის. ამასთან, უმაღლესი კატეგორიის კრისტალური სილიციუმი (K_ρOO) მზის ბატარეიისა და ნახევარგამტარების წარმოებაშიც იხმარება.

ცხრილი 1

კრისტალური სილიციუმის მარკები და ქიმიური

შედგენილობა

(ГОСТ 2169-69)

სილიციუმის მარკა	Si არა ნაკლები	არა უმეტესი			
		Fe	Al	Ca	Fe+Al+Ca
Kr00	99,0	0,4	0,4	0,4	1,0
Kr0	98,8	0,5	0,6	0,4	1,2
Kr1	98,0	0,7	0,7	0,6	2,0
Kr2	97,0	1,0	1,2	0,8	3,0
Kr3	96,0	1,5	1,5	1,5	4,0

სილიციუმს ადნობენ სამფაზა დია ტიპის 16,5 და 22,5 მგა სიმძლავრის ელექტროდუმელებში (ცვლადი დენიო) უწყვეტი პროცესით. აბაზანა ნახშირის ბლოკებითაა ამოგებული. ელექტროდები გრაფიტისაა. თვითცხობად ელექტროდებს ნაკლებად იყენებენ, შენადნობში ელექტროდის გარცმიდან რეინის გადასვლის ალბათობის გაზრდის გამო.

საკაზმე მასალებად გამოიყენება კვარციტი (ფრაქცია 20-50 მმ), ნავთობის კოქსი და აირადი ნახშირი (5-15 მმ).

საღუმელე ხვიმირებიდან გამოსული კაზმი ჩამტვირთავი მანქანის საშუალებით დუმელს ისეთნაირად მიეწოდება, რომ ელექტროდებთან გამუდმებით იქნეს შენარჩუნებული კონუსი ($<0,5$ მ).

დუმელის აირების ატმოსფეროში შენადნობის დაყოვნების შემცირების მიზნით, სილიციუმის გამოშვება უწყვეტად ხდება, რათა თავიდან იქნეს აცილებული მეორადი კარბიდწარმოქმნის პროცესი. რამდენადაც სილიციუმის სიმკვრივე ($2,2 \text{ g/cm}^3$ 1600°C -ზე) წილის სიმკვრივეზე ნაკლებია ($2,6-2,8 \text{ g/cm}^3$), უწყვეტი გამოშვებისას წილაც გამოდის, რაც აუმჯობესებს დუმელის მომსახურეობასა და ხელს უწყობს დნობის ელექტრული რეჟიმის შენარჩუნებას.

სილიციუმის აღდგენის პროცესი არის CO , რომელიც საკერძეზე იწვის. ერთი ტონა სილიციუმის მისაღებად იხარჯება ($16,5 \text{ kg}$ სიმძლავრის დუმელი, ცვლადი დენის შემთხვევა); კბ

კბარციტი—2540

ხის ნახშირი ——1310

ნავთობის კოქსი ——150

აიროვანი ნახშირი —240

ელექტროენერგია ——11,2-12,2 მვტ.სთ

სილიციუმის ამოკრეფა $78-85\%-ს$ აღწევს; აღდგენილი სილიციუმის $0,5\%$ წილაში იკარგება. კაზმიდან შენადნში გადადის, %:

Al	Ca	Mg	Fe
50-55	35-40	30-35	85-98

$22,5 \text{ kg}$ სიმძლავრის დუმელში გამოდნობისას დღედამეში წარმოიქმნება 120 ათასი m^3 აირი, რომელსაც შემდეგი ქიმიური შედგენილობა აქვს; %

CO	CO₂	CH₄	H₂O	N₂	H₂
80-85	4-8	1-3	0,1-1	1-4	1-3

აირი გაწმენდამდე 1,2-2 გ/გ³ რაოდენობით მტვერსაც შეიცავს (**SiO₂** 80%, **Al₂O₃** 2-4%, **Fe₂O₃** 0,1-0,2%, **CaO** 1-2% და **C** - 8%).

ბოჭვების შევსების შემდეგ შენადნობი განიცდის კრისტალიზაციას, მიღებულ სხმულს დამტვრევისა და წილისგან განცალკევების შემდეგ აწვდიან მომხმარებელს.

სილიციუმის გამოდნობისას წარმოქმნილი წილის (შენადნობის მასის 3-8%) შეღგენილობაა, %;

SiO₂ 30-50, **Si** 10-30, **SiO** 8-15, **SiC** 10-40, **Fe₂O₃** 0,5-1,0, **Al₂O₃** 12-15, **CaO** 20-30. აღნიშნული წილა შეიძლება გამოყენებული იქნეს ფოლადის განუანგვისა (ღუმელში, ციცხვში ან ბოყვში) და სილიციუმიანი ფეროშენადნობის გამოსადნობად.

10.5 სილიციუმიანი კარბიდის ფარმაცევტიკური მიმღებებია

სილიციუმის კარბიდი (კარბორუნდი) ფართოდ გამოიყენება როგორც მიკროსისალის მქონე ხელოვნური აბრაზული მასალა. სილიციუმის კარბიდიდან (**SiC**) მიღებული აბრაზულ ინსტრუმენტს სხვადასხვა ლითონური პროდუქციის გასაწმენდად იყენებენ. მაღალი თერმული

და ქიმიური მდგრადობის გამო, მას ცეცხლგამძლე მასალადაც ხმარობენ.

ელექტრომეტალურგიაში **SiC** განიხილება, როგორც ტექნიკური სილიციუმის, სილიკონის, ფეროსილი-ციუმის, სილიკოლუმინისა და სხვა სილიციუმიანი შენადნობების გამოდნობისას მიღებული შუალედური პროცესი.

სილიციუმის კარბიდის მიღების პროცესი ზოგადად შემდეგი რეაქციით შეიძლება წარმოისახოს:



SiC-ს სიმკვრივე **3,22** გ/სმ³-ს შეადგენს, დაშლის ტემპერატურა **2280k**-ს, ხოლო წარმოქმნის სითბო $\Delta H_{298}^0 = 66,16$ კჯ/მოლია. კარბორუნდი არსებობს შავი და ყვითელი ფერის. ორივე მათგანს სამრეწველო პირობებში ელექტროდუმელებში ღებულობენ. საკაზმე მასალად გამოიყენება კვარცის ფენილი და ნახშირბად-ალმდენელი. ყვითელი კარბიდის მისაღებად კაზმს ნატრიუმის ქლორიდს უმატებენ, რომელიც კაზმი შემავალი ზოგიერთი მინარევის მავნე გავლენასაც ამცირებს.

თიხამიწის შემცირების მიზნით, კვარცის ფენილს გულდასმით რეცხავენ, თუმცა არ არის გამორიცხული, რომ აღდგენით გარემოში თიხამიწის დარჩენილმა რაოდენობამ აღმდგენელის ნაცართან ერთად კომპლექსური კარბიდები მაინც წარმოქმნას (**Al₄SiC** და

Al₄CSi₄). მაღალ ტემპერატურაზე **Al₄SiC** შეიძლება დაიშალოს და წარმოქმნას **SiC**, **Al₂O₃**. და **C₆₀**:

კარბორუნდი მიიღება ელექტროჭინალობის ღუმელში (4000-4500 კვა), რომელიც წარმოადგენს მოძრავ ბაქანს და რომლის ბოლოებშიც განლაგებულია დენგამტარი ნახშირის ელექტროდები.

ალნიშნული ღუმელის მუშაობის პრინციპი არის შემდეგი: ბაქანის ფსკერზე ყრიან ნაბრუნს, კვარცის ფხვნილს და შემდეგ აწყობენ ნაჭროვანი ნავთობკოქსის კერნს, რომელსაც ზემოდან აყრიან სარეაქციო კაზმს. კერნი საწყის ეტაპზე სამუშაო წინაღობასაც წარმოადგენს.

ერთი ტონა კარბორუნდის მისაღებად საჭიროა, კგ:

კვარცის ფხვნილი – 1750/2000

სუფრის მარილი (NaCl) – 1230

ანტრაციტი – 900/700

ნავთობკოქსი – 300/600

ხის ნახერხი – 170/370

ელ. ენერგია – 8200/10000 კვტ.სთ

(მრიცხველი შავი კარბორუნდის შემთხვევაა, ხოლო მნიშვნელი მწვანესი)

საკაზმე მასალები განსაკუთრებულ მოთხოვნებს უნდა აქმაყოფილებდეს, კერძოდ კვარცის ფხვნილი უნდა იყოს სუფთა მინარევებისაგან და იგი საშუალოდ უნდა შეიცავდეს **99,6% SiO₂-ს, 0,3% FeO-ს, 0,07% Al₂O₃-ს, 0,04% CaO-ს 0,03% MgO-სა და 0,02% TiO₂-ს.**

აღმდგენელად შეიძლება გამოყენებული იქნეს მხოლოდ მცირე ნაცრიანი ნახშირბად აღმდგენლები, როგორიცაა ანტრაციტი (ნაცრიანობა 3%, **C_{ეფ}-93%**) და ნავთობკოქსი (ნაცრიანობა 0,8%, **C_{ეფ} - 94%**, აქროლადები 5%, სინესტე 3%).

ლუმელში ტვირთავენ 50-65 ტ კაზმს და 3200-4500 კგ კერნს. კარბორუნდის მიღების პროცესს ძირითადად აკონტროლებენ დახარჯული ელექტროენერგიის რაოდენობით. მაგალითად, 3500 კვტ სიმძლავრის ტრანსფორმატორის შემთხვევაში კარბორუნდის მიღების პროცესი დამთავრებულად ითვლება თუკი ელექტროენერგიის ხარჯი 65-70 მგტ.სთ-ს შეადგენს.

ფეროსილიციუმის გამოდნობისას კაზმში არსებული სილიციუმის კარბიდი ადვილად იშლება ლითონური რკინით **SiC+Fe=[Si]_{Fe} + C_{ეფ}**. რკინის მეშვეობით სილიციუმის კარბიდის დაშლის რეაქცია მანამ მიმდინარეობს, სანამ შენადნობში სილიციუმის შემცველობა 23-24%-ს არ მიაღწევს. ამ შემთხვევაში ადგილი აქვს სილიკოკარბიდის (**Fe₅Si₃C_X**) წარმოქმნას.

სილიციუმის კარბიდის წარმოებისას დიდი რაოდენობის აირადი პროდუქტები წარმოიქმნება. ღუმელის კონსტრუქციამ და ჩატვირთვის მეთოდმა, წესით უნდა უზრუნველყოს წარმოქმნილი **CO**-ს დაქანგვა **CO₂**-მდე, მაგრამ სხვადასხვა მიზეზის გამო **CO**-ს გარკვეული რაოდენობა გარემოს მაინც აბინძურებს, რისთვისაც საჭირო ხდება გამორტყორცილი მტვრისა და აირის სპეციალური დამჭერი სისტემების შექმნა.

11.ქრომიანი შენაღებობის ელექტრომეტალურგია

ქრომი დ. მენდელეევის პერიოდული სისტემის IV პლაზმის ელემენტია, მისი რიგითი ნომერია 24, იგი შემდეგი თვისებებით ხასიათდება:

ატომური წონა	51,996
დნობის ტემპერატურა	1870°C
დუღილის ტემპერატურა	2469°C
სიმკვრივე	7,19 g/cm^3
ვალენტობა	2, 3 და 6

ქრომი რკინასთან მყარი და თხევადი ხსნარების უწყვეტ რიგს წარმოქმნის. **30%Fe+70% Cr** შენადნის სოლიდუსის ტემპერატურა **1580°C** შეადგენს, ხოლო ლიკვიდუსის **1640°C -ს**. ნახშირბადთან ქრომი კარბიდებს წარმოქმნის **Cr_{23}C_6 , Cr_7C_{23}** და **Cr_3C_2** , რომლებიც შესაბამისად **5,58, 13,3** და **9,0%** **C**-ს შეიცავს. ახალი მონაცემებით ცნობილია აგრეთვე კარბიდი **CrC**, რომელიც **18,75%C**-ს შეიცავს.

Cr-Si სისტემაში წარმოიქმნება თერმოდინამიკურად მყარი სილიციდები: **Cr_3Si , Cr_5Si_3 , CrSi და CrSi_2** , რომელთაგანაც **Cr_3Si და Cr_5Si_3** კონგრუენტულად დნება შესაბამისად **1770** და **1720°C** ტემპერატურაზე.

ქრომი ფოსფორთან წარმოქმნის ფოსფიდების მთელ რიგს (**Cr_3P , Cr_2P , CrP , CrP_2 და სხვა**). მყარ ქრომში ფოსფორი მცირე რაოდენობით იხსნება და შენადნის კრისტალიზაციისას გამოიყოფა ფოსფიდების სახით. იმის

გათვალისწინებით, რომ ქრომის ფოსფიდები გაცილებით
მტკიცეა ვიდრე რკინის, ქრომის შენადნობის
დეფოსფორაცია დაუანგვითი მეთოდით ნაკლებ
ეფექტურია.

Cr –S სისტემაში არსებობს სტაბილური (**CrS, Cr₃S₄** და **Cr₂S₃**) და მეტასტაბილური (**Cr₇S₃** და **Cr₃S₆**) სულფიდები,
ხოლო **Cr –O** სისტემაში კი შემდეგი ოქსიდები: **CrO₃, Cr₂O₃, Cr₃O₄, CrO.**

CaO–Cr₂O₃ სისტემაში ხდება ქრომიტოქრომატის **9CaO·4Cr₂O₃·Cr₂O₃ (t_{დნ}=1774°C)** და ქრომატის **CaCrO₄** წარმოქმნა. აღნიშნულ სისტემაში მდგრადი ნაერთია კალციუმის ქრომიტი **CaO – Cr₂O₃**. ამ სისტემაში დამჟანგველი გარემოს პირობებში ადგილი აქვს ადვილდნადი შემადგენლობის წარმოქმნას.

CrO–SiO₂ სისტემაში მხოლოდ ერთი ნაერთი, ქრომის ორთოსილიკატი (**2CrO·SiO₂**) წარმოიქმნება, რომელიც პერიტექტიკური რეაქციით იშლება. ქრომის ოქსიდი (**CrO**) სუფთა სახით დაბალტემპერატურაზე თერმოდინამიკურად არამდგრადია და პაერზე დისპროპორციონირებს შემდეგი სქემით: **3CrO→Cr₂O₃+Cr.**

11.1 ქრომის მაღნები და მინერალები

მაღნებში ქრომი წარმოდგენილია შემდეგი
მინერალებით:

მაგნოქრომიტი **(Mg, Fe) O·Cr₂O₃**

ქრომპიკოტიტი
ალუმინოქრომიტი

(Mg, Fe) O. (Cr, Al)₂O₃
FeO.(Cr,Al)₂O₃

რკინის შემცველობის მიხედვით ქრომის მაღანი შეიძლება იყოს წითელი ან შავი ფერის. შავი ფერის მაღნები ძნელად დნადი და აღსაღებია.

ქრომის მაღნები ბუნებაში არსებოს როგორც ნატეხოვანი ისე ფხვნილოვანი სახით. ბუნებრივია წვრილფრაქციული მაღნები გამოყენებამდე აუცილებლად საჭიროებს დანაჭროვნებას.

ქრომის მაღნები (ყაზახეთის საბადო) უნდა აკმაყოფილებდეს შემდეგ მოთხოვნებს:

მაღნის მარკა	DX - 1 - 1	DX - 1 - 2
Cr ₂ O ₃ , % (არა ნაკლები)	50	47
SiO ₂ , % (არა უმეტესი)	7,0	10,0
Cr ₂ O ₃ /FeO	3,5	3,0
P, % (არა უმეტესი)	0,008	0,008

11.2 მაღალხახშირბაზიანი ფეროქრომის მიღების ტექნოლოგია

ГОСТ 4757-91 (ISO 5448-91) მიხედვით ფეროქრომი სამ ჯგუფად მაღალი, საშუალო და მცირენახშირბაზიანად იყოფა. ქრომის შემცველობა ჯგუფის მიხედვით მოცემულია ქვემოთ:

დასახელება	FeCr 50	FeCr 60	FeCr 70	FeCr 80	FeCr 90
Cr, მას. %	45,5 55,0	55,0 65,0	65,0 75,0	75,0 85,0	85,0 95,0

მაღალნახშირბადიანი ფეროქრომი მიიღება ქრომისა და რკინის აღდგენით. გამოდნობის პროცესი არის უწყვეტი და იგი მიმდინარეობს მაღალი სიმძლავრის (16,5–33 მვა) ელექტრორკალურ ღუმელებში.

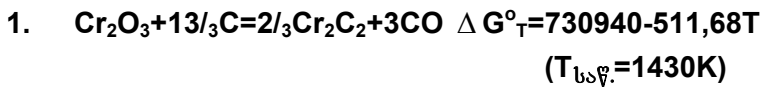
მაღალნახშირბადიანი ფეროქრომის ქიმიური შედგენილობა მარკების მიხედვით არის შემდეგი:

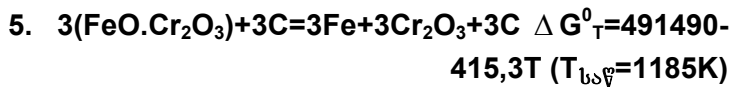
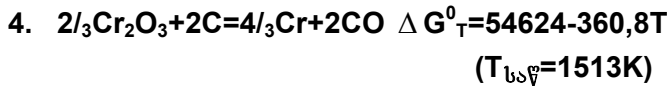
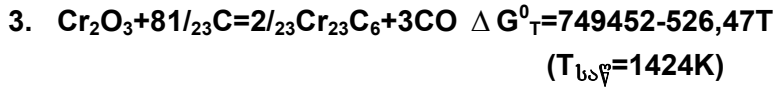
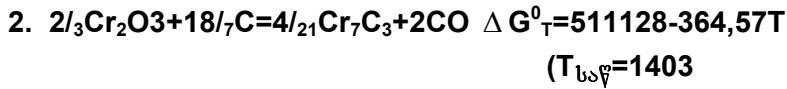
მარკა	Cr, არანაკლები	C	Si	P, არაუმჯობესი	S
ΦХ 650 А	65	6,5	2,0	0,03	0,06
ΦХ 650 Б	65	6,5	2,1	0,05	0,08
ΦХ 800 А	65	8,0	2,0	0,03	0,06
ΦХ 800 Б	65	8,0	2,0	0,05	0,08
ΦХ 800 СА	60	8,0	5,0 -10,0	0,03	0,03
ΦХ 800 Б	60	8,0	5,0 – 10,0	0,05	0,05

მაღალნახშირბადიანი ფეროქრომის გამოსადნობი ღუმელის მახასიათებლები მოცემულია ქვემოთ:

განზომილება	PK -16,5	PK3-33 M1	
ძაბვა მაღალ საფეხურზე, კვ	110	110	
ტრანსფორმატორის სიმძლავრე, მვა	16,5	40	
მეორადი ძაბვა, ვ	130-210	261-95	
დენის მაქსიმალური ძალა ელექტროდებზე, კვ	52,5-65,0	93	
სიმძლავრის კოეფიციენტი ($\cos\phi$) სამუშაო საფეხურზე	—	0,92	
ელ-ლუმელის აქტიური სიმძლავრე, მვტ	—	31,7	
აბაზანის განზომილება, მმ:	დიამეტრი სიღრმე	9500 2975	9500 3850
ელექტროდების რაოდენობა	3	3	
ელექტროდების დიამეტრი, მმ	1200	1500	
ელექტროდებს შორის დაშორება, მმ	3300	4250	

ოქსიდებიდან ნახშირბადით ქრომის აღდგენა შეიძლება შემდეგი რეაქციებით განხორციელდეს (აქვე მოცემულია ჯიბსის ენერგიის ცვლილების ტემპერატურაზე დამოკიდებულება და ის ტემპერატურები, როცა $P_{\text{დ}}=100$ კპა და $\Delta G^{\circ}_{\text{T}}=0$).





მოცემული მონაცემებიდან გამომდინარე ქრომიტიდან ჯერ რკინა უნდა აღდგეს (მე-5 რეაქცია), შემდგა ქრომი (Cr_2O_3 -დან) კარბიდების წარმოქმნითა (რეაქცია 1, 2 და 3) და სუფთა ქრომის სახით (მე-6 რეაქცია).

მაღალნახშირბადიანი ფეროქრომის გამოსადნობად იყენებენ ქრომის მადანსა და ნახშირბადალმდგენელს (კოქსი, ნახევრადკოქსი, აიროვანი ნახშირი). კაზმში შეჰვავთ აგრეთვე საკუთარი ლითონური ნარჩენებიც. საჭიროების შემთხვევაში ქრომის მაღნებს წინასწარ ანაჭროვნებენ აგლომერაციის ან დაგუნდავების მეთოდით.

ნახშირბადიანი ფეროქრომის გამოდნობისას დიდია წილის როლი. წილაში ძირითადი კომპონენტების

რაოდენობა SiO_2 , MgO და Al_2O_3 შეიძლება მცირე
ზღვრებში იცვლებოდეს. ასეთი მოთხოვნა
განპირობებულია იმით, რომ ლითონის ტემპერატურა
გამოშვებისას $1500-1600^{\circ}\text{C}$ -ს შეადგენს. ასეთი
ტემპერატურის მისაღწევად აუცილებელია წიდაც მაღალი
დნობის ტემპერატურით ხასიათდებოდეს (1700°C). ასეთი
წიდის მისაღებად კაზში ფლუსის სახით კვარციტსაც
ამატებენ. სასურველია წიდა შეიცავდეს $30-35\%$ Al_2O_3 -
ს, $30-35\%$ MgO -ს და 35% SiO_2 -ს, რადგანაც ასეთი
შედგენილობის წიდის დნობის ტემპერატურაა $1560-1680^{\circ}\text{C}$,
ხოლო სიბლანტე $3-7$ პუაზი.

ნაშირბადიანი ფეროქრომის გამოდნობისას ღუმელს
მიეწოდება შემდეგი ულუფა:

ქრომის მადანი	850 კგ
ქრომით მდიდარი წიდა	150 კგ
კვარციტი	30–35 კგ
კოქსწვრილა (მშრალი)	220 კგ
ლითონური ნარჩენები	150 კგ

დიდი სიმძლავრის ღუმელებში დნობისას ლითონსა და
წიდას ცვლაში სამჯერ უშვებენ კასკადურად
განლაგებულ ფოლადის ციცხვებში. ლითონისათვის
განკუთვნილი ციცხვი წიდის გარნისაჟითაა დაფარული.

ნაშირბადიანი ფეროქრომის მიღებისას წიდის
ჯერადობა $0,8-1,3$ -ს შეადგენს. მანგანუმის ამოკრეფა
 $92-96\%-ს$ აღწევს, ხოლო რკინის $95\%-ს$. კაზმის
ანგარიშისას დახურულ ღუმელში დნობისათვის

აღმდგენელს 2% სიჭარბით იდებენ, ხოლო და
ღუმელში დნობის შემთხვევაში კი 10% სიჭარბით.

ერთი ტონა ბაზური ლითონის მისაღებად იხარჯება;
პბ:

ქრომის მადანი	1890
კოქსწვრილა	440
კვარციტი	130
ელექტროდების მასა	26
ელექტროენერგია	3400 კვტ.სთ.

წვრილფრაქციული და ლარიბი ქრომის მადნებისა და
იაფფასიანი ქვანახშირის გამოყენების შემთხვევაში
ძალზე ეფექტურია მაღალნახშირბადიანი ფეროქრომის
პლაზმურ ღუმელში გამოდნობა. როგორც გათვლები
აჩვენებს კაპიტალური დანახარჯები 50 ათასი ტონა
წლიური წარმადობის პლაზმური ღუმელის ასაშენებლად
15 მლნ დოლარს შეადგენს, მაშინ როდესაც იგივე
წარმადობის მქონე ელექტროდუმელის აშენებისთვის 26
მლნ დოლარია საჭირო. გარდა ამისა პლაზმურ ღუმელში
გამოდნობისას მცირდება ქრომის დანაკარგი წიდაში,
იზრდება ღუმელის წარმადობა და რაც არანაკლებ
მნიშვნელოვანია სიმძლავრე დამოუკიდებელი ხდება
კაზმის წინადობისგან.

3 მვა სიმძლავრის ღუმელში დარიბი ქრომის
კონცენტრატის, (**38,2% Cr₂O₃ და 24,2% Fe₂O₃**)
ნახშირისა და ფლუსის გამოყენებით გამოდნობილი იქნა
ფეროქრომი (**54% Cr და 8% C**). ქრომის ამოკრეფამ 92%

შეადგენა, ხოლო ელ. ენერგიის ხარჯმა ტონა
პროდუქციაზე კი 6500 კვტ. ხთ.

11.3 ფეროსილიკოზომი

სტანდარტის მიხედვით ფეროსილიკოზომი შეიძლება
იყოს გადასამუშავებელი და სასაქონლო:

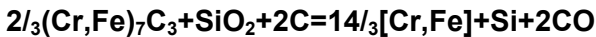
მარკა Si	Cr არანაკლები	C	P	S
		არა უმეტეს	უმეტეს	უმეტეს
ΦCX 10-16	55	6,0	0,04	0,03
ΦCX 16-23	48	4,5	0,04	0,02
ΦCX 23-30	45	3,0	0,03	0,02
ΦCX 30-37	40	0,9	0,03	0,02
ΦCX 37-45	35	0,2	0,03	0,02
ΦCX >45	28	0,1	0,03	0,02

სასაქონლო ფეროსილიკოზომს იყენებენ ფოლადის
განუანგისა და ლეგირებისათვის, ხოლო გადასამუშა-
ვებელ ფეროსილიკოზომს კი როგორც ალმდგენელს
მცირენას შირბადიანი ფეროქრომის გამოსადნობად
(სილიკონერმული მეთოდი).

არსებობს სილიკოზომის მიღების ორი მეთოდი
წილიანი (ერთ სტადიანი) და უწილო (ორ სტადიანი).
ორსტადიანი მეთოდი ემყარება კაზმში გადასამუშა-
ვებელი ფეროქრომის არსებობისას (პირველ სტადიაზე
მიღებული) კაუმიწიდან ნახშირბადით სილიციუმის

აღდგენის პროცესს. ერთ სტადიური მეთოდისას კაზმში იყენებენ ქრომის მადანს, კვარციტს და კოქსწვრილას.

ორსაფეხურიანი უწიდო მეთოდით ფეროსილიკოქრომის გამოდნობას ახორციელებენ სხვადასხვა სიმძლავრის ნახშირბადამონაგიან მადანადდგენით ღუმელებში (16,5–33 მვა), უწყვეტი პროცესით. მე-2 სტადიაზე დნობისას იყენებენ კვარციტს (20–80 მმ), გრანულირებულ გადასამუშავებელ ნახშირბადიან ფეროქრომს, მცირე რაოდენობით რკინის ბურბუშელას, ნახევრადკოქსა და კოქსწვრილას. ფეროსილიკოქრომის მიღების ჯამურ რეაქციას შემდეგი სახე აქვს:



მაღალსილიციუმიანი ფეროსილიკოქრომის (48% Si) გამოდნობისას კაზმის ულუფა არის შემდეგი: კგ

კვარციტი	-----	300
კოქსწვრილა (მშრალი)	-----	50
ნახევრად კოქსი	-----	100
გადასამუშავებელი ფეროქრომი	-----	140
რკინის ბურბუშელა	-----	22

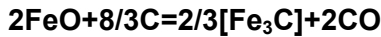
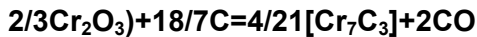
ფეროსილიკოქრომის მიღების ერთსტადიურ მეთოდს (წილიანი) რუსეთსა და ყაზახეთის ფეროშენადნობთა ქარხანაში არ იყენებენ, რადგან მძლავრ ღუმელში ჩატარებულმა სამრეწველო ექსპრიმენტებმა ვერ აჩვენა დადებითი ეფექტი. საკაზმე მასალად გამოყენებულ იქნა

ქრომის მადანი (20-80 მმ), კვარციტი (20-88 მმ) და კოქსიზრილა (5-20 მმ).

კაზმის ულუფა შეადგენს:

	ΦCX 20	ΦCX 33
ქრომის მადანი	500	400
კვარციტი	230	320
კოქსიზრილა (სინებები 15-20%)	215	230

დნობის პროცესში მადნიდან და კვარციტიდან ნახშირბადიანი აღმდგენელით მიმდინარეობს რკინის, ქრომისა და სილიციუმის აღდგენა:



ქვემოთ ნაჩვენებია ფეროსილიკოქრომის წილების შედგენილობა (წილური მეთოდი)

	SiO₂	MgO	Al₂O₃	≤SiC	≤Cr₂O₃
ΦCX 20	42-45	30-35	13-16	2,0	1,0
ΦCX 33	43-46	28-32	13-16	3,0	1,0

ერთი ტონა ფეროსილიკოქრომის გამოსადნობად
საჭიროა:

მაჩვენებელი	Si-ის შემცველობა				
	13	23	33	43	50
მასალების ხარჯი, კგ/ტ: კგარციტი	298/ ₆₃₄	520/ ₈₈₁	742/ ₁₁₃₄	965/ ₁₃₂₀	1121/ ₁₄₆₄
ქრომის მადანი	- / ₁₉₀₅	-/ ₁₆₀₀	-/ ₁₄₂₀	-/ ₁₁₄₅	-/ ₉₂₃
კოქსწვრილა	117 / ₅₄₃	220/ ₅₇₅	312/ ₆₂₅	424/ ₆₇₈	308/ ₇₁₂
ადასამუშავებელი ფეროქრომი	1089/_	911/_	803/_	648/_	525/_
ფოლადის ბურბუშელა	8/ ₃₀	41/ ₈₂	62/ ₈₄	93/ ₁₀₅	115/ ₁₁₆
ელ.ენერგია კვტ.სთ/ტ	1500/ ₄₇₇₀	2450/ ₅₆₆₀	3390/ ₇₀₄₀	4350/ ₇₇₇₀	5110/ ₈₈₇₀

მრიცხველი უწიდო (ორსაფეხურიანი) ტექნოლოგიაა.
მნიშვნელი წიდიანი (ერთსაფეხურიანი) ტექნოლოგიაა.

11.4 მცირენახშირბადიანი ვეროქრომის მიღების ტექნოლოგია

СНГ ГОСТ 4757-91 (ISO 5448-81) მიხედვით
მცირენახშირბადიანი ფეროქრომის სამი ქავებული
განიხილება:

1) მცირეფოსფორიანი ($\leq 0,03\%$)

- 2) მაღალფოსფორიანი
- 3) მაღალქრომიანი (75,0–95%) და მცირეფოსფორიანი ($\leq 0,02\%$)

მცირენახშირბადიანი ფეროქრომი მიიღება ქრომის მადნიდან ფეროსილიკოქრომის სილიციუმით სილიციუმისა და რკინის აღდგენით. კაზმში კალციუმის ოქსიდის არსებობა ხელს უწყობს სილიკოთერმული პროცესის წარმართვას. ამასთან ოპტიმალური პირობები მიიღწევა მაშინ, როდესაც წიდის ფუძიანობა (CaO/SiO_2) **1,7- 1,9-ს** გაუტოლდება. ჯამური რეაქცია შეიძლება შემდეგნაირად წარმოისახოს:



არსებობს მცირენახშირბადიანი ფეროქრომის მიღების ორი მეთოდი.

კლექტო მეთოდი (ერთსტადიანი) გრაფიტის ელექტროდებიან რკალურ ელ. ღუმელში დნობას ემყარება. კაზმი შეიცავს ქრომის მადანს, ფეროსილიკოქრომსა და კირს. ღუმელში მიღებულ ნადნობს აყოვნებენ, მანამ სანამ წარმოქმნილი ფეროქრომი წონასწორობაში მოვა წიდასთან. წონასწორობის დამყარების პროცესში გრაფიტის ელექტროდებიდან ინტენსიურად მიმდინარეობს ლითონის დანახშირბადიანება.

მეორე მეთოდის არსი მდგომარეობს იმაში, რომ ქრომისა და კირის ნარევს ცალკე ადნობენ რკალურ

ელ-ლუმელში და მიღებულ მაღანფლუსიან თხიერ მასას
ციცხვ-რეაქტორში თხევად ფეროსილიკოქრომს ურევენ.

**მცირე ნახშირბადიანი ფეროქრომის ქიმიური
შედგენილობაა შემდეგი:**

მარტა	Cr არა ნაკლები	C	Si	P	S	Al
		ა რ ა	უ მ ე ბ ე ს ი	ე ბ ე ს ი	უ მ ე ბ ე ს ი	ე ბ ე ს ი
ФХ001А	68	0,01	0,8	0,02	0,02	0,7
ФХ001Б	68	0,01	0,8	0,03	0,02	0,7
ФХ002А	68	0,02	1,5	0,02	0,03	—
ФХ002Б	68	0,02	1,5	0,03	0,03	—
ФХ003А	68	0,03	1,5	0,02	0,03	0,7
ФХ003Б	68	0,03	1,5	0,03	0,03	0,7
ФХ004А	68	0,04	1,5	0,02	0,03	0,3
ФХ004Б	68	0,04	1,5	0,03	0,03	0,3
ФХ005А	65	0,05	1,5	0,03	0,03	—
ФХ005Б	65	0,05	1,5	0,05	0,03	—
ФХ006А	65	0,06	1,5	0,03	0,03	0,3
ФХ006Б	65	0,06	1,5	0,05	0,03	0,3
ФХ010А	65	0,10	1,5	0,03	0,03	0,3
ФХ010Б	65	0,10	1,5	0,05	0,03	0,3
ФХ015А	65	0,15	1,5	0,03	0,03	0,3
ФХ015Б	65	0,15	1,5	0,05	0,03	0,3
ФХ025А	65	0,25	2,0	0,03	0,03	—
ФХ025Б	65	0,25	2,0	0,05	0,03	—
ФХ050А	65	0,50	2,0	0,03	0,03	—
ФХ050Б	65	0,50	2,0	0,05	0,03	—

ორივე მეთოდით გამოდნობის შემთხვევაში საკაზმე მასალები მცირე რაოდენობით უნდა შეიცავდეს ნახშირბაძსა და ფოსფორს.

ერთსტადიური მეთოდით მცირენახშირბაძიანი ფეროქრომის მიღება ხორციელდება 5000 კვა სიმძლავრის მაგნეზიტის აგურით ამოგბულ დასახრელი ტიპის ელექტროდუმელში. გამოდნობის ტექნოლოგია შემდეგ ოპერაციებად შეიძლება დაიყოს:

1. ღუმელის შეკეთება;
2. ღუმელში ფეროსილიკოქრომის პირველი ულუფის ჩატვირთვა;
3. პირველი ულუფის გადნობა;
4. ფეროსილიკოქრომის მეორე ულუფისა და მადან-კირქვიანი ნარევის ნაწილის ჩატვირთვა;
5. მეორედ მიწოდებული კაზმის ულუფის გადნობა;
6. ლითონისა და წილის გამოშვება.

მცირენახშირბაძიანი ფეროქრომის გამოდნობა ორი პერიოდისგან შედგება: პირველი პერიოდის დამთავრების შემდეგ ღუმელიდან ახდენენ წილის გამოშვებას, ხოლო მეორე პერიოდის შემდეგ წილასთან ერთად ლითონსაც უშევებენ.

ერთი დნობისთვის საჭიროა:

ქრომის მადანი	5200–5800	კგ
კირი	4200–4700	კგ
ფეროსილიკოქრომი	1700–1900	კგ.

ФХ050 და **ФХ025** მარკის ფეროქრომის გამოდნობის ტექნილოგია დნობის პერიოდის მიხედვით შემდეგ ოპერაციებად შეიძლება დაიყოს: ლითონის გამოშვების შემდეგ დნობის პირველ პერიოდში ღუმელის ქვედზე აყრიან 700-1000 კგ ფეროსილიკოქრომს, ჩაუშვებენ ელექტროდებს და დენიო დატვირთვის შემდეგ ღუმელს აწვდიან დარჩენილ ფეროსილიკოქრომს მადან-კირიან ნაწილთან ერთად, რომლის გადნობის შემდეგაც ახდენენ ლითონისა და წილის გამოშვებას. **ФХ015, 025, 050** მარკის ფეროქრომის გამოდნობის შემთხვევაში ღუმელში ფეროქრომს კაზმთან ერთად ტვირთავენ.

მცირენას შირბადიანი ფეროქრომის გამოდნობისას წილის ფუძიანობა 1,70–1,89 შეადგენს. მიღებული წილა შემდეგი ქიმიური შედგენილობით ხასიათდება, %: 48,0-51,0 **CaO**, 27,0-30,0 **SiO₂**, 4,5-5,0 **Cr₂O₃**, 0,8-1,0 **FeO**.

ერთი ტონა ფეროქრომის მისაღებად იხარჯება, კგ:

ქრომის მადანი	—	1620	კგ
კირი	—————	1440	კგ
სილიკოქრომი	—	609	
ელ.ენერგია, კვტ. სთ	—	2350	

ქრომის ამოკრეფა კაზმიდან ლითონში შეადგენს 80-83%-ს.

მცირენას შირბადიანი ფეროქრომის გამოდნობისას მიღებული წილა შემდეგი ქიმიური შედგენილობით ხასიათდება, %: 45-46 **CaO**; 26-27 **SiO₂**; 5,0-6,0 **Cr₂O₃**; 1,0-1,3 **FeO**; **CaO/SiO₂** = 1,7.

შერევის მეთოდით ფეროქრომის მიღების ტექნოლოგია მთელი რიგი თავისებურებებით ხასიათდება. ქრომის მაღნისა და კირის ნარევის გადნობისას, იმის გამო რომ ლითონური ფაზა ამ შემთხვევაში არ ფიგურირებს, მადანფლუსიან ნადნობში ნახშირბადის შემცველობა ყოველთვის მცირეა. გარდა ამისა შერევის პროცესში გრაფიტის ელექტროდების არ არსებობა, წინა მეთოდისაგან განსხვავებით, ასევე ზღუდავს ნახშირბადის მოხვედრის შესაძლებლობას ლითონში.

ნადნობის შერევისას დიდი რაოდენობით სითბო გამოიყოფა (ქრომისა და რკინის ოქსიდების ფეროსილიკოქრომის სილიციუმით აღდგენით და **CaO**- სა და **SiO₂**-ის შეერთებით). გამოყოფილი სითბოს რაოდენობა საშუალებას იძლევა მყარი ფეროსილიკოქრომიც იქნეს გამოყენებული, რაც მცირენახშირბადიანი ფეროქრომის მიღებას უფრო ეკონომიურს ხდის. გარდა ამისა, შერევის მეთოდით მცირენახშირბადიანი ფეროქრომის მიღების ტექნოლოგია კინეტიკური თვალსაზრისითაც გაცილებით სწრაფია დუმელში გადნობასთან შედარებით.

მადანკირიანი ნარევის ნალილობის მისაღებად შეიძლება გამოყენებული იქნეს ქრომის მაღნის კონცენტრატი (**Gr₂O₃≥48%, Cr₂O₃/FeO=3,5; SiO₂≤8,0%; CaO≤0,8%; P≤0,5%**) და კირი (**CaO ≥8,9%, CO₂≤2-4%,** სიმსხო **5-50 მმ**).

იმის გათვალისწინებით, რომ ფეროქრომში ფოსფორის შემცველობას უშუალოდ განსაზღვრავს საკაზმე მასალებში არსებული ფოსფორის რაოდენობა, წინასწარ ახდენენ საკაზმე მასალების კლასიფიკაციას

ფოსფორის შემცველობის მიხედვით. გამოსადნობი ფეროქრომის მარკიდან გამომდინარე, ფეროსილიკოქრომი შეიძლება შეიცავდეს **48–51% Si-ს, 28,5-29% Cr-ს** და **არაუმეტეს 0,02%** ფოსფორს.

ქრომის მაღნისა და კირის ნარევის გადნობას ახდენენ მაგნეზიტის აგურით ამოგებულ ელ-ლუმელში. მახურებლად გამოიყენება გრაფიტის ელექტროდები. კაზმი ყოველ 100 კგ ქრომის მადანს ემატება 73–82 კგ კირი. მიღებული შენადნი შეიცავს **27-29% Cr₂O₃-ს** და **40-43% CaO-ს**. შენადნის ფორმირების დაჩქარების მიზნით კაზმს მცირე რაოდენობით სილიკოქრომსაც ამატებენ, შედეგად წარმოიქმნება **SiO₂**, რომელიც დაბლა სწევს დნობის ტემპერატურას. მადანკირიან შენადნობს დუმელიდან უშვებენ მაგნეზიტის აგურით ამოგებულ ციცხვში. **Cr₂O₃-ის** შემცველობისა და მყარი დანამატების მასის განსაზღვრის შემდეგ ადგენენ ფეროსილიკოქრომის საჭირო რაოდნობას. მიღებულ შენადნს ასხავენ ციცხვში. იმ სისწრაფით, რომ იგი შეესაბამებოდეს ციცხვში აღდგენითი პროცესების სიჩქარეს (200 კგ ფეროსილიკოქრომი/წო).

მცირენას შირბადიან ფეროქრომს ასხავენ თუკის ბოლვებში, სხმულის სისქე არ აღმატება 80 მმ-ს.

შერევის მეთოდით ფეროქრომის მიღებისას, საკაზმე მასალების ხარჯი ტონა პროდუქტზე შეაღენს, კგ/ტ;

1. ქრომის მადანი **(50% Cr₂O₃) 1750;**
2. ფეროსილიკოქრომი **(48% Si) 570;**
3. კირი **1370;**
4. ელ-ენერგია **2750** კვტ.სო/ტ.

ქრომის ამოკრეფა საშუალოდ 80%-ს აღწევს.
შემოსული სითბოს რაოდენობის 65,8% მადანკირიან
შენადნს შეაქვს, 11,25% თხევად ფეროსილიკოქრომს,
ხოლო 23% ეგზოთერმული რეაქციებით გამოიყოფა.

შერევის მეთოდით მცირენას შირბადიანი ფეროქრომის
გამოდნობის ტექნოლოგიას უარყოფითი მხარეც აქვს,
რაც ძირითადად მცირეაზოტიანი შენადნის მიღების
სირთულეში გამოიხატება.

11.5 საშუალონას შირბადიანი ფეროქრომის მიღების შანბგად-პოვერტორული და სილიკონის მულტი

მეთოდი

საშუალონას შირბადიანი ფეროქრომის ქიმიური
შედგებილობა სტანდარტის (ГОСТ 4757-79) მიხედვით
არის შემდეგი

მარკა	C	P
	არაუგმნაზებელი	
ФХ 100 А	1	0,03
ФХ 100 Б	1	0,05
ФХ 200 А	2	0,03
ФХ 200 Б	2	0,05
ФХ 400 А	4	0,03
ФХ 400 Б	4	0,05

შენიშვნა : ყველა მარკა შეიცავს 65% Cr-ls, 2% Si-ls და 0,04% S-ls.

ახალი სტანდარტების (ISO 5448-81) მიხედვით ქრომის შემცველობა საშუალონახშირბადიან ფეროქრომში 45-75% ინტერვალში მერყეობს, ხოლო ნახშირბადისა და სილიციუმის შემცველობა მინიმუმამდეა შემცირებული (შესაბამისად 0,5 და 1,5%). ასეთი შედგენილობის ფეროქრომი შეიძლება მიღებულ იქნეს როგორც სილიკოთერმული ასევე ჟანგბადკონვერტორული მეთოდით. უფრო ადრინდელია უფლუსო სილიკოთერმული მეთოდი, რომელიც ითვალისწინებს ქრომის მაღნიდან ქრომისა და რკინის აღდგენას ფეროსილიკოქრომის სილიციუმით:



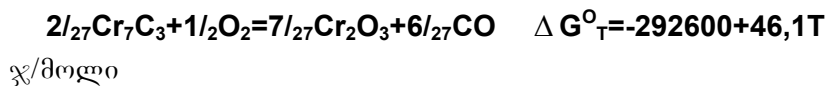
ამჟამად საშუალო ნახშირბადიანი ფეროქრომის გამოსადნობად იყენებენ ფლუსიან მეთოდს, რომლის დროსაც ერთი ტონა პროდუქციის მისაღებად იხარჯება:

1. 1413 კგ ქრომის მაღანი (50% Cr_2O_3),
2. 519 კგ 48%-იანი ფეროსილიკოქრომი,
3. 100 კგ წილის სეპარაციით მიღებული ლითონი,
4. 1241 კგ კირი,
5. 14 კგ ელექტროდების მასა და 2129 კვტ.სთ ელექტროენერგია,

ქრომის ამოკრეფა შეადგენს 76-80%-ს.

ჟანგებად-კონვერტორული მეთოდი

საშუალონახშირბადიანი ფეროქრომის მიღების ეს
მეთოდი ემყარება ჟანგბადით ნახშირბადიანი
ფეროქრომის ნახშირბადის ამოწვის პროცესს:



ჯიბსის ენერგიის ცვლილების ტემპერატურაზე
დამოკიდებულების განტოლებიდან გამომდინარე დაბალ
ტემპერატურებზე, შეძერვის საწყის სტადიაზე უნდა
განვითარდეს ქრომისა და ქრომის კარბიდის დაუანგვის
რეაქცია Cr_2O_3 -ის წარმოქმნით. ქრომის 6%-ზე ნაკლები
შემცველობისას კი წარმოიქნება შედარებით მცარი
კარბიდი Cr_{23}C_6 (5,8% C). განახშირბადიანების რეაქციას
ამ შემთხვევაში შემდეგი სახე აქვს:



აღსანიშნავია, რომ Cr_2O_3 -ით Cr_{23}C_6 კარბიდის ნახშირბადის ამოწვის თეორიული ტემპერატურა უფრო

მაღალია ვიდრე Cr₇C₃-დან, რაც იმაზე მიუთითებს, რომ დაფანგვის პროცესი თხოულობს მაღალ ტემპერატურას.

ათვისებულია ფეროქრომის წარმოება 15 ტონა ტევა-დობის კონვერტორში, რომელშიც წყლით გამაციებადი საქშინოდან ჟანგბადს უბერავენ. კონვენტორში ყელიდან ასხავენ 7-11 ტონა გადასამუშავებელ ფეროქრომს ($\geq 60\%$ Cr; $\leq 1,0\%$ Si; $\leq 0,05\%$ P; $\leq 0,06\%$ S; ნახშირბადის შემცველობა შეზღუდული არ არის.) ჟანგბადის ხარჯი ერთ ტონა ლითონზე 80 – 100 მ³ შეადგენს. დნობის დამთავრებისას ლითონს აწვდიან 600-800 კგ საშუალო-ნახშირბადიან ფეროქრომს, ხოლო წილის გათხევადების მიზნით, გამოშვების წინ დუმელში ამატებენ 15-20 კგ ფეროსილიკოქრომს (ФСХ 48).

კონვერტორში საშუალო ნახშირბადიანი ფეროქრომის გამოდნობის, მატერიალურ ბალანს შემდეგი სახე აქვს:

<u>მიეროდება</u>	
გადასამუშავებელი ფეროქრომი	89,97
<u>შანბბადი</u>	<u>10,03</u>
სულ	100

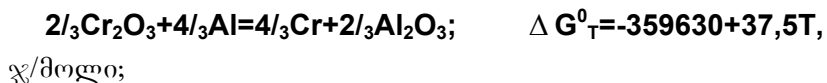
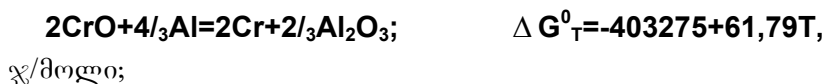
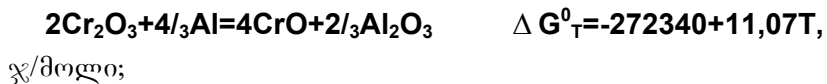
<u>მიეროდება</u>	
საშ.ნახშირბადიანი ფეროქრომი	62,82
ჭართი	2,79
ჭიდა	7,68
აირი	16,69
<u>შეუსაბამობა</u>	<u>3,02</u>
სულ	100

ერთ ტონა მზა პროდუქციაზე იხარჯება 1230-1260 კგ ნახშ.ფეროქრომი, 5-8 კგ ალუმინი და 100 ტ³ ჟანგბადი. ქრომის ამოკრეფა შეადგენს 80-81 %-ს.

11.6 ლითონური ქრომისა და ვერომრომის მიღება ალუმინოთერმული მეთოდით

ალუმინოთერმული გზით შესაძლებელია მიღებული იქნეს ლითონური ქრომის შემდეგი მარკები: X99A; X99B; X98,5; X98 და X97 (მითითებულია ქრომის მინიმალური შემცველობა).

ქრომის ალუმინით აღდგენა მიმდინარეობს შეალედური ოქსიდის (CrO) წარმოქმნით; აღდგენის პროცესი შემდეგი რეაქციით შეიძლება წარმოისახოს (298–2700 K)



ლითონური ფეროქრომის გამოსაღნობად იყენებენ ქრომის ოქსიდს (ქრომის საერთო შემცველობაზე

გადათვლით $\text{Cr}_2\text{O}_3 > 99$, მარკა OXM-O) და 98% (მარკა OXM-1), პირველადი ალუმინის ფხვნილს.

ლუმელგარეშე დნობის შემთხვევაში სასურველი სითბოს მისაღებად, კაზმში ნატრიუმის გვარჯილასაც უმატებენ, ($> 99\%$ NaNO_3). ფლუსად გამოყენებულია კირი. კალციუმის ოქსიდი Al_2O_3 -თან წარმოქმნის ნაერთს, რომელსაც დაბალი დნობის ტემპერატურა აქვს.

კაზმში CaO -ს შეყვანით წილის დნობის ტემპერატურაც დაბლა იწევს. დამჟანგველ გარემოში შესაძლებელია კალციუმის ქრომიტოქრომატის წარმოქმნა ($9\text{CaO} \cdot 4\text{CrO}_3 \cdot \text{Cr}_2\text{O}_3$ $t_{\text{დღ}} = 1218^{\circ}\text{C}$), რომელიც თავის მხრივ ქრომის აღდგენამდე აუმჯობესებს ქრომკირიანი შენადნობების წარმოქმნის პროცესს.

ლითონური ქრომის გამოდნობას ახდენენ თუკის ქურაში, რომლის ქვედა ნაწილი ამოგებულია მაგნეზიტის აგურით. ქურას სპეციალურ კამერაში ათავსებენ. დნობას ახორციელებენ კაზმით, რომელიც შედგება ქრომის ოქსიდის, ალუმინის ფხვნილისა და ნატრიუმის გვარჯილასაგან. გამოდნობას იწყებენ დაბალი აალებით და დასაწყისში ქურაში აწვდიან კაზმის ნაწილს (10-15%). ანთებენ მაგნიუმის ფხვნილისა და გვარჯილის ნარევს და აღდგენითი პროცესის დაწყების შემდეგ უმატებენ კაზმის დარჩენილ რაოდენობას. მიღებულ სხმულს წყალში გაციების შემდეგ ამსხვრევენ.

ერთი ტონა ლითონური ქრომის (97% Cr) მისაღებად იხარჯება 1650 კგ Cr_2O_3 , 620 კგ ალუმინის ფხვნილი და 140 კგ ნატრიუმის გვარჯილა.

ქრომის ამოკრეფა შეადგენს 88%-ს. მიღებული ლითონი შემდეგი ქიმიური შემცველობით ხასიათდება:

Cr	98-99,3%
Al	1,1-0,1%
Si	0,3-0,1%
Fe	0,3-0,6%
C	0,01-0,02%
P	0,04%-0,006%
S	<0,02%
N	0,03-0,2%

11.6.1 ზეროქრომის მიღების ალუმინოთერმული ტექნოლოგია

ალუმინოთერმიის გზით მიღებული მცირენახშირ-ბადიანი ფეროქრომი შემდეგი ქიმიური შემადგენლობით ხასიათდება:

ფეროქრომის მარკა	Cr	C	Si	S	P	Al
ΦХ 003А	75	0,03	0,5	0,015	0,010	0,4
ΦХ 004А	70	0,04	0,7	0,020	0,018	0,5

საკაზმე მასალებად გამოიყენება ქრომის კონცენტრატი (58,5% Cr₂O₃; 1.6% SiO₂), პირველადი ალუმინის ფხვნილი, კირი და მცირე რაოდენობით გვარჯილი. გამოდნობას ახორციელებენ დახრილ გამოსაღნობ აგრეგატში.

პროცესის ხვედრითი სითბო 3100–3180 კგ/კგ-ს შეადგენს, რაც 2360°C ტემპერატურის მიღწევას უზრუნველყოფს. ფეროქრომის გამოდნობისას ქრომის ამოკრეფა 89%-ს შეადგენს.

ქვემოთ მოყვანილია ალუმინოთერმული ფეროქრომის მიღების ტექნიკო-ეკონომიკური მაჩვენებლები.

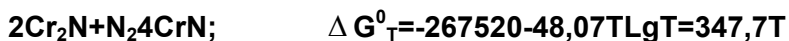
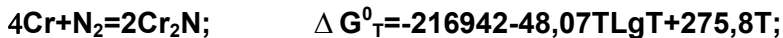
მ ა ჩ გ ე ნ ე ბ ე ლ ი		
მასალების ხარჯი, ტ:	ლუმელგარეშე	ელ.ლუმელში
კონცენტრანტი	2,215	1,756
ალუმინი	0,710	0,466
გვარჯილა	0,411	0,032
კირი	—	0,466
ელ.ენერგიის ხარჯი,		1240
კვტ.სთ/ტ	—	

მიღებული წილა შეიცავს: 60% Al_2O_3 -ს, 2-4% Cr_2O_3 -ს, 10-13% CaO -ს, 20-24% MgO -ს, 0,8-1% FeO -სა და 0,8-1,5% SiO_2 -ს. აღნიშნულ წილას იყენებენ მაღალთიხამიწიანი ნახევრადპროდუქტის ან მაღალთიხამიწიანი ცემენტის მისაღებად.

11.7 აზოტირებული ფეროქრომის მიღების ტექნიკობია

ქრომთან აზოტი წარმოქმნის მყარ სინარს $[\text{N}]_{\text{Cr}}$ და ნიტრიდებს: $\text{Cr}_2\text{N}(11,87\% \text{ N})$ და CrN -ს ($21,22\% \text{ N}$). CrN

ნიტრიდის წარმოქმნის სითბო (ΔH_{298}^0) -114,33/მოლ-ს
შეადგენს, ხოლო ენტროპია 328,1 ჯ.მოლ კ-ს. ქრომის
ნიტრიდების წარმოქმნისას ჯიბსის სტანდარტული
ენერგიის ცვლილების დამოკიდებულებას ტემპერატურაზე
შემდეგი სახე აქვს (ჯ/მოლი)



აზოტირებულ ფეროქრომს იყენებენ ნიკელის ნაწილობრივ შემცველ მასალად, აგრეთვე ქრომნიკელმანგანუმიანი და ქრომმანგანუმიანი აუსტენიტური ფოლადების წარმოებაში.

აზოტირებული ფეროქრომის ორი ნაირსახეობა არსებობს, გამოდნობილი და შემცხვარი. გამოდნობილი ფეროქრომი (2,0-4,0% N-ის შემცველობით), ინდუქციურ ელექტრო ღუმელებში, ან პლაზმურ-რკალური დნობისას თხევადი მცირენას შირბადიანი ფეროქრომის აზოტით გაჯერებით მიიღება. თხევად ფეროქრომში მოლეკულური აზოტის გასხვას თან სდევს სითბოს გამოყოფა (პროცესის ეგზოთერმულობის გამო).



თხევად ქრომში გახსნილი აზოტის რაოდენობა ტემპერატურის გაზრდით მცირდება.

აზოტირებული შეცხობილი ფეროქრომი წარმოადგენს ვაკუმში განახშირბადიანებულ მაღალნახშირბადიანი ფეროქრომის აზოტით გაჯერებულ ფხვნილს (4,0-10,0% N). შეცხობილი აზოტირებული ფეროქრომი შეიძლება მიღებულ იქნეს აგრეთვე მცირენახშირბადიანი სილიკო-თერმული ფეროქრომის აზოტირებით. მომხმარებლის მოთხოვნილების მიხედვით, აზოტის შემცველობაში ფეროქრომში შეიძლება 10%-ს მიაღწიოს.

მარკა (ГОСТ 4757-79)	Cr არა ნაკლები	C	Si	P	S	Al	N არა ნაკლები
		ა რ ა უ მ ე ტ ე ს					
ФХН 100 А	65	0,06		<u>0,02</u> 0,03	0,02		1,0
ФХН 100 Б							
ФХН 200 А	65	0,06	1,0	<u>0,03</u> 0,04	0,02		2,0
ФХН 200 Б							
ФХН 400 А	65	0,06		<u>0,03</u> 0,04	0,04	0,2	4,0
ФХН 400 Б							
ФХН 600 А	65	0,03		<u>0,03</u> 0,04	0,04		6,0
ФХН 600Б							

11.7.1 აზოტირებული ვეროქრომის მიღება მყარ მდგრადარეობი

მყარ მდგომარეობაში აზოტირებულ ფეროქრომს დებულობენ მოლებულური აზოტის ატმოსფეროში წვრილფრაქციული ფეროქრომის გახურებით იმ ტემპერატურაზე, რომელიც ნიტრიდების თერმოდინამიკურ

მდგრადობასა **[(Cr,Fe)N₂] და (Cr,Fe)N]** და აზოტირების მაღალ სიჩქარეს უზრუნველყოფს.

განახშირბადიანების შემდეგ ვაკუუმის ღუმელებში **1100°C** ტემპერატურაზე **100** კპა წნევის ქვეშ შეცყავთ აზოტი (**99,5% N₂**). აზოტირებული ფეროქრომის ბრიკებს **3 – 4** კპა წნევის პირობებში აციებენ **600-800°C**-მდე. ბრიკების საბოლოო გაციებას ახდენენ ჰაერის საშუალებით. ერთი ტონა აზოტირებული ფეროქრომის მისაღებად (**6-8% N; 60% Cr, და 0,01% C**) იხარჯება **1100** კგ გადასამუშავებელი ნახშირბადიანი ფეროქრომი, **150** გ³ აზოტი და **9500** კვტ.სთ ელექტროენერგია.

11.7.2 ვერომრომის აზოტირება თხილრ მდგრადიონაში

აზოტირებას უკეთებენ მცირენახშირბადიან ფეროქრომს, რომელიც ალუმინითაა განუანგული და მცირერაოდენობით შეიცავს სილიციუმს. აირადი აზოტი გასუფთავებული უნდა იყოს ეანგბადისა და **H₂O**-სგან. ამ პირობების დაცვა შესაძლებელია ვაკუუმურ-ინდუქციურ ღუმელში.

თხევადი საშუალონახშირბადიანი ფეროქრომის აზოტირება შეიძლება განხორციელდეს აგრეთვე ჟანგბად კონვერტორში, სადაც თხიერ ფეროქრომს აზოტი მიეწოდება გვერდითი მხრიდან. გარკვეული სამუშაოებია ჩატარებული ფეროქრომის აზოტირებისა პლაზმურ ღუმელშიც. ყველა შემთხვევაში მიიღება ფეროქრომი,

რომელშიც 1-2% აზოტია გახსნილი და იგი სხმულის მთელ სიგრძეზე თანაბრადად განაწილებული.

11.8 ბაზასამუშავებელი ფერომრომის მიღების ტექნოლოგია

გადასამუშავებელი ფეროქრომი გამოიყენება სილიკო-ქრომის მისაღებად, ასევე კონვერტორში საშუალო და მცირე ნახშირბადინი ფეროქრომის გამოსაღნობად და ფოლადის წარმოებაში.

მაღალნახშირბადიანი ფეროქრომის გამოდნობისას, მნიშვნელოვან როლს ასრულებს წიდა, რომლის შედეგნოლობას განსაზღვრავს თხევადი ფაზის წარმოქმნის ტემპერატურა, მისი რაოდენობა და კაზმისა და წიდის წინაღობა.

ქრომის მაღნებში მაგნიუმის ოქსიდის რაოდენობის მომატებით, წიდებში MgO -ს შემცველობა 26-31%-დან 42-48%-მდე შეიძლება გაიზარდოს, რაც თავის მხრივ ქრომის დანაკარგების გაზრდასაც განაპირობებს.

გამოკვლევებით დადგინდა, რომ 5-10% CaO -ს დამატებით წიდა (რომელიც 31,96% SiO_2 -ს, 18,8% Al_2O_3 -ს, 45,5% MgO -ს, 1,3% Cr_2O_3 -ს, 0,89% CaO -ს, 0,77% FeO -სა და 0,21% S -ს შეიცავს) უფრო თხიერდენადი ხდება, მცირდება მისი დნობის ტემპერატურა და ელექტრო-წინაღობა. წიდაში 1,5% Na_2O -ს და ამავე რაოდენობით K_2O -ს დამატება, ასევე დაბალა სწევს წიდის დნობის ტემპერატურას და ზრდის თხიერდენადობის ინტერვალს.

ამდენად CaO -სა და MgO -სა შემთხვევაში დამატება წილაში ერთის მხრივ აუმჯობესებს ლითონური ჩანართების დალექვის პროცესს (წილის თხიერ დენადობის გამო), ხოლო მეორეს მხრივ ართულებს საჭირო ტემპერატურამდე წილის გახურებას (გაზრდილი ელ-გამტარობის გამო). გარდა ამისა, წილაში CaO -მიწალის შეყვანამ შეიძლება დუმელის ამონაგიც დააზიანოს. თუ დუმელი ნორმალურად მუშაობს, ელექტროდები ღრმად ჩადის კაზმში, აირები თანაბრად ამოდის საკერძედან, ლითონი და წილა ასევე თანაბრად გამოედინება დუმელიდან. თუ წილა ბლანტია (რასაც იწვევს წილაში SiO_2 -ის დაბალი და MgO -ს მაღალი შემცველობა), გაციებისას ციცხვში წარმოიქმნება სქელი ქერქი და ციცხვის კედელზე წილის გარნისაჟი საგრძნობლად მატულობს. მეტისმეტი თხიერი წილის შემთხვევაში (რაც გამოწვეულია SiO_2 -ის მაღალი კონცენტრაციით), ციცხვში ქერქი აღარ ჩნდება, შეიმჩნევა წილის დუდილი, ლითონი სწრაფად ცივდება და წარმოიქმნება ნაღვენთი.

მაღალნახშირბადიანი ფეროქრომის გამოდნობისას, განსაკუთრებული მოთხოვნებია გოგირდის შემცველობაზე. ლითონში გოგირდის რაოდენობის გაზრდა შეიძლება განაპირობოს საკაზმე მასალებში მისმა მაღალმა შემცველობამ (უმეტესწილად აღმდგენელის ნაცარში), დუმელში ფლუსის ნაკლებობამ და კაუმიწის რაოდენობამ წილაში. ფეროქრომში გოგირდის შემცველობის შემცირება შესაძლებელია განხორციელდეს დაბალ სამუშაო ძაბვაზე მუშაობით და ლითონში ნახშირბადის რაოდენობის გაზრდით.

ლუმელის ნორმალური მუშაობის პროცესს უმეტესად არღვევს ქრომის მაღანეტი მაგნიუმის ოქსიდის მომატებული რაოდენობა. MgO-ს რაოდენობის გაზრდით წილი ბლანტი ხდება და უჭირს ლუმელიდან გამოსვლა, ამასთან MgO-ს რაოდენობის გაზრდაზე მიანიშნებს ლითონში ნახშირბადის შემცველობის შემცირება და წილის დნობის ტემპერატურის გაზრდა.

ლუმელის ნორმალური სამუშაო რეჟიმის აღსაღებად და MgO-ს კონცენტრაციის შესამცირებლად საჭიროა კაზმში მჟავე ფლუსის დამატება. გამოდნობის პროცესის ნორმალურად წარმართვისათვის სასურველია წილების დნობის ტემპერატურა 1883-1923 K ინტერვალში მერყეობდეს. წილის შემცველობა შეიძლება დარეგულირდეს ფლუსის მეშვეობით. 16,5 მვა სიმძლავრის დახურულ ლუმელებში ნახშირბადიანი ფეროქრომის გამოდნობისას კაზმის ულუფა არის შემდეგი, კგ:

ქრომის მადანი:	ΦX 800	ΦX 900
ნატეხოვანი	300-400	300
ჩვეულებრივი	300-200	300
კოქსწვრილა	75	80-150
ნახევრადკოქსი	60	-
<hr/>		
წილი		
ფეროსილიციუმის	-	0-60
სილიკოქრომის	0,30	-
კვარციტების ანაცერი	-	0-50
ნაბრუნი ნარჩენები	0-100	0-100

მიღებული ფეროქრომი შემდეგი ქიმიური შედგენილობით ხასიათდება:

	C	Cr	Si	Fe	S	P
ΦX 800	7,88	71,25	0,24	20,55	0,044	0,022
ΦX 900	8,42	69,23	0,26	22,02	0,038	0,018

მიღებული წილი შეიცავს, %

	Cr₂O₃საერ	Cr ლით	Fe საერ	SiO₂	MgO	Al₂O₃	CaO	P	S
ΦX 800	7,7	3,94	1,5	29,1	44,45	15,9	1,1	0,0017	0,29
ΦX 900	6,24	3,20	1,0	32,66	44,63	16,3	1,0	0,0013	0,36

წილის ჯერადობა ΦX -900 მარკის გამოდნობისას 0,97-ს შეადგენს, ხოლო ΦX 800 მარკისას – 1,04-ს.

ერთი ბ.ტონა გადასამუშავებელი ფეროქრომის მისაღებად იხარჯება:

მასალის ხარჯი, კგ	ΦX 800	ΦX 900
ქრომის მადანი (მშრალი, 50% Cr ₂ O ₃)	1880,2	1812,2
კოქსწვრილა	210,7	374,1
ნახევრადკოქსი	174,44	–
სილიციუმიანი ფეროშენადნობების წილი	95,6	86,1
კვარციტების ანაცერი	-	23,2
ნარჩენების ნაბრუნი	140,91	159,4
ელექტროდების მასა	10,83	11,8
ელ.ენერგია, კვ	11,87	11,227

ელემენტების განაწილებას აქვს შემდეგი სახე:

ელემენტი	გ ა დ ა დ ი ს, %		
	ლითონში	წილაში	ნარჩენებში
Cr	89,2/91,8	7,6/5,55	3,2/6,55
Si	1,5/1,7	87,2/93,3	10,9/10,2
S	13,8/9,5	95,4/86,7	7,9/8,4
P	82,2/82,5	6,8/5,6	2,3/4,8
Mg	-	86,2/78,4	10,7/8,7
Al	-	82,2/79,9	10,5/10,1
C	19,1/22,5	1,5/1,3	0,5/1,3

შენიშვნა: მრიცხველი ΦX 800, მნიშვნელი ΦX 900.

ლუმელის სიმძლავრის მიხედვით, ლითონისა და წილის გამოშვებას ცვლაში 3-4 ჯერ ახდენენ შამოტის აგურით ამოგებულ ციცხვში. ციცხვიდან წილის მოწურვის შემდეგ, ლითონს ბოჭვებში ასხავენ.

ՃՈՐՈԴԱԶՈ ՀՈՒՅԵՐԱՑՎԱ

1. М.И. Гасик, Н.П. Лякишев. Физикохимия и технология электроферросплавов. „Системные технологии”,
Днепропетровск 2005
2. М.И.Гасик, Н.П.Лякишев, Б.И.Емлин. Теория и технология производства ферросплавов. Москва, „Металлургия” 1988
3. М.И.Гасик Марганец. Москва, „Металлургия” 1992
4. А.Ф.Каблуковский. Производство электростали и ферросплавов. Москва, ИКЦ „АКАДЕМКНИГА” 2003.

იბეჭდება ავტორთა მიერ წარმოდგნილი სახით

გადაეცა წარმოებას 26.02.2009. ხელმოწერილია დასაბეჭდად 11.03.2009. ქაღალდის ზომა 60X84 1/16. პირობითი ნაბეჭდი თაბახი 11,5. ტირაჟი 100 ეგზ.

საგამომცემლო სახლი „ტექნიკური უნივერსიტეტი“, თბილისი,

ქოსტავას 77



Verba volant,
scripta manent

ISBN 978-9941-14-346-5

A standard linear barcode representing the ISBN number 978-9941-14-346-5.

9 789941 143465